

บทที่ 4

ผลการวิจัยและอภิปรายผล

การศึกษาความหลากหลายและความซุกซุมของโรติเฟอร์ คลาโดเชอร่า และโคพีพอดในพื้นที่ชุมน้ำบึงบอร์เพ็ด จังหวัดนครสวรรค์ และบึงโขงหลง จังหวัดหนองคาย ตั้งแต่เดือนสิงหาคม 2545 ถึงเมษายน 2547 เป็นระยะเวลา 2 ปี ปรากฏผลการศึกษาตามหัวข้อดังต่อไปนี้

1. ปัจจัยทางกายภาพและเคมีบางประการของแหล่งน้ำ
2. กลุ่มของแพลงก์ตอนสัตว์ที่ทำการศึกษา
3. เปรียบเทียบความหลากหลายและความซุกซุมของโรติเฟอร์ คลาโดเชอร่า และโคพีพอดที่พบริเวณบึงบอร์เพ็ด และบึงโขงหลง
4. รายละเอียดเกี่ยวกับสัณฐานวิทยานางประการของโรติเฟอร์ คลาโดเชอร่า และโคพีพอดชนิดใหม่ของโลกและชนิดที่พบเป็นครั้งแรกของประเทศไทย
5. การศึกษาชนิดและระดับความหนาแน่นของอาหารต่อชีววิทยาของการเจริญเติบโตและการเพาะเลี้ยงโรติเฟอร์

1. ปัจจัยทางกายภาพและเคมีบางประการของแหล่งน้ำ

จากการสำรวจความหลากหลายและความซุกซุมของโรติเฟอร์ คลาโดเชอร่า และโคพีพอดในบึงบอร์เพ็ด จังหวัดนครสวรรค์ และบึงโขงหลง จังหวัดหนองคาย ทำการเก็บตัวอย่างใน 3 ฤดูกาลตั้งนี้ ฤดูฝน เก็บตัวอย่างในเดือนสิงหาคม ฤดูหนาว เก็บตัวอย่างในเดือนธันวาคม และฤดูร้อน เก็บตัวอย่างในเดือนเมษายน พร้อมทั้งตรวจวัดปัจจัยทางกายภาพและเคมีบางประการของแหล่งน้ำในทุกครั้งที่การเก็บตัวอย่าง ได้แก่ อุณหภูมิ พื้นที่ค่าการนำไฟฟ้า ปริมาณออกซิเจนละลายน้ำ ความเค็ม ความลึก ซึ่งมีค่าดังต่อไปนี้

1.1 บึงบอร์เพ็ด จังหวัดนครสวรรค์

ผลการตรวจวัดปัจจัยทางกายภาพและเคมีบางประการของแหล่งน้ำ พบว่า

1.1.1 อุณหภูมน้ำ

ในปีแรกของการศึกษาระหว่างเดือนสิงหาคม 2545 ถึงเดือนเมษายน 2546 พบร่วมกับอุณหภูมิของน้ำในฤดูฝนมีค่าอยู่ระหว่าง 29.9-31.7 องศาเซลเซียส เฉลี่ย 31.22 องศาเซลเซียส (ส่วนเบี่ยงเบนมาตรฐาน 0.75 องศาเซลเซียส) ฤดูหนาวอยู่ระหว่าง 28.1-29.7 องศาเซลเซียส เฉลี่ย 28.66 องศาเซลเซียส (ส่วนเบี่ยงเบนมาตรฐาน 0.66 องศาเซลเซียส) และฤดูร้อนอยู่ระหว่าง 30.3-32.0 องศาเซลเซียส เฉลี่ย 31.38 องศาเซลเซียส (ส่วนเบี่ยงเบนมาตรฐาน 0.64 องศาเซลเซียส)

ในปีที่สองของการศึกษาระหว่างเดือนสิงหาคม 2546 ถึงเดือนเมษายน 2547 พบร่วมกับอุณหภูมิของน้ำในฤดูฝนมีค่าอยู่ระหว่าง 30.0-32.1 องศาเซลเซียส เฉลี่ย 31.04 องศาเซลเซียส (ส่วนเบี่ยงเบนมาตรฐาน 0.81 องศาเซลเซียส) ฤดูหนาวอยู่ระหว่าง 23.2-27.4 องศาเซลเซียส เฉลี่ย 25.24 องศาเซลเซียส (ส่วนเบี่ยงเบนมาตรฐาน 1.58 องศาเซลเซียส) และฤดูร้อนอยู่ระหว่าง 31.0-35.1 องศาเซลเซียส เฉลี่ย 33.14 องศาเซลเซียส (ส่วนเบี่ยงเบนมาตรฐาน 1.58 องศาเซลเซียส)

เมื่อวิเคราะห์ความแตกต่างของอุณหภูมน้ำที่พบริเวณสามฤดูกาลในทางสถิติ พบร่วมกับอุณหภูมิของน้ำในปีแรกและปีที่สองมีความแตกต่างกันอย่างมีนัยสำคัญ ($p<0.05$) แต่มีอัตราผิดพลาดอุณหภูมน้ำที่พบใน

ถูกผลเดียวกันของทั้งสองปี พบร่วมกันในถูกผนเท่านั้นที่อุณหภูมิของน้ำไม่มีความแตกต่างกันอย่างมีนัยสำคัญ ($p>0.05$)

1.1.2 พื้นที่

ในปีแรกของการศึกษา พบร่วมกันในถูกผนมีค่าอยู่ระหว่าง 7.02-9.90 เฉลี่ย 7.67 (ส่วนเบี่ยงเบนมาตรฐาน 1.25) อุณหภูมิอยู่ระหว่าง 4.4-5.66 เฉลี่ย 4.99 (ส่วนเบี่ยงเบนมาตรฐาน 0.46) และถูกร้อนอยู่ระหว่าง 7.3-7.8 เฉลี่ย 7.6 (ส่วนเบี่ยงเบนมาตรฐาน 0.19)

ในปีที่สองของการศึกษา พบร่วมกันในถูกผนมีค่าอยู่ระหว่าง 7.73-8.27 เฉลี่ย 7.96 (ส่วนเบี่ยงเบนมาตรฐาน 0.23) อุณหภูมิอยู่ระหว่าง 6.87-8.17 เฉลี่ย 7.68 (ส่วนเบี่ยงเบนมาตรฐาน 0.49) และถูกร้อนอยู่ระหว่าง 7.58-8.98 เฉลี่ย 8.52 (ส่วนเบี่ยงเบนมาตรฐาน 0.57)

เมื่อวิเคราะห์ความแตกต่างของพื้นที่พบระหว่างสามถูกกลุ่มทางสถิติ พบร่วมกันในถูกผนที่มีความแตกต่างกันอย่างมีนัยสำคัญ ($p<0.05$) แต่เมื่อพิจารณาค่าพื้นที่พบร่วมกันของทั้งสองปี พบร่วมกันในถูกผนที่ค่าพื้นที่พบร่วมกันอย่างมีนัยสำคัญ ($p<0.05$)

1.1.3 การนำไฟฟ้าของน้ำ

ในปีแรกของการศึกษา พบร่วมกันการนำไฟฟ้าของน้ำในถูกผนมีค่าอยู่ระหว่าง 246-374 ในโครชีเมนต์ต่อเซ็นติเมตร เฉลี่ย 295.2 ในโครชีเมนต์ต่อเซ็นติเมตร (ส่วนเบี่ยงเบนมาตรฐาน 51.10 ในโครชีเมนต์ต่อเซ็นติเมตร) ถูกผนที่อยู่ระหว่าง 210-230 ในโครชีเมนต์ต่อเซ็นติเมตร เฉลี่ย 217.4 ในโครชีเมนต์ต่อเซ็นติเมตร (ส่วนเบี่ยงเบนมาตรฐาน 9.10 ในโครชีเมนต์ต่อเซ็นติเมตร) และถูกร้อนอยู่ระหว่าง 287-305 ในโครชีเมนต์ต่อเซ็นติเมตร เฉลี่ย 295.8 ในโครชีเมนต์ต่อเซ็นติเมตร (ส่วนเบี่ยงเบนมาตรฐาน 6.38 ในโครชีเมนต์ต่อเซ็นติเมตร)

ในปีที่สองของการศึกษา พบร่วมกันการนำไฟฟ้าของน้ำในถูกผนมีค่าอยู่ระหว่าง 136-464 ในโครชีเมนต์ต่อเซ็นติเมตร เฉลี่ย 213 ในโครชีเมนต์ต่อเซ็นติเมตร (ส่วนเบี่ยงเบนมาตรฐาน 140.61 ในโครชีเมนต์ต่อเซ็นติเมตร) ถูกผนที่อยู่ระหว่าง 162-248 ในโครชีเมนต์ต่อเซ็นติเมตร เฉลี่ย 207.4 ในโครชีเมนต์ต่อเซ็นติเมตร (ส่วนเบี่ยงเบนมาตรฐาน 38.46 ในโครชีเมนต์ต่อเซ็นติเมตร) และถูกร้อนอยู่ระหว่าง 263-292 ในโครชีเมนต์ต่อเซ็นติเมตร เฉลี่ย 280 ในโครชีเมนต์ต่อเซ็นติเมตร (ส่วนเบี่ยงเบนมาตรฐาน 11.96 ในโครชีเมนต์ต่อเซ็นติเมตร)

เมื่อวิเคราะห์ความแตกต่างของค่าการนำไฟฟ้าของน้ำที่พบระหว่างสามถูกกลุ่มทางสถิติ พบร่วมกันการนำไฟฟ้าของน้ำเฉพาะในปีแรกเท่านั้นที่มีความแตกต่างกันอย่างมีนัยสำคัญ ($p<0.05$) แต่เมื่อพิจารณาค่าการนำไฟฟ้าของน้ำที่พบร่วมกันของทั้งสองปี พบร่วมกันอย่างมีนัยสำคัญ ($p>0.05$)

1.1.4 ปริมาณออกซิเจนละลายน้ำ

ในปีแรกของการศึกษา พบร่วมกันปริมาณออกซิเจนละลายน้ำในถูกผนมีค่าอยู่ระหว่าง 5.85-10.3 มิลลิกรัมต่อลิตร เฉลี่ย 8.03 มิลลิกรัมต่อลิตร (ส่วนเบี่ยงเบนมาตรฐาน 2.03 มิลลิกรัมต่อลิตร) อุณหภูมิอยู่ระหว่าง 6.81-8.05 มิลลิกรัมต่อลิตร เฉลี่ย 7.38 มิลลิกรัมต่อลิตร (ส่วนเบี่ยงเบนมาตรฐาน 0.45 มิลลิกรัมต่อลิตร) และถูกร้อนอยู่ระหว่าง 2.68-3.35 มิลลิกรัมต่อลิตร เฉลี่ย 2.87 มิลลิกรัมต่อลิตร (ส่วนเบี่ยงเบนมาตรฐาน 0.27 มิลลิกรัมต่อลิตร)

ในปีที่สองของการศึกษา พบร่วมกันปริมาณออกซิเจนละลายน้ำในถูกผนมีค่าอยู่ระหว่าง 3.39-7.41 มิลลิกรัมต่อลิตร เฉลี่ย 5.65 มิลลิกรัมต่อลิตร (ส่วนเบี่ยงเบนมาตรฐาน 1.53 มิลลิกรัมต่อลิตร) อุณหภูมิอยู่ระหว่าง 2.36-7.55 มิลลิกรัมต่อลิตร เฉลี่ย 4.49 มิลลิกรัมต่อลิตร (ส่วนเบี่ยงเบนมาตรฐาน 2.35 มิลลิกรัม

ต่อลิตร) และถูร้อนอยู่ระหว่าง 8.28-10.74 มิลลิกรัมต่อลิตร เฉลี่ย 9.39 มิลลิกรัมต่อลิตร (ส่วนเบี่ยงเบนมาตรฐาน 1.05 มิลลิกรัมต่อลิตร)

เมื่อวิเคราะห์ความแตกต่างของปริมาณออกซิเจนละลายน้ำที่พบระหว่างสามถูกากลในทางสถิติ พบว่าปริมาณออกซิเจนละลายน้ำในปีแรกและปีที่สองมีความแตกต่างกันอย่างมีนัยสำคัญ ($p<0.05$) และเมื่อพิจารณาปริมาณออกซิเจนละลายน้ำที่พบรับในถูกากลเดียวกันของห้องทั้งสองปี พบว่าเฉพาะในถูร้อนเท่านั้นที่มีความแตกต่างกันอย่างมีนัยสำคัญ ($p<0.05$)

1.1.5 ความเค็ม

ในปีแรกของการศึกษา พบว่าความเค็มของน้ำในถูก FUN มีค่าอยู่ระหว่าง 0-0.1 มิลลิกรัมต่อลิตร เฉลี่ย 0.06 ส่วนในพันส่วน (ส่วนเบี่ยงเบนมาตรฐาน 0.05 ส่วนในพันส่วน) ถูกหน้าวมีค่าเท่ากับ 0 ส่วนในพันส่วน และถูร้อนมีค่าเท่ากับ 0.1 ส่วนในพันส่วน เฉลี่ย 0.1 ส่วนในพันส่วน

ในปีที่สองของการศึกษา พบว่าความเค็มของน้ำในถูก FUN มีค่าเท่ากับ 0 ส่วนในพันส่วน ถูกหน้าอยู่ระหว่าง 0-0.1 ส่วนในพันส่วน เฉลี่ย 0.02 ส่วนในพันส่วน (ส่วนเบี่ยงเบนมาตรฐาน 0.04 ส่วนในพันส่วน) และถูร้อนมีค่าเท่ากับ 0.1 ส่วนในพันส่วน

เมื่อวิเคราะห์ความแตกต่างของความเค็มของน้ำที่พบระหว่างสามถูกากลในทางสถิติ พบว่าความเค็มของน้ำในปีแรกและปีที่สองมีความแตกต่างกันอย่างมีนัยสำคัญ ($p<0.05$) แต่เมื่อพิจารณาความเค็มที่พบรับในถูกากลเดียวกันของห้องทั้งสองปี พบว่าไม่แตกต่างกันอย่างมีนัยสำคัญ ($p>0.05$)

1.1.6 ความลึกน้ำ

ในปีแรกของการศึกษา พบว่าความลึกน้ำในถูก FUN มีค่าอยู่ระหว่าง 0.6-3.0 เมตร เฉลี่ย 1.62 เมตร (ส่วนเบี่ยงเบนมาตรฐาน 0.93 เมตร) ถูกหน้าวอยู่ระหว่าง 2.0-4.5 เมตร เฉลี่ย 2.96 เมตร (ส่วนเบี่ยงเบนมาตรฐาน 0.98 เมตร) และถูร้อนอยู่ระหว่าง 0.5-3.0 เมตร เฉลี่ย 1.2 เมตร (ส่วนเบี่ยงเบนมาตรฐาน 1.09 เมตร)

ในปีที่สองของการศึกษา พบว่าความลึกน้ำในถูก FUN มีค่าอยู่ระหว่าง 0.5-5.0 เมตร เฉลี่ย 1.6 เมตร (ส่วนเบี่ยงเบนมาตรฐาน 1.95 เมตร) ถูกหน้าวอยู่ระหว่าง 1.5-6.0 เมตร เฉลี่ย 2.9 เมตร (ส่วนเบี่ยงเบนมาตรฐาน 1.78 เมตร) และถูร้อนอยู่ระหว่าง 0.2-3.5 เมตร เฉลี่ย 1.94 เมตร (ส่วนเบี่ยงเบนมาตรฐาน 1.22 เมตร)

เมื่อวิเคราะห์ความแตกต่างของความลึกน้ำที่พบระหว่างสามถูกากลในทางสถิติ พบว่าเฉพาะในปีแรกเท่านั้นที่มีความแตกต่างกันอย่างมีนัยสำคัญ ($p<0.05$) แต่เมื่อพิจารณาความลึกที่พบรับในถูกากลเดียวกันของห้องทั้งสองปี พบว่าไม่แตกต่างกันอย่างมีนัยสำคัญ ($p>0.05$)

1.2 นิ่งโ兆หลัง จังหวัดหนองคาย

1.2.1 อุณหภูมิน้ำ

ในปีแรกของการศึกษา พบว่าอุณหภูมิของน้ำในถูก FUN มีค่าอยู่ระหว่าง 31.8-35.3 องศาเซลเซียส เฉลี่ย 33.68 องศาเซลเซียส (ส่วนเบี่ยงเบนมาตรฐาน 1.53 องศาเซลเซียส) ถูกหน้าวอยู่ระหว่าง 28.4-30.8 องศาเซลเซียส เฉลี่ย 29.42 องศาเซลเซียส (ส่วนเบี่ยงเบนมาตรฐาน 0.89 องศาเซลเซียส) และถูร้อนอยู่ระหว่าง 33.8-35.7 องศาเซลเซียส เฉลี่ย 35.04 องศาเซลเซียส (ส่วนเบี่ยงเบนมาตรฐาน 0.77 องศาเซลเซียส)

ในปีที่สองของการศึกษา พบว่าอุณหภูมิของน้ำในถูก FUN มีค่าอยู่ระหว่าง 27.1-27.9 องศาเซลเซียส เฉลี่ย 27.6 องศาเซลเซียส (ส่วนเบี่ยงเบนมาตรฐาน 0.3 องศาเซลเซียส) ถูกหน้าวอยู่ระหว่าง 23.0-

24.4 องค่าเชลเชียส เฉลี่ย 23.64 องค่าเชลเชียส (ส่วนเบี่ยงเบนมาตรฐาน 0.52 องค่าเชลเชียส) และถูร้อนอยู่ระหว่าง 31.7-33.7 องค่าเชลเชียส เฉลี่ย 32.62 องค่าเชลเชียส (ส่วนเบี่ยงเบนมาตรฐาน 0.95 องค่าเชลเชียส)

เมื่อวิเคราะห์ความแตกต่างของอุณหภูมิของน้ำที่พบระหว่างสามถูกากลในทางสถิติ พบร่วมกับอุณหภูมิของน้ำในปีแรกและปีที่สองมีความแตกต่างกันอย่างมีนัยสำคัญ ($p<0.05$) และเมื่อพิจารณาอุณหภูมิของน้ำที่พบในถูกากลเดียวกันของทั้งสองปี พบร่วมกับความแตกต่างกันอย่างมีนัยสำคัญ ($p<0.05$)

1.2.2 พีเอช

ในปีแรกของการศึกษา พบร่วมกับพีเอชของน้ำในถูกากลมีค่าอยู่ระหว่าง 6.3-8.23 เฉลี่ย 6.92 (ส่วนเบี่ยงเบนมาตรฐาน 0.76) ถูกากล具有อยู่ระหว่าง 4.35-7.24 เฉลี่ย 5.27 (ส่วนเบี่ยงเบนมาตรฐาน 1.14) และถูร้อนอยู่ระหว่าง 5.28-6.07 เฉลี่ย 5.51 (ส่วนเบี่ยงเบนมาตรฐาน 0.32)

ในปีที่สองของการศึกษา พบร่วมกับพีเอชของน้ำในถูกากลมีค่าอยู่ระหว่าง 5.77-7.1 เฉลี่ย 6.4 (ส่วนเบี่ยงเบนมาตรฐาน 0.5) ถูกากล具有อยู่ระหว่าง 7.33-8.38 เฉลี่ย 7.79 (ส่วนเบี่ยงเบนมาตรฐาน 0.39) และถูร้อนอยู่ระหว่าง 6.71-7.97 เฉลี่ย 7.37 (ส่วนเบี่ยงเบนมาตรฐาน 0.57)

เมื่อวิเคราะห์ความแตกต่างของค่าพีเอชที่พบระหว่างสามถูกากลในทางสถิติ พบร่วมกับพีเอชของน้ำในปีแรกและปีที่สองมีความแตกต่างกันอย่างมีนัยสำคัญ ($p<0.05$) และเมื่อพิจารณาค่าพีเอชที่พบในถูกากลเดียวกันของทั้งสองปี พบร่วมกับความแตกต่างกันอย่างมีนัยสำคัญ ($p<0.05$)

1.2.3 การนำไฟฟ้าของน้ำ

ในปีแรกของการศึกษา พบร่วมกับการนำไฟฟ้าของน้ำในถูกากลมีค่าอยู่ระหว่าง 2-11 ในโครซิเมนต์ต่อเซ็นติเมตร เฉลี่ย 4.6 ในโครซิเมนต์ต่อเซ็นติเมตร (ส่วนเบี่ยงเบนมาตรฐาน 3.65 ในโครซิเมนต์ต่อเซ็นติเมตร) ถูกากล具有อยู่ระหว่าง 6-11 ในโครซิเมนต์ต่อเซ็นติเมตร เฉลี่ย 8.6 ในโครซิเมนต์ต่อเซ็นติเมตร (ส่วนเบี่ยงเบนมาตรฐาน 1.95 ในโครซิเมนต์ต่อเซ็นติเมตร) และถูร้อนอยู่ระหว่าง 9-100 ในโครซิเมนต์ต่อเซ็นติเมตร เฉลี่ย 29 ในโครซิเมนต์ต่อเซ็นติเมตร (ส่วนเบี่ยงเบนมาตรฐาน 39.77 ในโครซิเมนต์ต่อเซ็นติเมตร)

ในปีที่สองของการศึกษา พบร่วมกับการนำไฟฟ้าของน้ำในถูกากลมีค่าอยู่ระหว่าง 2-8 ในโครซิเมนต์ต่อเซ็นติเมตร เฉลี่ย 5.2 ในโครซิเมนต์ต่อเซ็นติเมตร (ส่วนเบี่ยงเบนมาตรฐาน 2.17 ในโครซิเมนต์ต่อเซ็นติเมตร) ถูกากล具有อยู่ระหว่าง 6-8 ในโครซิเมนต์ต่อเซ็นติเมตร เฉลี่ย 7.2 ในโครซิเมนต์ต่อเซ็นติเมตร (ส่วนเบี่ยงเบนมาตรฐาน 0.84 ในโครซิเมนต์ต่อเซ็นติเมตร) และถูร้อนอยู่ระหว่าง 12-18 ในโครซิเมนต์ต่อเซ็นติเมตร เฉลี่ย 14.4 ในโครซิเมนต์ต่อเซ็นติเมตร (ส่วนเบี่ยงเบนมาตรฐาน 2.51 ในโครซิเมนต์ต่อเซ็นติเมตร)

เมื่อวิเคราะห์ความแตกต่างของค่าการนำไฟฟ้าของน้ำที่พบระหว่างสามถูกากลในทางสถิติ พบร่วมกับค่าการนำไฟฟ้าของน้ำในปีแรกและปีที่สองมีความแตกต่างกันอย่างมีนัยสำคัญ ($p<0.05$) แต่เมื่อพิจารณาค่าการนำไฟฟ้าของน้ำที่พบในถูกากลเดียวกันของทั้งสองปี พบร่วมกับความแตกต่างกันอย่างมีนัยสำคัญ ($p<0.05$)

1.2.4 ปริมาณออกซิเจนละลายน้ำ

ในปีแรกของการศึกษา พบร่วมกับปริมาณออกซิเจนละลายน้ำในถูกากลมีค่าอยู่ระหว่าง 6.12-8.62 มิลลิกรัมต่อลิตร เฉลี่ย 7.07 มิลลิกรัมต่อลิตร (ส่วนเบี่ยงเบนมาตรฐาน 0.94 มิลลิกรัมต่อลิตร) ถูกากล具有อยู่ระหว่าง 6.07-7.06 มิลลิกรัมต่อลิตร เฉลี่ย 6.49 มิลลิกรัมต่อลิตร (ส่วนเบี่ยงเบนมาตรฐาน 0.47 มิลลิกรัม

ต่อลิตร) และถูร้อนอยู่ระหว่าง 6.1-8.05 มิลลิกรัมต่อลิตร เฉลี่ย 7.41 มิลลิกรัมต่อลิตร (ส่วนเบี่ยงเบนมาตรฐาน 0.77 มิลลิกรัมต่อลิตร)

ในปีที่สองของการศึกษา พบว่าปริมาณออกซิเจนละลายน้ำในถูร้อนมีค่าอยู่ระหว่าง 2.92-7.93 มิลลิกรัมต่อลิตร เฉลี่ย 6.22 มิลลิกรัมต่อลิตร (ส่วนเบี่ยงเบนมาตรฐาน 2.04 มิลลิกรัมต่อลิตร) ถูหาน้ำอยู่ระหว่าง 8.28-9.12 มิลลิกรัมต่อลิตร เฉลี่ย 8.62 มิลลิกรัมต่อลิตร (ส่วนเบี่ยงเบนมาตรฐาน 0.41 มิลลิกรัมต่อลิตร) และถูร้อนอยู่ระหว่าง 7.55-10.8 มิลลิกรัมต่อลิตร เฉลี่ย 9.03 มิลลิกรัมต่อลิตร (ส่วนเบี่ยงเบนมาตรฐาน 1.5 มิลลิกรัมต่อลิตร)

เมื่อวิเคราะห์ความแตกต่างของปริมาณออกซิเจนละลายน้ำที่พบรอบระหว่างสามถูกลาลในทางสถิติ พบว่าเฉพาะในรอบปีที่สองเท่านั้นที่ปริมาณออกซิเจนละลายน้ำมีความแตกต่างกันอย่างมีนัยสำคัญ ($p<0.05$) แต่เมื่อพิจารณาปริมาณออกซิเจนละลายน้ำที่พบรอบในถูกลาลเดียวกันของทั้งสองปี พบว่าเฉพาะในถูร้อนเท่านั้นที่ปริมาณออกซิเจนละลายน้ำไม่มีความแตกต่างกันอย่างมีนัยสำคัญ ($p>0.05$)

1.2.5 ความเค็มของน้ำ

จากการตรวจวัดความเค็มของน้ำในปีแรกและปีที่สองของการศึกษา พบว่าความเค็มของน้ำมีค่าเท่ากับคุณ্য

1.2.6 ความลึก

ในปีแรกของการศึกษา พบว่าความลึกของน้ำในถูร้อนมีค่าอยู่ระหว่าง 0.6-2.5 เมตร เฉลี่ย 1.42 เมตร (ส่วนเบี่ยงเบนมาตรฐาน 0.79 เมตร) ถูหาน้ำอยู่ระหว่าง 0.6-2.5 เมตร เฉลี่ย 1.32 เมตร (ส่วนเบี่ยงเบนมาตรฐาน 0.83 เมตร) และถูร้อนอยู่ระหว่าง 0.2-3.5 เมตร เฉลี่ย 1.34 เมตร (ส่วนเบี่ยงเบนมาตรฐาน 1.3 เมตร) เมื่อเปรียบเทียบทั้งสามถูกลาลพบว่าความลึกน้ำมีค่าไม่แตกต่างกันอย่างมีนัยสำคัญ ($p>0.05$)

ในปีที่สองของการศึกษา พบว่าความลึกของน้ำในถูร้อนมีค่าอยู่ระหว่าง 0.6-4 เมตร เฉลี่ย 1.94 เมตร (ส่วนเบี่ยงเบนมาตรฐาน 1.26 เมตร) ถูหาน้ำอยู่ระหว่าง 0.8-4.0 เมตร เฉลี่ย 1.78 เมตร (ส่วนเบี่ยงเบนมาตรฐาน 1.28 เมตร) และถูร้อนอยู่ระหว่าง 0.4-3.0 เมตร เฉลี่ย 1.18 เมตร (ส่วนเบี่ยงเบนมาตรฐาน 1.07 เมตร) เมื่อเปรียบเทียบทั้งสามถูกลาลพบว่าความลึกน้ำมีค่าแตกต่างกันอย่างมีนัยสำคัญ ($p<0.05$)

เมื่อวิเคราะห์ความแตกต่างของความลึกที่พบรอบระหว่างสามถูกลาลในทางสถิติ พบว่าเฉพาะในปีที่สองเท่านั้นที่ความลึกของน้ำมีความแตกต่างกันอย่างมีนัยสำคัญ ($p<0.05$) แต่เมื่อพิจารณาความลึกที่พบรอบในถูกลาลเดียวกันของทั้งสองปี พบว่าไม่มีความแตกต่างกันอย่างมีนัยสำคัญ ($p>0.05$)

2. กลุ่มของแพลงก์ตอนสัตว์ที่ทำการศึกษา

จากการศึกษาความหลากหลายและความชุกชุมของโรติเฟอร์ คลาโตเดเซรา และโโคพีพอด (กลุ่มคลานอยด์และไซโคลพอยด์) ในบึงอระเพ็ด และบึงโขงหลงในทั้ง 3 ฤดูกาลนั้น ปรากฏผลตามกลุ่มของแพลงก์ตอนสัตว์ที่ทำการศึกษาดังต่อไปนี้

2.1 โรติเฟอร์

จากการเก็บตัวอย่างโรติเฟอร์เพื่อวิเคราะห์หาความหลากหลายและความชุกชุมของแพลงก์ตอนสัตว์กลุ่มดังกล่าว โดยจำแนกตามสถานที่เก็บตัวอย่างได้ดังนี้

2.1.1 บึงอระเพ็ด

2.1.1.1 ความหลากหลายของโรติเฟอร์

พบโรติเฟอร์ทั้งสิ้น 29 สกุล 103 สปีชีส์ (ตารางที่ 8) คิดเป็นร้อยละ 29.3 ของสปีชีส์ทั้งหมดที่พบในประเทศไทย ซึ่งในจำนวนนี้เป็นชนิดที่พบครั้งแรกในประเทศไทย 1 สปีชีส์คือ *Brachionus nilsoni* (Ahlstrom) วงศ์ Lecanidae พบรความหลากหลายมากที่สุด 34 สปีชีส์ รองลงมา ได้แก่ วงศ์ Brachionidae 19 สปีชีส์ สกุลที่มีความหลากหลายในเกร筋วนสปีชีส์มากที่สุดคือ *Lecane* พบรสมาชิก 34 สปีชีส์ (ร้อยละ 33.0 ของสปีชีส์ทั้งหมด) รองลงมา ได้แก่ สกุล *Brachionus* และ *Trichocerca* มีสมาชิกสกุลละ 10 สปีชีส์ (ร้อยละ 9.7 ของสปีชีส์ทั้งหมด) ซึ่งลดคล้องกับการศึกษาของ Sanoamuang et al. (1995) และ Segers (2001) ที่รายงานว่าโรติเฟอร์สกุลที่มีความหลากหลายของชนิดมากที่สุดในประเทศไทยและประเทศในเอเชียตะวันออกเฉียงใต้คือ สกุล *Lecane* รองลงมา ได้แก่ *Brachionus* และ *Trichocerca* ตามลำดับ

โรติเฟอร์ที่พบในแต่ละฤดูกาลมีจำนวนอยู่ระหว่าง 66-90 สปีชีส์ ในรอบปีแรก (สิงหาคม 2545-เมษายน 2546) พบรความหลากหลายดังนี้ ในฤดูฝน ฤดูร้อน และฤดูหนาวมีจำนวนชนิดที่พบเท่ากับ 74 (ดัชนีความหลากหลายเท่ากับ 0.97), 70 และ 66 สปีชีส์ ตามลำดับ คิดเป็นร้อยละ 71.8, 67.9 และ 64.1 ของโรติเฟอร์ที่พบทั้งหมด ตามลำดับ ส่วนในปีที่สองของการศึกษา (สิงหาคม 2546-เมษายน 2547) พบรความหลากหลายนิ่นฤดูฝน ฤดูร้อน และฤดูหนาวเท่ากับ 90 (ดัชนีความหลากหลายเท่ากับ 0.97), 80 และ 78 สปีชีส์ ตามลำดับ คิดเป็นร้อยละ 87.4, 77.7 และ 75.7 ของโรติเฟอร์ที่พบทั้งหมด ตามลำดับ (ตารางที่ 9 และภาพที่ 10) จะเห็นได้ว่าความหลากหลายของโรติเฟอร์ที่พบทั้งสามฤดูในแต่ละรอบปีที่ทำการศึกษามีจำนวนที่ใกล้เคียงกัน เมื่อนำมาวิเคราะห์ทางสถิติ พบร่วมกันของความหลากหลายที่พบทั้งสามฤดูในรอบปีแรกไม่แตกต่างกันอย่างมีนัยสำคัญ ($p>0.05$) แต่มีความแตกต่างกันอย่างมีนัยสำคัญ ($p<0.05$) ในรอบปีที่สอง โดยพบว่าความหลากหลายของโรติเฟอร์ที่พบในฤดูฝนมีความแตกต่างกันอย่างมีนัยสำคัญกับที่พบในฤดูหนาว ($p<0.05$)

จากการวิเคราะห์ความหลากหลายของโรติเฟอร์ที่พบในฤดูกาลเดียวกันของทั้งสองปี พบร่วมกันของทั้งสองปี พบร่วมกันของที่ความหลากหลายในปีแรกแตกต่างกันอย่างมีนัยสำคัญกับความหลากหลายในปีที่สอง ($p<0.05$) ผลโดยรวมตลอดระยะเวลาของการศึกษาพบจำนวนชนิดที่ใกล้เคียงกันตั้งนี้ ในฤดูฝน ฤดูหนาว และฤดูร้อนมีจำนวนที่พบเท่ากับ 98, 90 และ 86 สปีชีส์ ตามลำดับ คิดเป็นร้อยละ 95.1, 87.4 และ 83.5 ของโรติเฟอร์ที่พบทั้งหมด ตามลำดับ ทั้งนี้เนื่องจากบึงอระเพ็ดซึ่งมีลักษณะเป็นบึงเปิด มีทางเข้าออกของล้าน้ำหลายเส้นทาง และเป็นที่รองรับน้ำที่ไหลลงมาจากภูเขาติดต่อกันในช่วงฤดูฝน ปริมาณน้ำฝน และน้ำจากลำน้ำต่างๆ ไหลเข้าออกบึงในปริมาณมาก ปริมาณน้ำดังกล่าวจะจัดอยู่ในชั้นที่ 3 ของบึง ($p<0.05$) ธาตุอาหารดังกล่าวมีประโยชน์ต่อการดำรงชีวิตและการเจริญเติบโตของสิ่งมีชีวิตในแหล่งน้ำนี้ซึ่งรวมถึงโรติเฟอร์ด้วย จึงอาจเป็นสาเหตุหนึ่งที่ทำให้พบโรติเฟอร์มีความหลากหลายมากที่สุดในช่วงฤดูฝน นอกจากนี้ยังมีปัจจัยอื่นๆ ที่เป็นตัวกำหนดความหลากหลายของโรติเฟอร์ในบึงอระเพ็ด ได้แก่ ความหลากหลายของแพลงก์ตอนพืชและสาหร่าย พันธุ์ป่าน้ำจืด และนก เป็นต้น ทั้งนี้

เนื่องจากอาหารอย่างหนึ่งของโรติเฟอร์ก็คือ แพลงก์ตอนพืช ส่วนโรติเฟอร์เองก็เป็นอาหารสำหรับสัตว์กลุ่มปลาวยอ่อนชนิดต่างๆ และสัตว์น้ำจันถึงตัวเต็มวัยของสัตว์น้ำก็เป็นอาหารของนกในแหล่งน้ำนี้อีกด้วยนี่เอง นอกจากนี้ยังพบว่าโรติเฟอร์ที่พบได้ทุกฤดูผลิต 76 สปีชีส์ คิดเป็นร้อยละ 73.8 ของโรติเฟอร์ที่พบทั้งหมด มีรายชื่อดังตารางที่ 8

โรติเฟอร์ที่พบเฉพาะในปีแรกของการศึกษานี้ 6 สปีชีส์คือ *Brachionus calyciflorus* Pallas, *Conochilus* sp., *Lecane monostyla* (Daday), *L. stenorosi* (Meissner), *Trichocerca flagellata* Hauer และ *T. mus* Hauer ส่วนชนิดที่พบเฉพาะปีที่สองของการศึกษานี้ 7 สปีชีส์คือ *B. nilsoni*, *L. batillifer* (Murray), *L. quadridentata* (Ehrenberg), *L. rhenana* Hauer, *L. tenuiseta* Harring, *T. bicristata* (Gosse) และ *T. brasiliensis* (Murray) ชนิดที่พบสม่ำเสมอและทุกสถานที่เก็บตัวอย่าง ได้แก่ *Polyarthra vulgaris* (Carlin) (ภาพที่ 11ก) และ *L. bulla* (Gosse) ซึ่งสอดคล้องกับการรายงานที่ว่า ในแหล่งน้ำที่มีอัตราอาหารละลายน้ำมาก (eutrophic waterbodies) รวมถึงบริเวณที่ลุ่มของทะเลสาบที่เป็น eutrophic lakes จะพบการอาศัยอยู่ร่วมกันของ *P. vulgaris* และ *Keratella cochlearis* (Gosse) (ภาพที่ 11ช) ซึ่งพบได้บ่อยที่สุดตลอดทั้งปี (Raina and Vass, 1993)

จากการสำรวจโรติเฟอร์ที่พบในบึงน้ำระเพิดครั้งนี้ เมื่อนำมาเปรียบเทียบกับชนิดที่พบประจำเดือนในแต่ละภูมิภาคของโลกตามรายงานการศึกษาของละอองศรี เสนนาเมือง (2542; 2544) พบว่าเป็นชนิดที่พบประจำเดือนของเอเชียและออสเตรเลีย 2 สปีชีส์คือ *B. dichotomus* f. *reductus* Koste and Shiel และ *L. batillifer* ชนิดที่พบประจำเดือนในเอเชียตะวันออกเฉียงใต้ 1 สปีชีส์คือ *B. donneri* Brehm ชนิดที่พบบ่อยในประเทศไทย 15 สปีชีส์ ได้แก่ *Anuraeopsis fissa* (Gosse), *B. angularis* Gosse, *B. calyciflorus*, *B. falcatus* Zacharias (ภาพที่ 11ค), *B. forficula* Wierzejski (ภาพที่ 11ง), *Filinia longiseta* (Ehrenberg), *F. novaezealandiae* Shiel and Sanoamuang, *F. opoliensis* (Zacharias), *K. cochlearis*, *K. tropica* (Apstein) (ภาพที่ 11จ), *Lecane bulla*, *L. papuana* (Murray), *Platonus patulus* (Müller) (ภาพที่ 11ฉ), *P. vulgaris* และ *T. similis* (Wierzejski) ชนิดที่พบในน้ำกร่อย 1 สปีชีส์คือ *L. thalera* (Harting and Myers)

โรติเฟอร์ที่พบส่วนใหญ่เคยมีรายงานการพบและอยู่ในบัญชีรายชื่อโรติเฟอร์ที่พบในประเทศไทยแล้ว และส่วนใหญ่เป็นชนิดที่พบแพร่กระจายอยู่ทั่วไปในเขตต้อน (ละอองศรี เสนนาเมือง, 2544; Segers et al., 1993) ชนิดที่พบส่วนใหญ่มีความสอดคล้องกับผลการศึกษาของ Sanoamuang and Savatenalinton (2001b) ที่ได้ศึกษาความหลากหลายของโรติเฟอร์ในบึงกุตติง จังหวัดหนองคาย ซึ่งเป็นแหล่งน้ำเปิดที่มีขนาดใหญ่ เช่นเดียวกับบึงน้ำระเพิด แต่บึงกุตติงพบโรติเฟอร์มีความหลากหลายมากถึง 183 สปีชีส์ ทั้งนี้บึงกุตติงมีสภาพแวดล้อมที่มีการเปลี่ยนแปลงน้อยมาก ในขณะที่สภาพแวดล้อมของบึงน้ำระเพิดถูกควบคุมโดยการกระทำของมนุษย์อย่างมาก ทั้งผลกระทบจากการพัฒนาประเทศ เช่น การสร้างหนองน้ำทำงานประมงเชิงพาณิชย์ของกรมประมง เป็นต้น (สันทนา ดวงสวัสดิ์, 2546) และจากการเปลี่ยนแปลงทางธรรมชาติของแหล่งน้ำ เกิดสภาพดินเขินจากการสะสมตะกอน การชะล้างผิวดินในฤดูฝน การขยายพันธุ์ของพันธุ์ไม้ในน้ำไปทั่วทุกพื้นที่ การลดลงของผลผลิตทางการประมง รวมถึงการเพิ่มจำนวนการบุกรุกของมนุษย์ในการใช้ประโยชน์บริเวณพื้นที่รอบบึง และการทำเกษตรกรรม เป็นต้น กิจกรรมต่างๆ เหล่านี้มีผลให้ระบบนิเวศของบึงน้ำระเพิดเกิดการเปลี่ยนแปลงตามไปด้วยซึ่งรวมถึงการเปลี่ยนแปลงคุณภาพน้ำที่มีผลกระทบโดยตรงต่อการดำรงชีวิตและองค์ประกอบของสิ่งมีชีวิตในบึง โดยเฉพาะอย่างยิ่งในกลุ่มของแพลงก์ตอนสัตว์ที่เป็นแหล่งอาหารธรรมชาติที่สำคัญอย่างหนึ่งในวงจรชีวิตของปลาและสัตว์น้ำเศรษฐกิจหลายชนิด จึงเป็นสาเหตุให้พบจำนวนชนิดของโรติเฟอร์ในบึงน้ำระเพิดน้อยกว่าบึงกุตติง

นอกจากนี้มีการสำรวจโรคติเฟอร์ในรากของผักตบชวาในบึงบระเพ็ดโดย Koste (1975) พบ โรคติเฟอร์ชนิดใหม่ของโลก 1 สปีชีส์คือ *L. junki* (Koste) และพบพอร์ทใหม่ของโลก 2 พอร์ทในสกุล *Ptygura* คือ *P. elsteri* f. *thailandis* และ *P. furcillata* f. *variabilis* แต่จากการศึกษาในครั้นนี้ไม่พบโรคติเฟอร์สปีชีส์ ดังกล่าว ทั้งนี้อาจเนื่องมาจากได้ทำการศึกษาเฉพาะโรคติเฟอร์ที่ดำรงชีวิตเป็นแพลงก์ตอนเท่านั้นไม่ได้ครอบคลุม ถึงโรคติเฟอร์ที่อาศัยอยู่ในรากผักตบชวา หรืออาจมีสาเหตุมาจากการแวดล้อมของน้ำที่เปลี่ยนแปลงไปทำให้ไม่ พบโรคติเฟอร์สปีชีส์ดังกล่าว เมื่อพิจารณาจากข้อมูลดังกล่าวข้างต้น พบว่าความผันแปรของชนิดโรคติเฟอร์ที่พบ ในแต่ละฤดูกาล มีความหลากหลายมากน้อยแตกต่างกันและพบว่าในฤดูฝนมีความหลากหลายมากที่สุดอย่างมี นัยสำคัญ ($p<0.05$) ดังนั้นพอชี้ชัดในระดับหนึ่งได้ว่าฤดูกาลมีผลกับความหลากหลายของโรคติเฟอร์ที่อาศัยอยู่ใน แหล่งน้ำแห่งนี้

ตารางที่ 8 รายชื่อโรติเฟอร์ที่พบในบึงบօรະເພີດ ຈັງຫວັດນຄສວຣົກ ແລະບຶ້ງໂຂງຫລງ ຈັງຫວັດທນອງຄາຍ ໃນ
ຮະຫວ່າງເດືອນລິງຫາດນ 2545 ຄຶງເມຍານ 2547

ชื่อวิทยาศาสตร์	บึงบօຮະເພີດ	ບຶ້ງໂຂງຫລງ
FAMILY ASPLANCHNIDAE:		
<i>Asplanchna brightwelli</i> (Gosse, 1850)	+	+
<i>A. priodonta</i> Gosse, 1850	+	+ ^a
FAMILY BRACHIONIDAE:		
<i>Anuraeopsis coelata</i> (DE Beauchamp, 1932)	+	+
<i>A. fissa</i> (Gosse, 1851)	+	+
<i>Brachionus angularis</i> Gosse, 1851	+	-
<i>B. calyciflorus</i> Pallas, 1766	+	-
<i>B. caudatus</i> Barrois and Daday	+	+
<i>B. caudatus</i> f. <i>aculeatus</i> Hauer, 1937	+	-
<i>B. caudatus</i> f. <i>apsteini</i>	+	-
<i>B. dichotomus</i> f. <i>reductus</i> Koste & Shiel, 1980	+	+ ^{b, c}
<i>B. diversicornis</i> (Daday, 1883)	+	-
<i>B. donneri</i> Brehm, 1951	+ ^{a, b}	+
<i>B. falcatus</i> Zacharias, 1898	+	+ ^{a, c}
<i>B. forficula</i> Wierzejski, 1891	+	+ ^b
* <i>B. nilsoni</i> (Ahlstrom, 1940)	+ ^c	-
<i>B. quadridentatus</i> Hermann, 1783	+	+
<i>Keratella cochlearis</i> (Gosse, 1951)	+	+
<i>K. edmondsoni</i> (Nayar, 1965)	-	+
<i>K. lenzi</i> Hauer, 1953	+	+ ^{b, c}
<i>K. procurva</i> (Thorpe, 1891)	+	-
<i>K. tecta</i> (Gosse, 1951)	+	+ ^b
<i>K. tropica</i> (Apstein, 1907)	+	-
<i>Platonus patulus</i> (Müller, 1786)	+	+
<i>Platyias quadricornis</i> (Ehrenberg, 1832)	+ ^{a, b}	-
FAMILY COLLOTHECIDAE:		
<i>Collotheca cf. trilobata</i>	+	+
<i>C. tenuilobata</i> (Anderson)	-	+

หมายเหตุ สัญญาลักษณ์ ^{a, b, c} หมายถึง โรติເພົ່າທີ່ພັບໃນຖຸຜິນ, ຖຸທານາ ແລະ ຖຸດູຮັ້ນ
ຕາມລຳດັບ ໃນມີສัญญาลักษณ์ ^{a, b, c} หมายถึง ໂຮຕິເພົ່າທີ່ພັບທັງ 3 ຖຸ
* ຂົນດີທີ່ພັບຄົງແຮກໃນປະເທດໄທຢ, + ດືອ ພບ - ດືອ ໄນພບ

ตารางที่ 8 รายชื่อโรติเฟอร์ที่พบในบึงบօระเพ็ด จังหวัดนครสวรรค์ และบึงโขงหลง จังหวัดหนองคาย ใน
ระหว่างเดือนลิงหาคม 2545 ถึงเมษายน 2547 (ต่อ)

ชื่อวิทยาศาสตร์	บึงบօระเพ็ด	บึงโขงหลง
FAMILY COLURELLIDAE:		
<i>Colurella adriatica</i> Ehrenberg, 1831	-	+ ^{b, c}
<i>C. uncinata</i> (Müller)	+	+
<i>Lepadella amphitropis</i> Herring, 1916	-	+
<i>L. cristata</i> (Rousselet, 1893)	-	+
<i>L. costatoides</i> Segers	+ ^{a, b}	+
<i>L. discoidea</i> Segers	+ ^{a, b}	+
<i>L. ehrenbergi</i> (Perty, 1890)	+	+
<i>L. ovalis</i> (Müller, 1786)	+	+
<i>L. patella</i> (Müller, 1786)	+	+
<i>L. rhombooides</i> (Gosse, 1886)	+	+
FAMILY CONOCHILIDAE:		
<i>Conochilus</i> sp.	+ ^a	+ ^{a, b}
FAMILY EUCHLANIDAE:		
<i>Dipleuchlanis propatula</i> (Gosse, 1886)	-	+
<i>Euchlanis dilatata</i> Ehrenberg, 1832	+	+
<i>E. incisa</i> Carlin	+ ^{a, b}	+
<i>Tripleuchlanis plicata</i> (Levander)	+	+
FAMILY FILINIIDAE:		
<i>Filinia carnasecla</i> Myers, 1938	+	+
<i>F. longiseta</i> (Ehrenberg, 1834)	+	+
<i>F. novaezealandiae</i> Shiel & Sanoamuang, 1993	+	+ ^{a, c}
<i>F. opoliensis</i> (Zacharias, 1898)	+	+ ^c
FAMILY FLOSCULARIIDAE:		
<i>Sinantherina ariprepes</i> Edmondson, 1939	+ ^{a, c}	+ ^{a, b}
<i>S. spinosa</i> (Thorpe, 1893)	+ ^{a, c}	-
FAMILY GASTROPODIDAE:		
<i>Ascomorpha ovalis</i> (Bergendal, 1892)	+	+
<i>A. saltans</i> Bartsch, 1870	+	+

หมายเหตุ สัญลักษณ์^{a,b,c} หมายถึง โรติเฟอร์ที่พบในฤดูฝน, ฤดูหนาว และฤดูร้อน
ตามลำดับ ไม่มีสัญลักษณ์^{a,b,c} หมายถึง โรติเฟอร์ที่พบทั้ง 3 ฤดู
+ คือ พบร - คือ ไม่พบ

ตารางที่ 8 รายชื่อโรคติดไฟล์พบในบึงบօระເຟັດ ຈັງຫວັດນຄສວຣົກ ແລະບຶ້ງໂທງຫລງ ຈັງຫວັດທນອງຄາຍ ໃນ
ຮະຫວ່າງເດືອນສິງຫາຄມ 2545 ຄຶ້ງເມພາຍນ 2547 (ຕ່ອ)

ชื่อวิทยาศาสตร์	บຶ້ງບօරະເຟັດ	ບຶ້ງໂທງຫລງ
FAMILY HEXARTHRIDAE:		
<i>Hexarthra intermedia</i> Wiszniewski, 1929	+	+ ^{a, c}
<i>H. mira</i> (Hudson, 1871)	+	+
FAMILY LECANIDAE:		
<i>Lecane aculeata</i> (Jakubski, 1912)	+	-
<i>L. arcula</i> Harring, 1914	+	+
<i>L. batillifer</i> (Murray, 1913)	+ ^c	-
<i>L. bifastigata</i> Hauer, 1938	+ ^{a, c}	-
<i>L. blachei</i> Berzins, 1973	-	+
<i>L. bulla</i> (Gosse, 1851)	+	+
<i>L. closterocerca</i> (Schmarda, 1859)	+	+ ^{a, c}
<i>L. crepida</i> Harring, 1914	+	+
<i>L. curvicornis</i> (Murray, 1913)	+	+ ^{a, c}
<i>L. flexilis</i> (Gosse, 1886)	+	+
<i>L. furcata</i> (Murray, 1913)	+	+
<i>L. haliclysta</i> Harring & Myers, 1926	+	+
<i>L. hamata</i> (Stokes, 1896)	+	+
<i>L. hastata</i> (Murray, 1913)	+	-
<i>L. hornemannii</i> (Ehrenberg, 1834)	+	+
<i>L. inopinata</i> Harring & Myers, 1926	+	+
<i>L. lateralis</i> Sharma, 1978	-	+ ^a
<i>L. leontina</i> (Turner, 1892)	+	+
<i>L. ludwigii</i> (Eckstein, 1883)	+	+ ^c
<i>L. luna</i> (Müller, 1776)	+	+ ^a
<i>L. lunaris</i> (Ehrenberg, 1832)	+	+
<i>L. monostyla</i> (Daday, 1897)	+ ^a	+ ^c
<i>L. obtusa</i> (Murray, 1913)	+	+
<i>L. papuana</i> (Murray, 1913)	+	+ ^a
<i>L. pertica</i> Harring and Myers, 1926	-	+

หมายเหตุ สัญญาลักษณ์ ^{a, b, c} หมายถึง โรคติดไฟล์พบในฤดูฝน, ฤดูหนาว และฤดูร้อน
ตามลำดับ ไม่มีสัญญาลักษณ์ ^{a, b, c} หมายถึง โรคติดไฟล์พบทั้ง 3 ฤดู
+ คือ พน - คือ ไม่พบ

ตารางที่ 8 รายชื่อโรติเฟอร์ที่พบในบึงบօระเพ็ด จังหวัดนครสวรรค์ และบึงโขงหลง จังหวัดหนองคาย ใน
ระหว่างเดือนสิงหาคม 2545 ถึงเมษายน 2547 (ต่อ)

ชื่อวิทยาศาสตร์	บึงบօระเพ็ด	บึงโขงหลง
FAMILY LECANIDAE:		
<i>L. punctata</i> (Murray, 1913)	+ ^{a, b}	-
<i>L. pyriformis</i> (Daday, 1905)	+	+
<i>L. quadridentata</i> (Ehrenberg, 1832)	+	+
<i>L. rhenana</i> Hauer, 1919	+	+
<i>L. rhytidia</i> Harring and Myers, 1926	+ ^b	-
<i>L. signifera</i> (Jennings, 1896)	+	+
<i>L. stenroosi</i> (Meissner, 1908)	+ ^a	+ ^a
<i>L. tenuiseta</i> Harring, 1914	+ ^c	+ ^{b, c}
<i>L. thalera</i> (Harring and Myers, 1926)	+ ^a	-
<i>L. thienemannii</i> (Hauer, 1938)	+	+
<i>L. unguitata</i> (Fadeev, 1925)	+	+
<i>L. ungulata</i> (Gosse, 1887)	+	+
FAMILY SYNCHAETIDAE:		
<i>Polyarthra vulgaris</i> Carlin, 1943	+	+
<i>Ploesoma hudsoni</i> (Imhof)	+ ^{a, b}	+ ^{b, c}
<i>P. lenticulare</i> Herrick	+ ^a	+ ^{a, c}
FAMILY SYNCHAETIDAE (cont.):		
<i>Synchaeta</i> sp.	+ ^{a, c}	+ ^{a, b}
FAMILY MYTILINIDAE:		
<i>Mytilina bisulcata</i> (Lucks)	+ ^c	+
<i>M. unguipes</i> (Lucks)	+	+
<i>M. ventralis</i> (Ehrenberg, 1832)	+	+
FAMILY NOTOMMATIDAE:		
<i>Cephalodella mucronata</i> Myers, 1924	+	+
<i>C. tenuior</i> Gosse	-	+
<i>Monommata</i> sp.	+	+
FAMILY SCARIDIIDAE:		
<i>Scardium longicaudum</i> (Müller, 1786)	+	+

หมายเหตุ สัญญาลักษณ์ ^{a, b, c} หมายถึง โรติเฟอร์ที่พบในฤดูฝน, ฤดูหนาว และฤดูร้อน
ตามลำดับ ในน้ำสัญญาลักษณ์ ^{a, b, c} หมายถึง โรติเฟอร์ที่พบทั้ง 3 ฤดู
+ คือ พบร - คือ ไม่พบ

ตารางที่ 8 รายชื่อโรติเฟอร์ที่พบในบึงบօระเพ็ด จังหวัดนครสวรรค์ และบึงโขงหลวง จังหวัดหนองคาย ในระหว่างเดือนสิงหาคม 2545 ถึงเมษายน 2547 (ต่อ)

ชื่อวิทยาศาสตร์	บึงบօระเพ็ด	บึงโขงหลวง
FAMILY TRICHOCERCIDAE:		
<i>Pompholyx complanata</i> Gosse, 1851	+	+ ^b
<i>Trichocerca abilioi</i> Segers, 1993	-	+
<i>T. bicristata</i> (Gosse, 1887)	+ ^{a,b}	+
<i>T. bidens</i> (Lucks, 1912)	+ ^a	+
<i>T. brasiliensis</i> (Murray, 1913)	+ ^{a,b}	+
<i>T. capucina</i> Wierzejski and Zacharias, 1893	+	+
<i>T. chattoni</i> (De Beauchamp, 1907)	-	+
<i>T. cylindrica</i> (Imhof, 1891)	+	+
<i>T. elongata</i> Gosse	-	+ ^b
<i>T. flagellata</i> Hauer, 1937	+ ^{a,b}	+
<i>T. hollaerti</i> De Smet, 1990	-	+
<i>T. insignis</i> (Herrick, 1885)	-	+
<i>T. longiseta</i> (Schrank)	-	+
FAMILY TRICHOCERCIDAE (cont.):		
<i>T. mus</i> Hauer, 1938	+ ^b	-
<i>T. orca</i> (Harring, 1913)	-	+
<i>T. pusilla</i> (Lauterborn, 1898)	+	+
<i>T. ruttneri</i> Donner	-	+
<i>T. similis</i> (Wierzejski, 1893)	+	+
<i>T. stylata</i> (Gosse, 1851)	+	+
<i>T. tenuior</i> (Gosse)	-	-
FAMILY TRICHTOTRIIDAE:		
<i>Macrochaetus collinsi</i> (Gosse, 1867)	+	+
<i>M. longipes</i> Myers, 1934	+ ^{a,b}	+
<i>M. subquadratus</i> (Perty)	+ ^{a,c}	+

หมายเหตุ สัญลักษณ์ ^{a,b,c} หมายถึง โรติเฟอร์ที่พบในฤดูฝน, ฤดูหนาว และ ฤดูร้อน
 ตามลำดับ ไม่มีสัญลักษณ์ ^{a,b,c} หมายถึง โรติเฟอร์ที่พบทั้ง 3 ฤดู
 + คือ พบ - คือ ไม่พบ

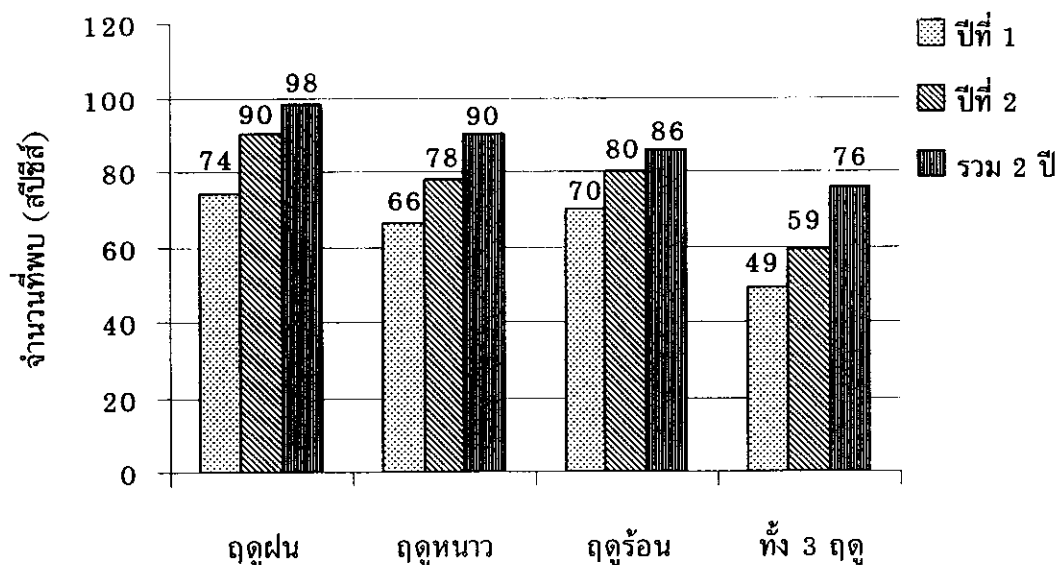
ตารางที่ 8 รายชื่อโรติเฟอร์ที่พบในบึงบօระเพ็ด จังหวัดนครสวรรค์ และบึงโขงหลวง จังหวัดหนองคาย ในระหว่างเดือนสิงหาคม 2545 ถึงเมษายน 2547 (ต่อ)

ชื่อวิทยาศาสตร์	บึงบօระเพ็ด	บึงโขงหลวง
FAMILY TRICHOTRIIDAE:		
<i>Testudinella ahlstromi</i> Hauer	-	+
<i>T. amphora</i> Hauer, 1938	-	+
<i>T. insuata</i> Hauer	-	+
<i>T. parva</i> (Temetz)	-	+
<i>T. patina</i> (Hermann)	+	-
<i>T. tridentata</i> Smirnov, 1931	-	+
<i>Trichotria tetractis</i> (Ehrenberg, 1830)	+	+
รวมชนิดที่พบ	103	110
คิดเป็นอ้อยละของจำนวนชนิดที่พบในประเทศไทย	29.34	31.33

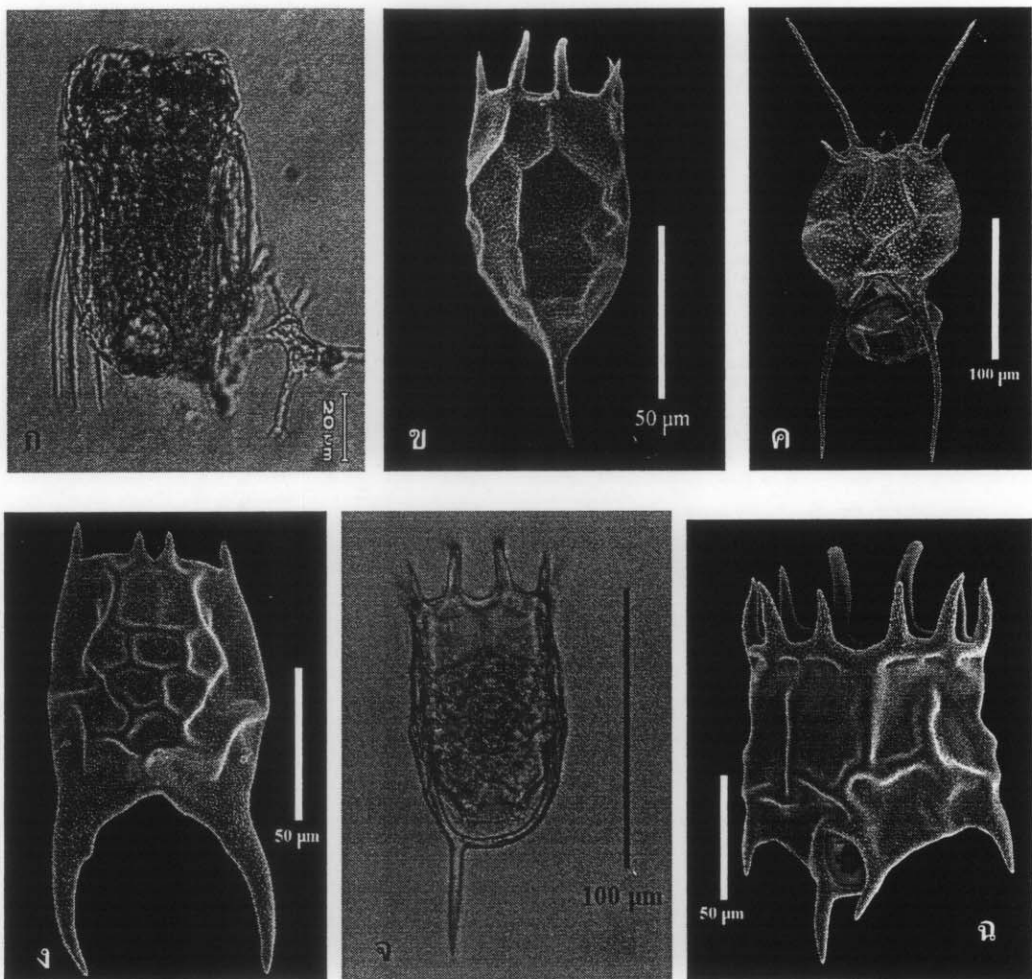
หมายเหตุ สัญญาลักษณ์ ^{a,b,c} หมายถึง โรติเฟอร์ที่พบในฤดูฝน, ฤดูหนาว และฤดูร้อน
ตามลำดับ ไม่มีสัญญาลักษณ์ ^{a,b,c} หมายถึง โรติเฟอร์ที่พบทั้ง 3 ฤดู
+ คือ พบ - คือ ไม่พบ

ตารางที่ 9 จำนวนสปีชีส์ของโรติเฟอร์ที่พบในบึงบօระเพ็ด และบึงโขงหลวง และค่าดัชนีความหลากหลายนิด ตั้งแต่เดือนสิงหาคม 2545 ถึงเมษายน 2547

ฤดูกาล	บึงบօระเพ็ด		บึงโขงหลวง	
	จำนวนสปีชีส์ที่พบ	ค่าดัชนีความหลากหลายนิด	จำนวนสปีชีส์ที่พบ	ค่าดัชนีความหลากหลายนิด
ฤดูฝน (ปีที่ 1)	74	0.90	68	0.92
ฤดูหนาว (ปีที่ 1)	66	0.97	76	0.81
ฤดูร้อน (ปีที่ 1)	70	0.97	77	1.03
ฤดูฝน (ปีที่ 2)	90	1.10	92	1.03
ฤดูหนาว (ปีที่ 2)	78	1.19	87	1.11
ฤดูร้อน (ปีที่ 2)	80	1.12	90	1.16



ภาพที่ 10 จำนวนนิเดของໂຮຕີເຟອຣ໌ພບແຕ່ລະຄຸກາລໃນບົນບອຮະເພດເປົ້າຍກັນຮວ່າງປີທີ 1 ແລະ 2
ຂອງການສຶກໝາ (ຕັ້ງແຕ່ເດືອນສິງຫາຄມ 2545 ດືງເມຍາຍນ 2547)



ภาพที่ 11 ภาพถ่ายและภาพจากกล้องจุลทรรศน์อิเล็กตรอนแบบส่องการดูของโรติเฟอร์จากการศึกษาครั้งนี้

ก: *Polyarthra vulgaris* (Carlin), ข: *Keratella cochlearis* (Gosse),

ค: *Brachionus falcatus* Zacharias, ง: *B. forficula* Wierzejski,

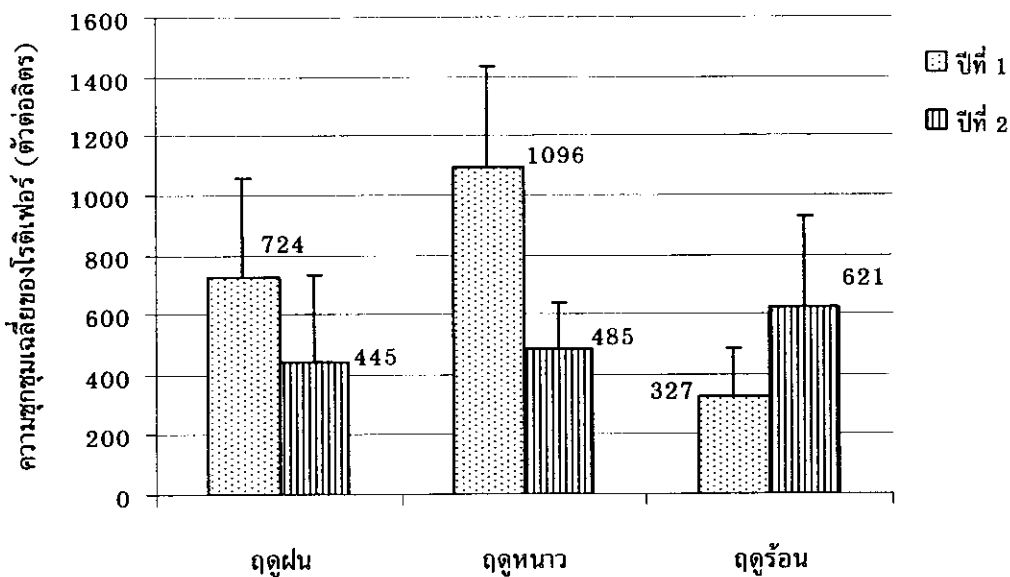
จ: *K. tropica* (Apstein) และ ฉ: *Plationus patulus* (Müller)

2.1.1.2 ความชุกชุมของโรติเฟอร์

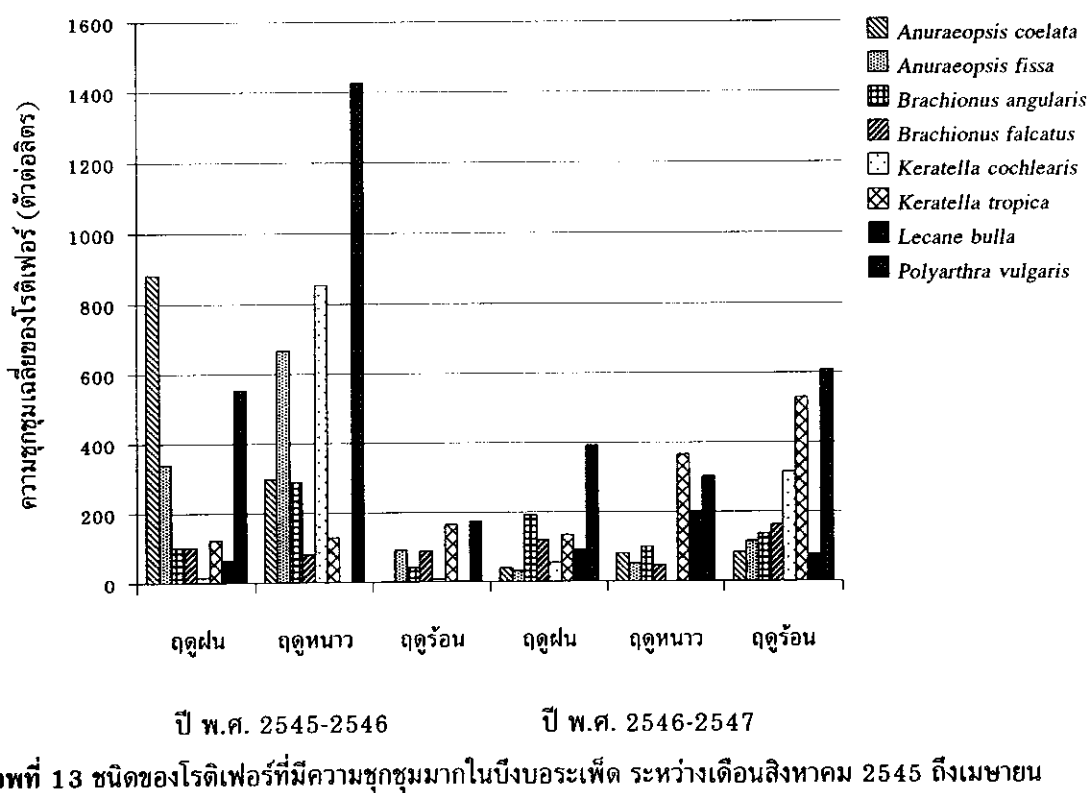
จากการศึกษาความชุกชุมของโรติเฟอร์ในรอบปีแรก พบร่วมค่าเฉลี่ยจำนวนตัวของโรติเฟอร์สูงสุด ในฤดูหนาวมีค่าเท่ากับ 1,096 ตัวต่อลิตร (ส่วนเบี่ยงเบนมาตรฐาน 339 ตัวต่อลิตร) และต่ำสุดในฤดูร้อน เท่ากับ 327 ตัวต่อลิตร (ส่วนเบี่ยงเบนมาตรฐาน 157 ตัวต่อลิตร) ชนิดที่มีความชุกชุมมากคือ *P. vulgaris* และ *Anuraeopsis coelata* (De Beauchamp) ส่วนในปีที่ 2 ของการศึกษา พบร่วมค่าเฉลี่ยจำนวนตัวของโรติเฟอร์ สูงสุดในฤดูร้อนเท่ากับ 621 ตัวต่อลิตร (ส่วนเบี่ยงเบนมาตรฐาน 307 ตัวต่อลิตร) และต่ำสุดในฤดูฝนเท่ากับ 445 ตัวต่อลิตร (ส่วนเบี่ยงเบนมาตรฐาน 288 ตัวต่อลิตร) (ภาพที่ 12) ชนิดที่มีความชุกชุมมากคือ *P. vulgaris* และ *K. tropica*

เมื่อวิเคราะห์ความแตกต่างของความชุกชุมของโรติเฟอร์ที่พบระหว่างสามฤดูกาลในทางสถิติ พบร่วงในปีแรกและปีที่สองไม่มีความแตกต่างมีนัยสำคัญ ($p>0.05$) แต่เมื่อพิจารณาความชุกชุมของ โรติเฟอร์ที่พบในฤดูกาลเดียวกันของทั้งสองปี พบร่วงในฤดูหนาวเท่านั้นที่ความชุกชุมของโรติเฟอร์มีความ แตกต่างกันอย่างมีนัยสำคัญ ($p<0.05$)

เมื่อพิจารณาจากข้อมูลดังกล่าวข้างต้น พบร่วงความหลากหลายชนิดของโรติเฟอร์มีผลต่อความชุกชุม โดยโรติเฟอร์ที่พบในทั้งสามฤดูกาลของรอบปีที่ศึกษานั้น ความหลากหลายชนิดของโรติเฟอร์จะแปรผันกับความ ชุกชุม กล่าวคือฤดูกาลที่มีความหลากหลายนิ่มมาก ในแต่ละชนิดที่พบนั้นจะมีความชุกชุมน้อย ในท่านองเดียวกัน ฤดูกาลที่พบความหลากหลายนิ่มน้อย ในแต่ละชนิดที่พบจะมีความชุกชุมมาก ยกตัวอย่างเช่น ฤดูหนาว (ธันวาคม 2545) พบร็อติเฟอร์มีความหลากหลายนิ่มน้อยที่สุด 66 สปีชีส์ แต่พบความชุกชุมเฉลี่ยมากที่สุดเท่ากับ 1,096 ตัว ต่อลิตร (ส่วนเบี่ยงเบนมาตรฐาน 339 ตัวต่อลิตร) (ภาพที่ 12) และยังมีความสอดคล้องกับชนิดที่พบด้วย โดยชนิดของโรติเฟอร์ที่พบนั้นจะมีความชุกชุมค่อนข้างมาก เช่น *P. vulgaris* และ *K. cochlearis* มีความชุกชุม เฉลี่ยมากถึง 1,426 และ 852 ตัวต่อลิตร ตามลำดับ (ภาพที่ 13) นอกจากนี้ยังพบว่าตัวน้ำมีความหลากหลายชนิดของ โรติเฟอร์มีค่าค่อนข้างน้อยอยู่ในช่วง 0.90–1.19 ซึ่งค่าดังกล่าวมีความสอดคล้องกับในกรณีที่พบโรติเฟอร์ ชนิดใดชนิดหนึ่งมีความชุกชุมสูงมาก จึงทำให้พบค่าตัวน้ำมีความหลากหลายชนิดมีค่าค่อนข้างน้อย ค่าตัวน้ำมีความหลากหลายชนิดที่อยู่ในเกณฑ์มาตรฐานของงานวิจัยภาคสนามค่าอยู่ระหว่าง 1.5–3.5 (Margalef, 1972)



ภาพที่ 12 ความชุกชุมเฉลี่ยของโรติเฟอร์ที่พบในบึงนรองะเพ็ด ระหว่างเดือนสิงหาคม 2545 ถึง เมษายน 2547 (ค่าเฉลี่ย±ส่วนเบี่ยงเบนมาตรฐาน)



ภาพที่ 13 ชนิดของโรติเฟอร์ที่มีความชุกชุมมากในบึงนรองะเพ็ด ระหว่างเดือนสิงหาคม 2545 ถึงเมษายน 2547

2.1.1.3 ความสัมพันธ์ระหว่างความชุกชุมของโรติเฟอร์ที่พบรับปัจจัยทางกายภาพและเคมีบางประการ

จากการน้ำซ้อมล้วนความชุกชุมของโรติเฟอร์ที่พบรับปัจจัยทางกายภาพและเคมีบางประการที่ศึกษามาว่าเดரะร่วมกับปัจจัยทางกายภาพและเคมีบางประการของแหล่งน้ำดังกล่าวข้างต้น เพื่อวิเคราะห์หาความสัมพันธ์ระหว่างความชุกชุมของโรติเฟอร์กับสภาพแวดล้อมในแหล่งน้ำที่อาศัยอยู่ ได้ผลดังตารางที่ 10

การวิเคราะห์หาความสัมพันธ์ระหว่างความชุกชุมของโรติเฟอร์กับปัจจัยทางกายภาพและเคมีบางประการของแหล่งน้ำ พบว่าความชุกชุมของโรติเฟอร์มีความสัมพันธ์ในเชิงบวกและเชิงลบกับปัจจัยทางกายภาพและเคมีบางประการของน้ำอย่างมีนัยสำคัญ ($p<0.05$) ดังตารางที่ 10 ยกตัวอย่างเช่น *Trichocerca similis* (Wierzejski) มีความสัมพันธ์เชิงลบกับค่าพีเอชของน้ำโดยอยู่ในระดับค่อนข้างมาก (Spearman coeff. = -0.679, $p<0.01$) กล่าวคือ เมื่อค่าพีเอชของน้ำเพิ่มขึ้นหรือน้ำที่มีสภาพเป็นด่าง ความชุกชุมของโรติเฟอร์สปีชีส์ดังกล่าวมีแนวโน้มที่จะลดลง แสดงให้เห็นว่าโรติเฟอร์สปีชีส์ดังกล่าวสามารถ tolerate ได้ดีกว่าในแหล่งน้ำที่มีสภาพเป็นกรดได้ ดังนั้น ความชุกชุมของโรติเฟอร์สปีชีส์น้ำกรดจะต่ำกว่าในแหล่งน้ำที่มีสภาพเป็นด่างได้ เป็นต้น

ดังนั้น ความสัมพันธ์ระหว่างความชุกชุมของโรติเฟอร์กับปัจจัยทางกายภาพและเคมีบางประการของแหล่งน้ำยังไม่ชัดเจน อย่างไรก็ดีชนิดหนึ่งซึ่งมีความชุกชุมมากคือ *Polyarthra vulgaris* เจริญได้ดีในช่วงฤดูหนาวของปีแรก มีอุณหภูมน้ำอยู่ในช่วง 28.1-29.7 องศาเซลเซียส แต่ในฤดูหนาวของปีที่สองพบว่าโรติเฟอร์ชนิดดังกล่าวมีความชุกชุมลดน้อยลงทั้งที่อุณหภูมิของน้ำอยู่ในช่วง 23.2-27.4 องศาเซลเซียส ซึ่งอุณหภูมิของน้ำในทั้งสองปีมีค่าแตกต่างกันไม่มากนัก

ตารางที่ 10 ทิศทางและระดับความสัมพันธ์ระหว่างความชุกชุมของໂຣຕີເຟອຣີໃນບິນຂອງເປົ້າກັບປັດຈຸກາກ
ກາຍກາພແລະເຄມືບາງປະກາຊາຂອງແຫ່ງນໍາ

ປັດຈຸກາກ ຄຸນກາພ ນໍາທີ ຕຽວວັດ	ທີ່ສຳກາງຂອງ ຄວາມສັນພັນຮ່ວມ	ຄ່າສັນປະສິກູ້ສຫສັນພັນຮ່ວມແບບສເປີເຢຣແນນ (Spearman Correlation Coefficient Interval (r_s))			
		<0.2	0.2–0.4	0.41–0.6	0.61–0.8
ອຸດທະນີ	+	<i>Brachionus caudatus</i> <i>f. apsteini*</i> , <i>B. falcatus*</i> , <i>Lecane flexilis*</i> , <i>L. pyriformis*</i> , <i>Testudinella patina*</i>	<i>Asplanchna brightwelli**</i> , <i>B. calyciflorus**</i> , <i>B. dichotomus f. reductus**</i> , <i>B. diversicornis**</i> , <i>Filinia opoliensis*</i> , <i>L. ludwigii**</i> , <i>Plationus patulus**</i>		
	-	<i>Anuraeopsis coelata*</i> , <i>B. angularis*</i> , <i>B. quadridentatus*</i> , <i>Hexarthra mira*</i> , <i>Lecane curvicornis*</i> , <i>L. leontina*</i> , <i>L. rhenana*</i> , <i>Lepadella ehrenbergi*</i> , <i>Polyarthra vulgaris*</i> , <i>Trichocerca flagellata*</i>	<i>B. caudatus f. aculeatus**</i> , <i>Keratella lenzi**</i> , <i>K. tecta**</i> , <i>Lecane lunaris**</i> , <i>L. punctata**</i> , <i>Lepadella rhombooides**</i> , <i>Trichocerca similis**</i> , <i>T. stylata**</i>	<i>Trichocerca cylindrica**</i>	
ພື້ເອຂ	+	<i>Euchlanis dilatata*</i> , <i>F. novaezealandiae*</i> , <i>L. hamata*</i> , <i>L. inopinata*</i> , <i>Lepadella patella*</i> , <i>Scardium longicaudum*</i> , <i>T. patina*</i>	<i>Ascomorpha ovalis**</i> , <i>A. saltans**</i> , <i>B. caudatus f. apsteini**</i> , <i>B. dichotomus f. reductus**</i> , <i>B. falcatus**</i> , <i>Colurella uncinata*</i> , <i>K. procurva*</i> , <i>K. tropica**</i> , <i>L. bulla**</i> , <i>L. flexilis**</i> , <i>L. furcata**</i> , <i>L. ludwigii**</i> , <i>L. obtusa**</i> ,	<i>B. caudatus**</i> , <i>Collotheca cf. trilobata**</i> , <i>F. opoliensis**</i> , <i>H. intermedia**</i>	

** ມີຄວາມສັນພັນຮ່ວມທີ່ຈະຕັບນັຍສໍາຄັນ 0.01

* ມີຄວາມສັນພັນຮ່ວມທີ່ຈະຕັບນັຍສໍາຄັນ 0.05

ตารางที่ 10 ทิศทางและระดับความสัมพันธ์ระหว่างความชุกชุมของโรคเพื่อในนิ่งบ่อระเพิดกับปัจจัยทาง
กายภาพและเคมีบางประการของแหล่งน้ำ (ต่อ)

ปัจจัย คุณภาพ น้ำที่ ตรวจ	ทิศทางของ ความสัมพันธ์	ค่าสัมประสิทธิ์สหสัมพันธ์แบบสเปียร์แมน (Spearman Correlation Coefficient Interval (r_s))			
		<0.2	0.2-0.4	0.41-0.6	0.61-0.8
พืช (ต่อ)	+		<i>Lecane pyriformis**</i> , <i>L. signifera**</i> , <i>L. unguilata**</i> , <i>L. ehrenbergi*</i> , <i>L. ovalis**</i> , <i>L. rhomboides*</i> , <i>Macrochaetus collinsi**</i> , <i>Mytilina ventralis**</i>		
		-	<i>Anuraeopsis coelata*</i> , <i>Filinia longiseta*</i> , <i>K. cochlearis*</i> , <i>Lecane arcula*</i> , <i>L. thalera*</i> , <i>T. mus*</i>	<i>Anuraeopsis fissa**</i> , <i>Keratella tecta**</i> , <i>Polyarthra vulgaris**</i> , <i>Trichocerca capucina**</i> , <i>T. cylindrica**</i> , <i>T. stylata**</i>	<i>Brachionus caudatus f. aculeatus**</i> , <i>Trichocerca flagellata**</i> , <i>T. pusilla**</i>
การนำ ไฟฟ้า	+	<i>Platonus patulus*</i> ,	<i>B. calyciflorus**</i> , <i>B. forticula**</i> , <i>L. arcula*</i> ,	<i>B. diversicornis**</i> ,	
		-	<i>Asplanchna priodonta*</i> , <i>B. caudatus f. aculeatus*</i> , <i>F. camasecla*</i> , <i>L. unguitata*</i> , <i>P. vulgaris*</i>	<i>A. coelata**</i> , <i>B. angularis**</i> , <i>B. caudatus**</i> , <i>B. donneri**</i> , <i>C. cf. trilobata**</i> , <i>H. intermedia**</i> , <i>H. mira*</i> , <i>L. aculeata**</i> , <i>L. bulla**</i> , <i>L. curvicornis*</i> ,	<i>B. quadridentatus**</i> , <i>Lepadella rhomboides**</i> ,

** มีความสัมพันธ์ที่ระดับนัยสำคัญ 0.01

* มีความสัมพันธ์ที่ระดับนัยสำคัญ 0.05

ตารางที่ 10 ทิศทางและระดับความสัมพันธ์ระหว่างความชุกชุมของโรคเพอร์ในบีบกระเพ็ดกับปัจจัยทาง
กายภาพและเคมีทางประการของแหล่งน้ำ (ต่อ)

ปัจจัย คุณภาพ น้ำที่ ตรวจ	ทิศทางของ ความสัมพันธ์	ค่าสัมประสิทธิ์สหสัมพันธ์แบบสpearman (r _s)			
		<0.2	0.2–0.4	0.41–0.6	0.61–0.8
การนำ ไฟฟ้า (ต่อ)	-		<i>Lecane furcata</i> **, <i>L. hamata</i> *, <i>L. hastata</i> **, <i>L. leontina</i> **, <i>L. quadridentata</i> **, <i>L. rhenana</i> **, <i>Lepadella ehrenbergi</i> **, <i>L. ovalis</i> **, <i>Mytilina ventralis</i> **, <i>Platyias quadricornis</i> **, <i>Pompholyx complanata</i> **, <i>Sinantherina ariprepes</i> **, <i>Trichocerca bicristata</i> **, <i>T. brasiliensis</i> **, <i>T. stylata</i> *, <i>Tripleuchlanis plicata</i> **		
ปริมาณ ออกซิเจน ละลายน้ำ	+	<i>Brachionus caudatus</i> *, <i>B. caudatus</i> f. <i>aculeatus</i> *, <i>L. closterocerca</i> *	<i>Ascomorpha ovalis</i> **, <i>A. saltans</i> **, <i>B. angularis</i> **, <i>B. dichotomus</i> f. <i>reductus</i> *, <i>Filinia longiseta</i> *, <i>F. opoliensis</i> **, <i>Hexarthra mira</i> *, <i>Keratella lenzi</i> **, <i>K. tecta</i> **	<i>Anuraeopsis coelata</i> **, <i>A. fissa</i> **, <i>B. falcatus</i> **, <i>K. cochlearis</i> **, <i>T. stylata</i> **	

** มีความสัมพันธ์ที่ระดับนัยสำคัญ 0.01

* มีความสัมพันธ์ที่ระดับนัยสำคัญ 0.05

ตารางที่ 10 ทิศทางและระดับความสัมพันธ์ระหว่างความชุกชุมของโรคไฟอร์ในบึงบรองเพ็ດกับปัจจัยทาง
กายภาพและเคมีบางประการของแหล่งน้ำ (ต่อ)

ปัจจัย คุณภาพ น้ำที่ ตรวจ	ทิศทางของ ความสัมพันธ์	ค่าสัมประสิทธิ์สหสัมพันธ์แบบสpearman			
		<0.2	0.2-0.4	0.41-0.6	0.61-0.8
ปริมาณ ออกซิเจน ละลายน้ำ (ต่อ)	+		<i>Keratella tropica</i> **, <i>Lecane flexilis</i> *, <i>L. pyriformis</i> **, <i>Polyarthra vulgaris</i> *, <i>Trichocerca capucina</i> *, <i>T. pusilla</i> **		
		-	<i>Filinia camasecla</i> *, <i>Lecane aculeata</i> *, <i>L. hamata</i> *, <i>L. papuana</i> *, <i>L. quadridentata</i> *, <i>L. rhenana</i> *, <i>Monommata</i> sp.*, <i>T. cylindrica</i> *	<i>Brachionus quadridentatus</i> **, <i>L. curvicornis</i> **, <i>L. leontina</i> **, <i>L. lunaris</i> **, <i>L. unguitata</i> **, <i>Lepadella rhomboides</i> **, <i>Sinantherina spinosa</i> **, <i>Tripleuchlanis plicata</i> **	
ความเค็ม	+		<i>B. calyciflorus</i> **, <i>B. forficula</i> **, <i>F. novaezealandiae</i> **, <i>K. tropica</i> **, <i>L. flexilis</i> **	<i>B. diversicornis</i> **	
		-	<i>B. donneri</i> *, <i>L. aculeata</i> *, <i>L. quadridentata</i> *, <i>Platyias quadricornis</i> *, <i>Sinantherina ariprepes</i> *, <i>T. bicristata</i> *, <i>T. flagellata</i> *	<i>Anuraeopsis coelata</i> **, <i>B. angularis</i> **, <i>B. caudatus</i> f. <i>aculeatus</i> **, <i>B. quadridentatus</i> **, <i>F. camasecla</i> **, <i>Hexarthra intermedia</i> **, <i>H. mira</i> **, <i>Pompholyx complanata</i> **, <i>T. stylata</i> **	

** มีความสัมพันธ์ที่ระดับนัยสำคัญ 0.01

* มีความสัมพันธ์ที่ระดับนัยสำคัญ 0.05

ตารางที่ 10 ทิศทางและระดับความสัมพันธ์ระหว่างความชุกชุมของโรคเพื่อรในบึงบօระเพ็ດกับปัจจัยทางกายภาพและเคมีบางประการของแหล่งน้ำ (ต่อ)

ปัจจัย คุณภาพ น้ำที่ ตรวจ	ทิศทางของ ความสัมพันธ์	ค่าสัมประสิทธิ์สหสัมพันธ์แบบสเปียร์แมน (Spearman Correlation Coefficient Interval (r_s))			
		<0.2	0.2–0.4	0.41–0.6	0.61–0.8
ความลึก	+	<i>Brachionus angularis*</i> , <i>Keratella procurva*</i> , <i>Lecane punctata*</i> , <i>Trichocerca pusilla*</i>	<i>B. caudatus f. aculeatus**</i> , <i>B. dichotomus f. reductus**</i> , <i>B. donneri**</i> , <i>C. cf. trilobata**</i> , <i>K. cochlearis**</i> , <i>K. lenzi**</i> , <i>K. tecta**</i> , <i>K. tropica**</i> , <i>T. capucina**</i> , <i>T. cylindrica**</i> , <i>T. flagellata*</i>	<i>Anuraeopsis coelata**</i> , <i>A. fissa**</i> ,	
	-	<i>B. quadridentatus*</i> , <i>Filinia camasecla*</i> , <i>F. longisetosa*</i> , <i>L. furcata*</i> , <i>L. hamata*</i> , <i>L. pyriformis*</i> , <i>Platonus patulus*</i> , <i>T. brasiliensis*</i>	<i>Asplanchna brightwelli**</i> , <i>A. priodonta**</i> , <i>Ascomorpha saltans**</i> , <i>B. caudatus f. apsteini**</i> , <i>F. novaezealandiae**</i> , <i>L. aculeata**</i> , <i>L. hastata*</i> , <i>L. leontina**</i> , <i>L. ludwigii**</i> , <i>L. quadridentata**</i> , <i>Mytilina ventralis**</i> , <i>Platyias quadricornis**</i> , <i>Sinantherina ariprepes**</i> , <i>S. spinosa**</i> , <i>Synchaeta sp.**</i> , <i>T. bicristata**</i>		

** มีความสัมพันธ์ที่ระดับนัยสำคัญ 0.01

* มีความสัมพันธ์ที่ระดับนัยสำคัญ 0.05

2.1.2 บึงโขงหลวง

2.1.2.1 ความหลากหลายนิดของโรคติดเชื้อ

พบโรคติดเชื้อรังสีสัน 29 สกุล 110 สปีชีส์ (ตารางที่ 8) คิดเป็นร้อยละ 31.3 ของสปีชีส์ทั้งหมดที่พบในประเทศไทย วงศ์ Lecanidae พบรากานนิมมากที่สุด 30 สปีชีส์ รองลงมา ได้แก่ วงศ์ Trichocercidae และ Brachionidae พบ 19 สปีชีส์ และ 13 สปีชีส์ ตามลำดับ สกุลที่มีความหลากหลายในจำนวนสปีชีส์มากที่สุดคือ *Lecane* พบสมาชิก 30 สปีชีส์ (ร้อยละ 27.3 ของสปีชีส์ทั้งหมด) รองลงมา ได้แก่ สกุล *Trichocerca* มีสมาชิก 18 สปีชีส์ (ร้อยละ 16.4 ของสปีชีส์ทั้งหมด) และ *Lepadella* 8 สปีชีส์ (ร้อยละ 7.3 ของสปีชีส์ทั้งหมด) ซึ่งมีทั้งความคล้ายคลึงกันและแตกต่างกันกับผลการศึกษาของ Sanoamwong et al. (1995) และ Segers (2001) ที่รายงานว่าโรคติดเชื้อสกุลที่มีความหลากหลายนิมมากที่สุดในประเทศไทยและประเทศในเอเชียตะวันออกเฉียงใต้คือ สกุล *Lecane* รองลงมา ได้แก่ *Brachionus* และ *Trichocerca* ตามลำดับ

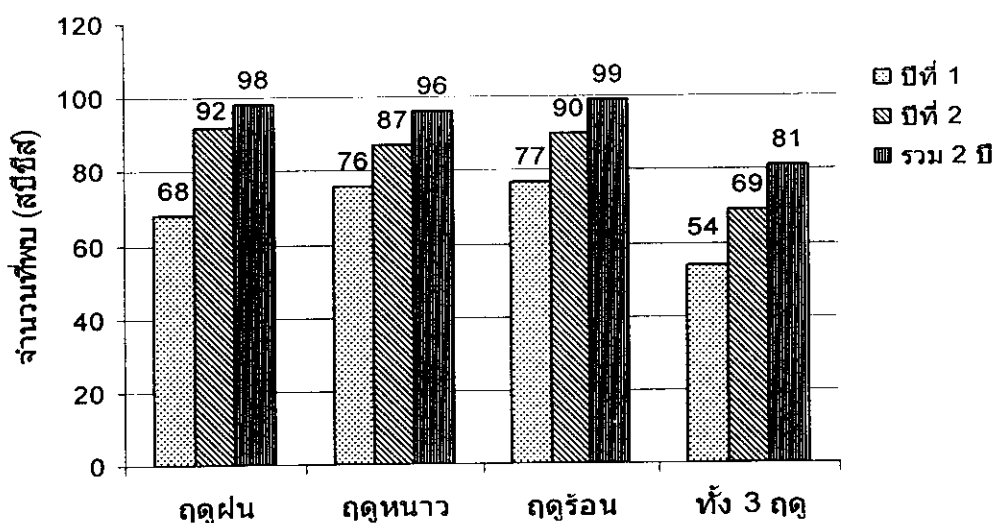
โรคติดเชื้อรังที่พบในแต่ละฤดูกาลมีจำนวนอยู่ระหว่าง 68-92 สปีชีส์ ในรอบปีแรก พบรากานนิมตั้งแต่ในฤดูร้อน ฤดูหนาว และฤดูฝน มีจำนวนนิมที่พบเท่ากับ 77 (มีค่าตัวนิมความหลากหลายเท่ากับ 1.03), 76 และ 68 สปีชีส์ ตามลำดับ คิดเป็นร้อยละ 70, 69.1 และ 61.2 ของโรคติดเชื้อรังที่พบทั้งหมด ตามลำดับ ส่วนในปีที่สองของการศึกษา พบรากานนิมในฤดูฝน ฤดูร้อน และฤดูหนาวเท่ากับ 92 (มีค่าตัวนิมความหลากหลายเท่ากับ 1.03), 90 และ 87 สปีชีส์ ตามลำดับ คิดเป็นร้อยละ 83.6, 81.8 และ 79.1 ของโรคติดเชื้อรังที่พบทั้งหมด ตามลำดับ (ตารางที่ 9 และภาพที่ 14) จะเห็นได้ว่าความหลากหลายของโรคติดเชื้อรังที่พบทั้งสามฤดูในแต่ละรอบปี ที่ทำการศึกษามีจำนวนที่ใกล้เคียงกัน เมื่อนำมาวิเคราะห์ทางสถิติ พบรากานนิมที่พบทั้งสามฤดูในรอบปี แรกและรอบปีที่สองไม่แตกต่างกันอย่างมีนัยสำคัญ ($p>0.05$) และเมื่อวิเคราะห์ความหลากหลายของโรคติดเชื้อรังที่พบในฤดูกาลเดียวกันของทั้งสองปี พบรากานนิมความหลากหลายของโรคติดเชื้อรังที่พบในทุกฤดูกาลของปีแรกมีความแตกต่างกันอย่างมีนัยสำคัญกับความหลากหลายในปีที่สอง ($p<0.05$) ทั้งนี้อาจเนื่องมาจากในปีที่สองที่ทำการศึกษามีปริมาณน้ำฝนมากกว่าปีแรกโดยพบว่าบริเวณกลางบึงมีความลึกมากถึง 4 เมตร ในขณะที่ปีแรกน้ำมีความลึกเพียง 2.5 เมตร ปริมาณน้ำที่เพิ่มขึ้นน้ำอาจจะชะล้างปริมาณอินทรีย์สารและอนินทรีย์สารจากพื้นดินลงสู่บึง ริบบุ อาหารดังกล่าวมีประโยชน์อย่างมากต่อการดำรงชีวิตและการเจริญเติบโตของสิ่งมีชีวิตในแหล่งน้ำนี้ซึ่งรวมถึงโรคติดเชื้อรัง จึงอาจเป็นสาเหตุหนึ่งที่ทำให้พบโรคติดเชื้อมีความหลากหลายนิมมากที่สุดในช่วงฤดูฝน โรคติดเชื้อรังที่พบทั้งหมด มีรายชื่อดังตารางที่ 8

โรคติดเชื้อรังที่พบเฉพาะในปีแรกของการศึกษามี 3 สปีชีส์คือ *Asplanchna priodonta*, *Lecane papuana* และ *Pompholyx complanata* ส่วนนิมที่พบเฉพาะปีที่สองของการศึกษามี 7 สปีชีส์คือ *Filinia opoliensis*, *L. luna*, *L. obtusa* และ *L. lateralis* นิมที่พบสนิมเสนอและทุกสถานที่เก็บตัวอย่าง ได้แก่ *Polyarthra vulgaris*, *Keratella cochlearis*, *L. bullata* และ *L. lunaris* ซึ่งสอดคล้องกับการรายงานที่ว่า ในแหล่งน้ำที่มีธาตุอาหารละลายน้ำอยู่มาก รวมถึงบริเวณที่ลุ่มของทะเลสาบที่เป็น eutrophic lakes จะพบการอาศัยอยู่รวมกันของ *P. vulgaris* และ *K. cochlearis* ซึ่งพบได้บ่อยที่สุดตลอดทั้งปี (Raina and Vass, 1993) จากการสำรวจโรคติดเชื้อรังที่พบในบึงหลังครั้งนี้ เมื่อนำมาเปรียบเทียบกับนิมที่พบประจำถิ่นในแต่ละภูมิภาคของโลกตามรายงานการศึกษาของลักษณะ เสนะเมือง (2542; 2544) พบรากานนิมที่พบประจำถิ่นของເອເຊີແລະອສເຕຣເລີຍ 2 สปีชีส์คือ *Brachionus dichotomus f. reductus* และ *Trichocerca orca* (Murray) นิมที่พบประจำถิ่นในเอเชียตะวันออกเฉียงใต้ 3 สปีชีส์คือ *B. donneri*, *K. edmondsoni* (Nayar) และ *L. blachei* นิมที่พบบ่อยในประเทศไทย 13 สปีชีส์ ได้แก่ *Anuraeopsis fissa*, *B. falcatus*, *B. forficula*, *F. longiseta*, *F. novaezealandiae*, *F. opoliensis*, *K. cochlearis*, *K. tropica*, *L. bullata*, *L. papuana*, *Plattonus patulus*, *P. vulgaris* และ *T. similis* (ลักษณะ เสนะเมือง, 2544) โรคติดเชื้อรังที่พบส่วนใหญ่เคยมีรายงานการพบและอยู่ในบัญชีรายชื่อโรคติดเชื้อรังที่พบใน

ประเทศไทยแล้ว และส่วนใหญ่เป็นชนิดที่พบแพร่กระจายอยู่ทั่วไปในเขตร้อน (ละอองศีริ เสนนาเมือง, 2544; Segers et al., 1993)

ชนิดที่พบในบึงโขงหลงส่วนใหญ่มีความคล้ายคลึงกันกับชนิดที่พบในบึงบ่อระเพ็ดตั้งกล่าวข้างต้น ซึ่งชนิดที่พบในครั้งนี้มีความสอดคล้องกับผลการศึกษาของ Sanoamuan and Savatetalinton (2001b) ที่ได้ศึกษาความหลากหลายชนิดของโรติเฟอร์ในบึงกุดทิง จังหวัดหนองคาย ซึ่งเป็นแหล่งน้ำขนาดใหญ่พบโรติเฟอร์มีความหลากหลายมากถึง 183 สปีชีส์ ทั้งนี้บึงกุดทิงมีสภาพแวดล้อมที่มีการเปลี่ยนแปลงน้อยมาก ในขณะที่สภาพแวดล้อมของบึงโขงหลงมีการเปลี่ยนแปลงทางธรรมชาติของแหล่งน้ำ การชะล้างผิวดินในฤดูฝน การขยายพันธุ์ของพันธุ์ไม่น้ำไว้ทุกพื้นที่ รวมถึงการเพิ่มจำนวนการบุกรุกของมนุษย์ในการใช้ประโยชน์บริเวณพื้นที่รอบบึง ในการทำเกษตรกรรม และปลูกสร้างสถานพักผ่อนหย่อนใจซึ่งรวมไปถึงร้านอาหารริมน้ำ เป็นต้น กิจกรรมต่างๆ เหล่านี้มีผลให้ระบบนิเวศของบึงโขงหลงเกิดการเปลี่ยนแปลงตามไปด้วยซึ่งรวมถึงการเปลี่ยนแปลงคุณภาพน้ำที่มีผลกระทบโดยตรงต่อการดำรงชีวิตและองค์ประกอบของสิ่งมีชีวิตในบึง รวมถึงกลุ่มของแพลงก์ตอนสัตว์ที่เป็นแหล่งอาหารธรรมชาติที่สำคัญอย่างหนึ่งในระบบนิเวศ จึงเป็นสาเหตุให้พบจำนวนชนิดของโรติเฟอร์ในบึงโขงหลงน้อยกว่าบึงกุดทิง เมื่อพิจารณาจากข้อมูลตั้งกล่าวข้างต้น พบว่าความผันแปรของชนิดโรติเฟอร์ที่พบในแต่ละฤดูการ มีความหลากหลายมากน้อยแตกต่างกันและพบว่าในฤดูฝนมีความหลากหลายชนิดมากที่สุดอย่างมีนัยสำคัญ ($p<0.05$) ถึงจะไม่ตัดเจนมากนักแต่มีแนวโน้มในระดับหนึ่งได้ว่าฤดูการมีผลกับความหลากหลายชนิดของโรติเฟอร์ที่อาศัยอยู่ในแหล่งน้ำแห่งนี้

จากที่กล่าวมาข้างต้นนี้มีความสอดคล้องกับการรายงานของ Pejler (1983) ที่กล่าวไว้ว่าโรติเฟอร์มีการตอบสนองต่อการเปลี่ยนแปลงของสิ่งแวดล้อมที่มากกว่าแพลงก์ตอนสัตว์ในกลุ่มที่เป็นครัสเตเชียน จึงสามารถใช้โรติเฟอร์เป็นตัวชี้วัดการเปลี่ยนแปลงของคุณภาพน้ำได้



ภาพที่ 14 จำนวนชนิดของโรติเฟอร์ที่พบแต่ละฤดูกาลในบึงโขงหลงเปรียบเทียบกันระหว่างปีที่ 1 และ 2 ของการศึกษา (ตั้งแต่เดือนสิงหาคม 2545 ถึงเมษายน 2547)

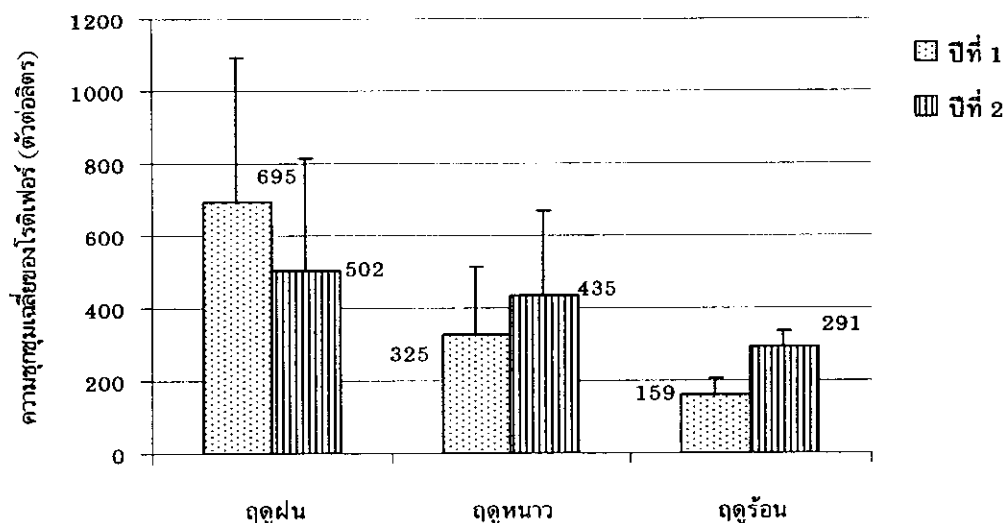
2.1.2.2 ความชุกชุมของโรติเฟอร์

จากการศึกษาความชุกชุมของโรติเฟอร์ในรอบปีแรก พบร่วมค่าเฉลี่ยจำนวนตัวของโรติเฟอร์สูงสุดในฤดูฝนมีค่าเท่ากับ 695 ตัวต่อลิตร (ส่วนเบี่ยงเบนมาตรฐาน 398 ตัวต่อลิตร) และต่ำสุดในฤดูร้อนเท่ากับ 159 ตัวต่อลิตร (ส่วนเบี่ยงเบนมาตรฐาน 47 ตัวต่อลิตร) ชนิดที่มีความชุกชุมมากคือ *Polyarthra vulgaris* ส่วนในปีที่ 2 ของการศึกษา พบร่วมค่าเฉลี่ยจำนวนตัวของ โรติเฟอร์สูงสุดในฤดูฝนเท่ากับ 502 ตัวต่อลิตร (ส่วนเบี่ยงเบนมาตรฐาน 312 ตัวต่อลิตร) และต่ำสุดในฤดูร้อนเท่ากับ 291 ตัวต่อลิตร (ส่วนเบี่ยงเบนมาตรฐาน 45 ตัวต่อลิตร) (ภาพที่ 15) ชนิดที่มีความชุกชุมมากคือ *P. vulgaris* เมื่อวิเคราะห์ความแตกต่างของความชุกชุมของโรติเฟอร์ที่พบระหว่างสามฤดูกาลในทางสถิติ พบร่วมทั้งในปีแรกและปีที่สองไม่มีความแตกต่างกันอย่างมีนัยสำคัญ ($p>0.05$) แต่มีพิจารณาความชุกชุมของโรติเฟอร์ที่พบรในฤดูกาลเดียวกันของทั้งสองปี พบร่วมความชุกชุมของโรติเฟอร์ที่พบรในฤดูฝนและฤดูร้อนมีความแตกต่างกันอย่างมีนัยสำคัญ ($p<0.05$)

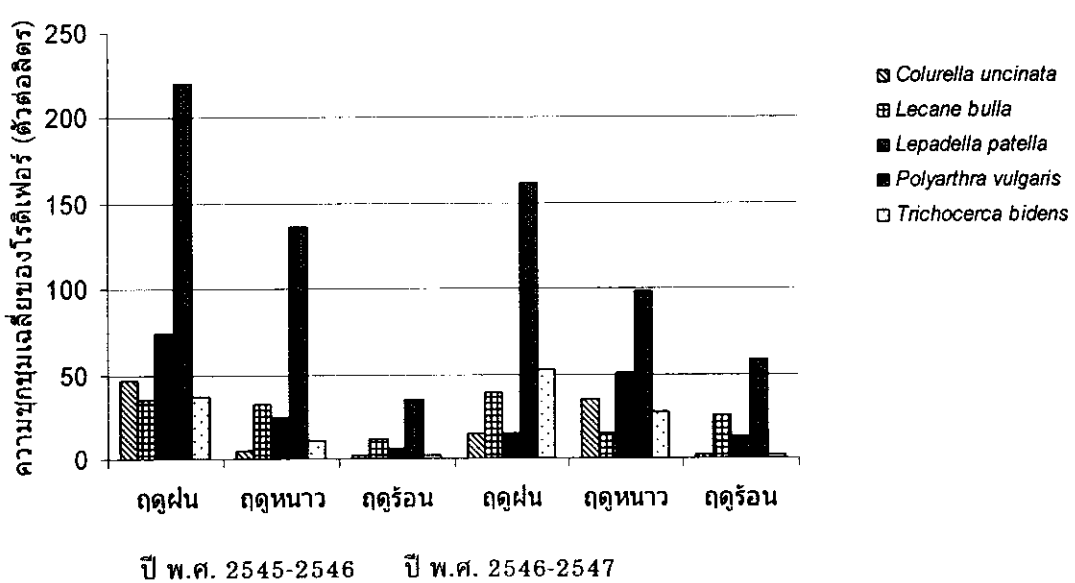
เมื่อพิจารณาจากข้อมูลดังกล่าวข้างต้น พบร่วมความหลากหลายนิดของโรติเฟอร์มีผลต่อความชุกชุม ก่อรากคือฤดูกาลที่มีความหลากหลายนิดมาก ในแต่ละชนิดที่พบรนั้นมีความชุกชุมน้อย ในทำนองเดียวกันฤดูกาลที่พบรความหลากหลายนิดน้อย ในแต่ละชนิดที่พบรจะมีความชุกชุมมาก ซึ่งเห็นได้อย่างชัดเจนในปีแรกของการศึกษา ยกตัวอย่างเช่น ฤดูฝน (สิงหาคม 2545) พบรติเฟอร์มีความหลากหลายนิดน้อยที่สุด 68 สปีชีส์ แต่พบรความชุกชุมเฉลี่ยมากที่สุดเท่ากับ 695 ตัวต่อลิตร (ส่วนเบี่ยงเบนมาตรฐาน 398 ตัวต่อลิตร) และยังมีความสอดคล้องกับชนิดที่พบรด้วย โดยชนิดของโรติเฟอร์ที่พbnนั้นมีความชุกชุมค่อนข้างมาก เช่น *P. vulgaris* และ *Lepadella patella* มีความชุกชุมเฉลี่ยมากถึง 220 และ 74 ตัวต่อลิตร ตามลำดับ (ภาพที่ 16) แต่ในปีที่สอง ของการศึกษาให้ผลที่ตรงข้ามกันกับปีแรก โดยพบรความหลากหลายนิดของโรติเฟอร์มากที่สุดในฤดูฝน (สิงหาคม 2546) 92 สปีชีส์ และยังพบรความชุกชุมเฉลี่ยมากที่สุดในฤดูกาลเดียวกันมีค่าเท่ากับ 502 ตัวต่อลิตร (ส่วนเบี่ยงเบนมาตรฐาน 312 ตัวต่อลิตร) ทั้งนี้อาจเนื่องมาจากการอุณหภูมิของน้ำในปีที่สองมีค่าต่ำกว่าในปีแรกโดยมีค่าอยู่ในช่วง 27.1-27.9 องศาเซลเซียส เฉลี่ย 27.6 องศาเซลเซียส (ส่วนเบี่ยงเบนมาตรฐาน 0.3 องศาเซลเซียส) ซึ่งมีความสัมพันธ์ระหว่างความชุกชุมของโรติเฟอร์กับปัจจัยทางกายภาพและเคมีบางแหล่งน้ำ ดังตารางที่ 11 พบร่วมเมื่ออุณหภูมิของน้ำลดลงจะพบ *Polyarthra vulgaris* มีความชุกชุมเพิ่มขึ้น จึงอาจเป็นสาเหตุหนึ่งที่ทำให้พบรความชุกชุมของโรติเฟอร์เฉลี่ยในฤดูฝนของปีที่สองมากขึ้นทั้งที่ควรจะพบรความชุกชุมน้อยลง

อย่างไรก็ตามความสัมพันธ์ระหว่างความชุกชุมของโรติเฟอร์กับปัจจัยทางกายภาพและเคมีบางประการของแหล่งน้ำยังไม่ชัดเจน โรติเฟอร์ชนิดหนึ่งซึ่งมีความชุกชุมมากคือ *P. vulgaris* เจริญได้ดีในช่วงฤดูฝนของปีแรก อุณหภูมน้ำอยู่ในช่วง 31.8-35.3 องศาเซลเซียส เฉลี่ย 33.68 องศาเซลเซียส (ส่วนเบี่ยงเบนมาตรฐาน 1.53 องศาเซลเซียส) และในฤดูฝนของปีที่สองยังคงพบรติเฟอร์ชนิดดังกล่าวมีความชุกชุมมาก เช่นเดิมทั้งที่อุณหภูมิของน้ำอยู่ในช่วง 27.1-27.9 องศาเซลเซียส เฉลี่ย 27.6 องศาเซลเซียส (ส่วนเบี่ยงเบนมาตรฐาน 0.3 องศาเซลเซียส) ซึ่งอุณหภูมิของน้ำในทั้งสองปีมีค่าแตกต่างกันอย่างมีนัยสำคัญ ($p<0.05$)

จากการศึกษาข้างพบร่วมค่าตัวชนิดของโรติเฟอร์มีค่าต่ำกว่าน้ำอุ่นอยู่ในช่วง 0.81-1.16 เช่นเดียวกันกับบึงนอร์เพ็ด ทั้งนี้เนื่องจากโรติเฟอร์ชนิดใดชนิดหนึ่งที่พbmีจำนวนความชุกชุมสูงมาก จึงส่งผลให้พบร่วมค่าตัวชนิดความหลากหลายนิดค่อนข้างน้อย



ภาพที่ 15 ความชุกชุมเฉลี่ยของโรติเฟอร์ที่พบในบึงโขงหลวง ระหว่างเดือนสิงหาคม 2545 ถึง
เมษายน 2547 (ค่าเฉลี่ย±ส่วนเบี่ยงเบนมาตรฐาน)



ภาพที่ 16 ชนิดของโรติเฟอร์ที่มีความชุกชุมมากในบึงโขงหลวง ระหว่างเดือนสิงหาคม 2545 ถึง
เมษายน 2547

2.1.2.3 ความสัมพันธ์ระหว่างความชุกชุมของโรติเฟอร์ที่พบกับปัจจัยทางกายภาพและเคมีบางประการ

จากการนับข้อมูลความชุกชุมของโรติเฟอร์ที่พบในบึงโขงหลงในทุกฤดูกาลที่ศึกษาไว้เคราะห์ร่วมกับปัจจัยทางกายภาพและเคมีบางประการของแหล่งน้ำดังกล่าวข้างต้น เพื่อวิเคราะห์หาความสัมพันธ์ระหว่างความชุกชุมของโรติเฟอร์กับสภาพแวดล้อมในแหล่งน้ำที่อาศัยอยู่ ได้ผลดังตารางที่ 11

การวิเคราะห์หาความสัมพันธ์ระหว่างความชุกชุมของโรติเฟอร์กับปัจจัยทางกายภาพและเคมีบางประการของแหล่งน้ำ พบว่าความชุกชุมของโรติเฟอร์มีความสัมพันธ์ในเชิงบวกและเชิงลบกับปัจจัยทางกายภาพ และเคมีบางประการของน้ำอย่างมีนัยสำคัญ ($p < 0.05$) ดังตารางที่ 11 ยกตัวอย่างเช่น *Trichocerca stylata* มีความสัมพันธ์เชิงบวกกับค่าพื้นที่เชิงบวกของน้ำโดยอยู่ในระดับค่อนข้างมาก (Spearman coeff. = 0.621, $p < 0.01$) กล่าวคือ เมื่อค่าพื้นที่เชิงบวกของน้ำเพิ่มขึ้นหรือน้ำที่มีสภาวะเป็นต่าง มักพบความชุกชุมของโรติเฟอร์สปีชีส์ดังกล่าวมีแนวโน้มที่จะเพิ่มขึ้น แสดงให้เห็นว่าโรติเฟอร์สปีชีส์ดังกล่าวชอบอาศัยอยู่ในแหล่งน้ำที่มีสภาพเป็นต่างมากกว่า แหล่งน้ำที่สภาพเป็นกรด ในทำนองเดียวกันกับ *B. quadridentatus* มีความสัมพันธ์เชิงบวกกับปริมาณออกซิเจนที่ละลายน้ำโดยอยู่ในระดับค่อนข้างมาก (Spearman coeff. = 0.638, $p < 0.01$) กล่าวคือ เมื่อแหล่งน้ำมีปริมาณออกซิเจนที่ละลายน้ำเพิ่มขึ้น ความชุกชุมของโรติเฟอร์สปีชีส์ดังกล่าวมีแนวโน้มที่จะเพิ่มขึ้นด้วย แสดงให้เห็นว่า โรติเฟอร์สปีชีส์ดังกล่าวมีนักพบอาศัยอยู่ในแหล่งน้ำที่มีสภาพดีหรือน้ำสะอาดนั่นเอง เป็นต้น

ตารางที่ 11 ทิศทางและระดับความสัมพันธ์ระหว่างความชุกชุมของໂຣຕີເພ່ອຮູໃນບົງໂຂງທັງກັບປັຈິຍທາງ
ຄາຍກາພແລະເຄີມບາງປະກາດຂອງແຫ່ງນ້າ

ປັຈິຍ ຄຸນກາພ ນ້າທີ່ ຕຽວຈັດ	ທີ່ສຳຫາງຂອງ ຄວາມສັນພັນຮົດ	ຄ່າສັນປະສິກີສຫລັນພັນຮົດແບບສເປີເຢີຣ໌ແນນ (Spearman Correlation Coefficient Interval (r_s))			
		<0.2	0.2-0.4	0.41-0.6	0.61-0.8
ອຸນຫກູນ	+	<i>Keratella cochlearis*</i> , <i>Lecane lunaris*</i> , <i>T. insuata*</i> , <i>T. orca*</i>	<i>Brachionus falcatus*</i> , <i>Euchlanis dilatata*</i> , <i>L. blachei**</i> , <i>L. closterocerca**</i> , <i>L. thienemannii**</i> , <i>Macrochaetus longipes**</i> , <i>T. brasiliensis**</i> , <i>T. flagellata*</i>	<i>Trichocerca hollaerti**</i>	
		<i>Lepadella patella*</i> , <i>M. collinsi*</i> , <i>T. capucina*</i> , <i>T. similis*</i>	<i>Anuraeopsis coelata**</i> , <i>Ascomorpha saltans**</i> , <i>Cephalodella mucronata**</i> , <i>Colurella adriatica**</i> , <i>K. edmondsoni**</i> , <i>L. crepida**</i> , <i>L. obtusa**</i> , <i>Polyarthra vulgaris**</i> , <i>Sinantherina ariprepes**</i> , <i>Testudinella amphora**</i> , <i>T. tridentate**</i> , <i>Trichocerca abilioi**</i> , <i>T. bidens**</i> , <i>T. cylindrica**</i> , <i>T. stylata**</i>	<i>Colurella uncinata**</i> , <i>Lepadella amphitropis**</i> , <i>Testudinella parva**</i>	
ພື້ອເຊ	+	<i>L. hornemannii*</i> , <i>L. quadridentata*</i> , <i>L. signifera*</i> , <i>L. cristata*</i> , <i>L. patella*</i> , <i>Monommata sp.*</i> , <i>S. longicaudum*</i>	<i>B. quadridentatus**</i> , <i>C. mucronata**</i> , <i>C. uncinata**</i> , <i>L. curvicornis**</i> , <i>L. inopinata**</i> , <i>L. pyriformis*</i> , <i>L. unguitata**</i>	<i>C. adriatica**</i> , <i>L. hamata**</i>	<i>T. stylata**</i>

** ມີຄວາມສັນພັນຮົດທີ່ຈະດັບນັຍສໍາຄັນ 0.01

* ມີຄວາມສັນພັນຮົດທີ່ຈະດັບນັຍສໍາຄັນ 0.05

ตารางที่ 11 ทิศทางและระดับความสัมพันธ์ระหว่างความชุกชุมของໂຣຕີເຟ່ອຣີໃນບຶງໂຈງທັງກັບປັຈຍາກ
ກາຍກາພແລະເຄີນາງປະກາດຂອງແຫ່ງນໍ້າ (ຕ່ອ)

ປັຈຍ ຄຸນກາພ ນໍ້າທີ່ ດວຈວັດ	ທີ່ສິທາງຂອງ ຄວາມສັນພັນຮົດ	ຄ່າສັນປະລິຖືສໍາຜັນຮົດແບບສເປີຍຮ່ານນ (Spearman Correlation Coefficient Interval (r_s))			
		<0.2	0.2–0.4	0.41–0.6	0.61–0.8
ພື້ເອຊ (ຕ່ອ)	+		<i>Lepadella amphitropis**</i> , <i>Macrochaetus collinsi**</i> , <i>M. longipes**</i> , <i>Testudinella amphora**</i> , <i>Trichocerca bicristata**</i> , <i>T. flagellata**</i> , <i>T. hollaerti**</i> , <i>T. orca**</i> , <i>Tripleuchlanis plicata**</i>		
		-	<i>Euchlanis dilatata*</i> , <i>Lecane pertica*</i>	<i>Anuraeopsis fissa**</i> , <i>B. falcatus**</i> , <i>Keratella lenzi**</i> , <i>L. closterocerca*</i> , <i>T. insignis**</i> , <i>T. similis**</i>	
ການນໍາ ໄຟຟ້າ	+	<i>Hexarthra intermedia*</i> , <i>K. edmondsoni*</i> ,	<i>B. dichotomus f. reductus**</i> , <i>B. donneri**</i> , <i>B. falcatus**</i> , <i>H. mira**</i> , <i>K. lenzi**</i> , <i>L. blachei**</i> , <i>L. inopinata**</i> , <i>L. pyriformis**</i> , <i>L. thienemannii*</i> , <i>L. unguitata**</i> , <i>T. brasiliensis**</i>	<i>Brachionus quadridentatus**</i> , <i>P. patulus**</i>	
		-	<i>Ascomorpha saltans*</i> , <i>E. dilatata*</i> , <i>M. collinsi*</i> ,	<i>A. ovalis**</i> , <i>C. uncinata**</i> , <i>L. bulla**</i> , <i>L. lateralis**</i> ,	<i>P. vulgaris**</i> , <i>T. tridentata**</i> , <i>T. bidens**</i>

** ມີຄວາມສັນພັນຮົດທີ່ຈະດັບນໍ້າສໍາຄັນ 0.01

* ມີຄວາມສັນພັນຮົດທີ່ຈະດັບນໍ້າສໍາຄັນ 0.05

ตารางที่ 11 ทิศทางและระดับความสัมพันธ์ระหว่างความชุกชุมของໂຣຕີເຟອຣີໃນບົງໂຂງຫລັກປໍ່ຈັຍທາງ
ກາຍກາພແລະເຄີມບາງປະກາດຂອງແຫ່ງນ້ຳ (ต่อ)

ປໍ່ຈັຍ ຄຸນກາພ ນ້ຳທີ່ ຕຽງວັດ	ທີ່ສ່າງຂອງ ຄວາມສັນພັນຮີ	ຄ່າສັນປະລິທີ່ສ່ານພັນຮີແບບສເປີເຢີ່ແນນ (Spearman Correlation Coefficient Interval (r_s))			
		<0.2	0.2–0.4	0.41–0.6	0.61–0.8
ການນໍາ ໄຟຟ້າ (ຕ່ອ)	-	<i>Trichocerca cylindrica*</i> , <i>T. flagellata*</i>	<i>Lepadella patella**</i> , <i>M. longipes**</i> , <i>S. ariprepes**</i> , <i>Testudinella parva**</i> , <i>Trichocerca abilioi**</i> , <i>T. similis**</i> , <i>T. stylata*</i> , <i>T. tetractis**</i> , <i>T. plicata**</i>		
ປົງມານ ອອກຊີເຈນ ລະລາຍນ້ຳ	+	<i>A. brightwelli*</i> , <i>L. furcata*</i> , <i>L. hamata*</i> , <i>L. hornemannii*</i> , <i>P. patulus*</i> , <i>T. bicristata*</i>	<i>Cephalodella mucronata**</i> , <i>L. crepida**</i> , <i>L. curvicornis**</i> , <i>L. inopinata**</i> , <i>L. lunaris**</i> , <i>L. pyriformis**</i> , <i>L. quadridentata**</i> , <i>Monommata sp.**</i> , <i>T. amphora**</i> , <i>T. insuata**</i> , <i>T. parva**</i> , <i>T. orca**</i> , <i>T. stylata**</i>	<i>Lepadella amphitropis**</i>	<i>Brachionus quadridentatus**</i> , <i>Colurella adriatica**</i>
	-	<i>Keratella lenzi*</i> , <i>Trichocerca capucina*</i> , <i>T. insignis*</i> ,	<i>A. ovalis**</i> , <i>B. falcatus*</i> , <i>E. dilatata**</i> , <i>M. longipes*</i> , <i>P. vulgaris**</i> , <i>T. similis**</i> , <i>T. tetractis**</i>		

** ມີຄວາມສັນພັນຮີທີ່ຮະດັບນັຍສໍາຄັญ 0.01

* ມີຄວາມສັນພັນຮີທີ່ຮະດັບນັຍສໍາຄັญ 0.05

ตารางที่ 11 ทิศทางและระดับความสัมพันธ์ระหว่างความชุกชุมของโรคเฟอร์ในบึงโขงหลังกับปัจจัยทาง
กายภาพและเคมีบางประการของแหล่งน้ำ (ต่อ)

ปัจจัย คุณภาพ น้ำที่ ตรวจวัด	ทิศทางของ ความสัมพันธ์	ค่าสัมประสิทธิ์สหสัมพันธ์แบบสเปียร์แมน (Spearman Correlation Coefficient Interval (r_s))			
		<0.2	0.2-0.4	0.41-0.6	0.61-0.8
ความลึก	+	<i>Hexarthra intermedia*</i> , <i>Trichocerca capucina*</i>	<i>Anuraeopsis coelata**</i> , <i>A. fissa**</i> , <i>Ascomorpha ovalis**</i> , <i>Brachionus donneri**</i> , <i>B. falcatus**</i> , <i>Collotheaca cf. trilobata**</i> , <i>H. mira**</i> , <i>Keratella edmondsoni**</i> , <i>K. lenzi**</i> , <i>T. cylindrica**</i> , <i>T. similis*</i>		
		-	<i>Asplanchna brightwelli*</i> , <i>K. cochlearis*</i> , <i>Lecane blachei*</i> , <i>L. furcata*</i> , <i>L. leontina*</i> , <i>L. signifera*</i> , <i>L. thienemanni*</i> , <i>Lepadella cristata*</i> , <i>L. patella*</i> , <i>S. ariprepes*</i> , <i>Trichocerca braziliensis*</i>	<i>B. quadridentatus**</i> , <i>Lecane closterocerca**</i> , <i>L. hamata**</i> , <i>L. inopinata**</i> , <i>L. quadridentata**</i> , <i>L. unguitata**</i> , <i>Macrochaetus longipes**</i> , <i>Monommata sp.**</i> , <i>Scaridium longicaudum**</i> , <i>Trichocerca bicristata**</i> , <i>T. bidens**</i> , <i>T. flagellata**</i> , <i>T. insignis**</i> , <i>T. orca**</i>	<i>L. bulla**</i> , <i>L. lunaris**</i> , <i>Lepadella ehrenbergi**</i> , <i>Testudinella insuata**</i> , <i>Trichocerca hollaerti**</i>

** มีความสัมพันธ์ที่ระดับนัยสำคัญ 0.01

* มีความสัมพันธ์ที่ระดับนัยสำคัญ 0.05

2.2 คลาโดเซอร์

2.2.1 បៀវបរមារីជី

2.2.1.1 ความหลักนิติของคลาโอดเซอร์วิส

จากการศึกษาความหลากหลายชนิดของคลาโดเชอร่า พบทั้งลิ้น 24 สกุล 32 สปีชีส์ (ตารางที่ 12) คิดเป็นร้อยละ 30.5 ของสปีชีส์ทั้งหมดที่พบในประเทศไทย ซึ่งในจำนวนนี้เป็นชนิดที่พบครั้งแรกในประเทศไทย 1 สปีชีส์คือ *Pseudosida szalayi* Daday วงศ์ Chydoridae พบความหลากหลายมากที่สุด 16 สปีชีส์ รองลงมา ได้แก่ วงศ์ Daphniidae 5 สปีชีส์ สกุลที่มีความหลากหลายในเมืองจำนวนสปีชีสมากที่สุดคือ *Alona* พบ สมาชิก 4 สปีชีส์ (ร้อยละ 12.5 ของสปีชีส์ทั้งหมดจากการศึกษาครั้งนี้) รองลงมา ได้แก่ สกุล *Chydorus* มี สมาชิก 3 สปีชีส์ (ร้อยละ 9.4 ของสปีชีส์ทั้งหมด)

คลาโดเชอร่าที่พบในแต่ละถูกลามีจำนวนอยู่ระหว่าง 15-27 สปีชีส์ ในรอบปีแรกของการศึกษาพบความหลากหลายนิดตั้งนี้ ในถูร้อน ถูฝุ่น และถูหนาวมีจำนวนนิยมที่พบเท่ากับ 26 (มีค่าตัวนี้ความหลากหลายนิดเท่ากับ 0.17), 19 และ 15 สปีชีส์ ตามลำดับ คิดเป็นร้อยละ 81.3, 59.4 และ 46.9 ของคลาโดเชอร่าที่พบทั้งหมด ตามลำดับ ส่วนในปีที่สองของการศึกษา พบความหลากหลายนิดในถูฝุ่น ถูร้อน และถูหนาวเท่ากับ 27 (มีค่าตัวนี้ความหลากหลายนิดเท่ากับ 0.75), 21 และ 18 สปีชีส์ ตามลำดับ คิดเป็นร้อยละ 84.4, 65.6 และ 56.3 ของคลาโดเชอร่าที่พบทั้งหมด ตามลำดับ (ตารางที่ 13 และภาพที่ 17) จะเห็นได้ว่าความหลากหลายนิดของคลาโดเชอร่าที่พบทั้งสามถูในแต่ละรอบปีที่ทำการศึกษามีจำนวนที่ใกล้เคียงกัน แต่มีอัตราการหายใจต่อหน่วยพื้นที่ต่ำกว่าในถูร้อนและถูหนาว แต่สูงกว่าในถูฝุ่น ($p<0.05$) ส่วนในรอบปีที่สองพบว่าความหลากหลายนิดที่พบในถูฝุ่นและถูหนาวมีความแตกต่างกันอย่างมีนัยสำคัญ ($p<0.05$)

เมื่อวิเคราะห์ความหลากหลายนิดของคลาโดเซอร่าที่พบในถูกุกุลเดียวกันเปรียบเทียบกันทั้งสองปี พบร่วมเฉพาะในถูกุกุนเท่านั้นที่ความหลากหลายนิดในปีแรกแตกต่างกันอย่างมีนัยสำคัญกับความหลากหลายนิดในปีที่สอง ($p<0.05$) ทั้งนี้เนื่องจากบึงบอะเพ็ดซึ่งมีลักษณะเป็นบึงเปิด มีทางเข้าออกของล้าน้ำทรายเล่นทาง และเป็นที่รองรับน้ำที่ไหลลงมาจากภูเขาหนือตอนบน ในช่วงถูกุกุนของปีแรกที่ทำการศึกษาเกิดน้ำท่วมนึง ปริมาณน้ำฝน และน้ำจากการล้าน้ำต่างๆ ไหลเข้าออกบึงในปริมาณมาก ปริมาณน้ำดังกล่าววนพัดพาทรายและพืชน้ำออกจากบึงทำให้คลาโดเซอร่าไม่มีแหล่งที่ยึดเกาะอาศัย ทำให้ถูกุกุลเปลี่ยนแปลงลื่นลมพัดพาไปได้ง่าย ไม่มีแหล่งอาหาร และหลบซ่อนหรือกำบังตัวจากศัตรุผู้ล่าได้จึงทำให้พบความหลากหลายนิดของคลาโดเซอร่าในถูกุกุนของปีแรกน้อยกว่าในปีที่สอง (Smirnov, 1974) นอกจากนี้ยังพบว่าคลาโดเซอร่าที่พบได้ทุกถูกุกุลมี 20 สปีชีส์ คิดเป็นร้อยละ 62.5 ของคลาโดเซอร่าที่พบทั้งหมด มีรายชื่อดังตารางที่ 12

ตารางที่ 12 รายชื่อคลาโดเชอราที่พบในบึงบ่อระเพิด จังหวัดนครสวรรค์ และบึงโขงหลวง จังหวัดหนองคาย ใน
ระหว่างเดือนสิงหาคม 2545 ถึงเมษายน 2547

ชื่อวิทยาศาสตร์	บึงบ่อระเพิด	บึงโขงหลวง
FAMILY BOSMINIDAE		
<i>Bosmina meridionalis</i> Sars, 1903	+	+ ^a
<i>Bosminopsis deitersi</i> Richard, 1897	+	+
FAMILY CHYDORIDAE		
<i>Acroperus harpae</i> (Baird, 1834)	-	+ ^c
<i>Alona affinis</i> (Leydig, 1860)	+ ^{a,b}	+
<i>A. cambouei</i> Guerne and Richard, 1893	-	+ ^b
<i>A. cheni</i> Sinev, 1999	-	+ ^c
<i>A. intermedia</i> Sars	-	+ ^a
<i>A. monacantha</i> Sars, 1901	+ ^{a,b}	-
<i>A. rectangula</i> Sars, 1862	+ ^a	-
<i>A. verrucosa</i> Sars, 1901	+	+
<i>Alonella excisa</i> (Fischer, 1854)	-	+
<i>Armatalona macrocopa</i> (Sars, 1894)*	-	+ ^b
<i>Camptocercus uncinatus</i> Smirnov	+ ^{a,c}	+ ^b
<i>Chydorus eurynotus</i> Sars, 1901	+	+
<i>C. obscurirostris tasekberae</i> Frey, 1987	-	+
<i>C. reticulatus</i> Daday, 1893	+	+
<i>C. ventricosus</i> Daday, 1898	+ ^a	-
<i>Disparalona hamata</i> (Birge, 1879)	+	-
<i>Dunhevedia crassa</i> King, 1853	+ ^{a,c}	-
<i>Ephemeroporus barroisi</i> (Richard, 1894)	+	+
<i>Euryalona orientalis</i> (Daday, 1898)	+	-
<i>Graptoleberis testudinaria</i> (Fischer, 1851)	-	+
<i>Karualona karua</i> (King, 1853)	+	+
<i>Kurzia brevilabris</i> Rajapaksa and Fernando, 1986	+ ^{a,c}	-
<i>Leberis diaphanus</i> (King, 1853)	+	+

หมายเหตุ สัญลักษณ์^{a,b,c} หมายถึง คลาโดเชอราที่พบในฤดูฝน, ฤดูหนาว และฤดูร้อน
ตามลำดับ ไม่มีสัญลักษณ์^{a,b,c} หมายถึง คลาโดเชอราที่พบทั้ง 3 ฤดู
+ คือ พบ - คือ ไม่พบ * พบเป็นครั้งแรกในประเทศไทย

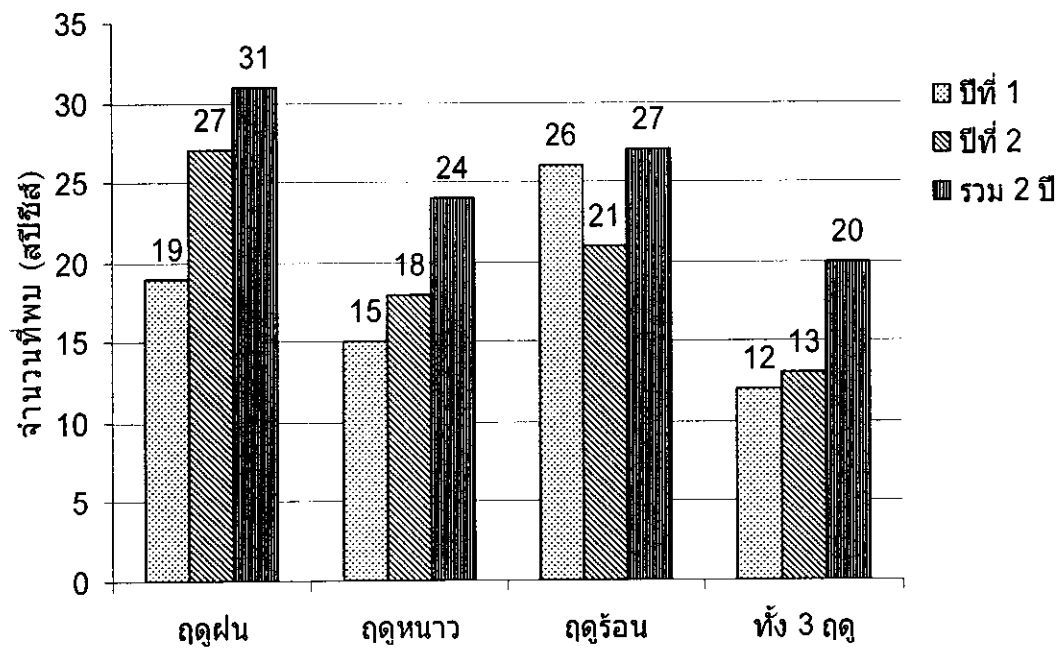
ตารางที่ 12 รายชื่อคลาโดเซอร่าที่พบในบึงบ่อระเพิด จังหวัดนครสวรรค์ และบึงโขงหลวง จังหวัดหนองคาย ใน
ระหว่างเดือนสิงหาคม 2545 ถึงเมษายน 2547 (ต่อ)

ชื่อวิทยาศาสตร์	บึงบ่อระเพิด	บึงโขงหลวง
FAMILY CHYDORIDAE (cont.)		
<i>Leydigia acanthoceroides</i> (Fischer, 1854)	+	-
<i>Oxyurella singalensis</i> (Daday, 1898)	-	+
FAMILY DAPHNIIDAE		
<i>Ceriodaphnia cornuta</i> Sars, 1885	+	-
<i>Daphnia lumholzii</i> Sars, 1885	+	-
<i>Scapholeberis kingi</i> Sars, 1903	+, c	+
<i>Simocephalus heilongjiangensis</i> Shi and Shi, 1994	+, c	-
<i>S. serrulatus</i> (Koch, 1841)	+	+
FAMILY ILYOCRYPTIDAE		
<i>Ilyocryptus spinifer</i> Herrick, 1882	+	+
FAMILY MACROTHRICIDAE		
<i>Macrothrix flabelligera</i> Smirnov, 1992	+	+
<i>M. odiosa</i> Gurney, 1916	-	+
<i>M. phonpunthini</i> Kotov, Maiphae and Sanoamuang, 2005	-	+, c
<i>M. spinosa</i> King, 1853	+, c	+
<i>Streblocerus pygmaeus</i> Sars, 1901	-	+
FAMILY MOINIDAE		
<i>Moina micrura</i> Kurz, 1874	+	+
<i>Moinodaphnia macleayi</i> (King, 1853)	+	+
FAMILY SIDIDAE		
<i>Diaphanosoma excisum</i> Sars, 1885	+	-
<i>D. dubium</i> Manuilova, 1964	+	-
<i>Latonopsis australis</i> Sars, 1888	+	+
<i>Pseudosida szalayi</i> Daday, 1898	+	+, c
รวมชนิดที่พบ	32	31
คิดเป็นร้อยละของจำนวนชนิดที่พบในประเทศไทย	30.48	29.52

หมายเหตุ สัญลักษณ์ +, -, หมายถึง คลาโดเซอร่าที่พบในฤดูฝน, ฤดูหนาว และฤดูร้อน
ตามลำดับ ไม่มีสัญลักษณ์ +, -, หมายถึง คลาโดเซอร่าที่พบทั้ง 3 ฤดู
+ คือ พบ - คือ ไม่พบ

ตารางที่ 13 จำนวนสปีชีส์ของคลาโดเซอร่าที่พบในบึงบอะเพ็ด และบึงโขงหลวง และค่าดัชนีความหลากหลายนิด
ตั้งแต่เดือนสิงหาคม 2545 ถึงเมษายน 2547

ถูกกล	บึงบอะเพ็ด		บึงโขงหลวง	
	จำนวนสปีชีส์ที่พบ	ค่าดัชนีความหลากหลายนิด	จำนวนสปีชีส์ที่พบ	ค่าดัชนีความหลากหลายนิด
ถุดฟัน (ปีที่ 1)	19	0.04	21	0.56
ถุดหน้า (ปีที่ 1)	13	0.22	20	0.46
ถุดร้อน (ปีที่ 1)	26	0.17	21	0.52
ถุดฟัน (ปีที่ 2)	27	0.75	20	0.61
ถุดหน้า (ปีที่ 2)	18	0.45	21	0.47
ถุดร้อน (ปีที่ 2)	21	0.15	23	0.66



ภาพที่ 17 จำนวนชนิดของคลาโดเซอร่าที่พบแต่ละถูกกลในบึงบอะเพ็ดเปรียบเทียบกันระหว่างปีที่ 1 และ 2
ของการศึกษา (ตั้งแต่เดือนสิงหาคม 2545 ถึงเมษายน 2547)

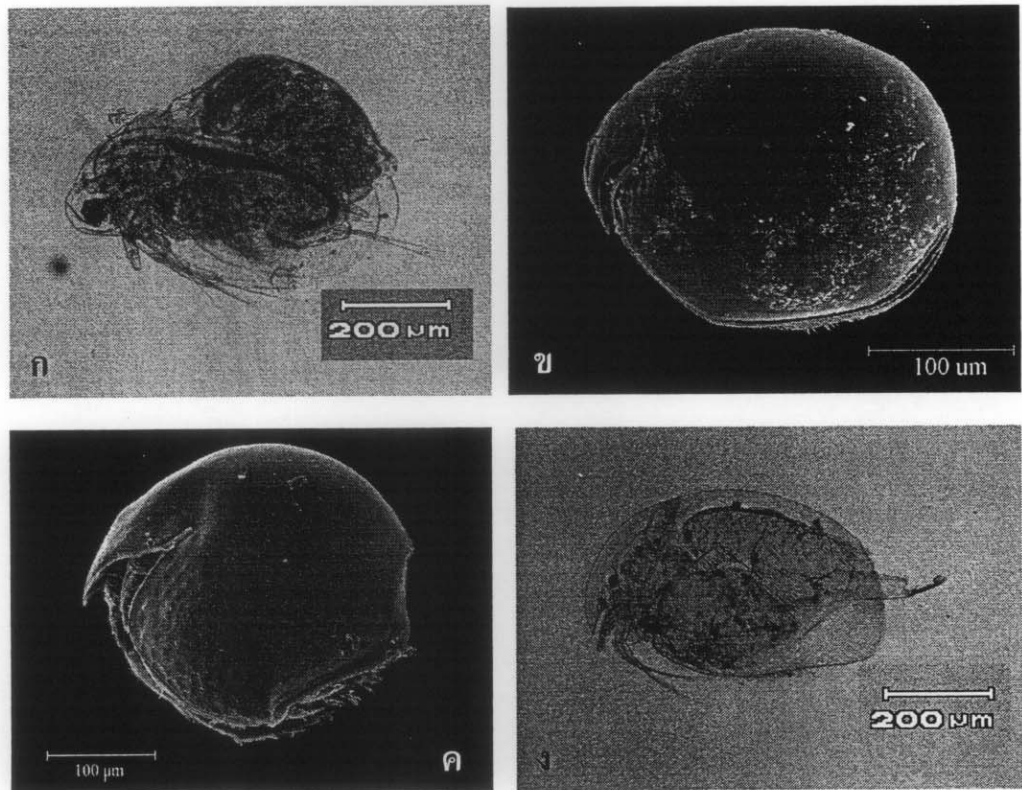
คลาโดเชอราชนิดที่พบสม่ำเสมอและเกือบทุกสถานีที่เก็บตัวอย่าง ได้แก่ *Bosminopsis deitersi* Richard, *Ceriodaphnia cornuta* Sars และ *Moina micrura* Kurz (ภาพที่ 18ก) ชนิดที่พบเฉพาะในปีแรกของ การศึกษามี 3 สปีชีส์คือ *Alona rectangula* Sars, *Leydigia acanthocercoides* (Fischer) และ *Pseudosida szalayi* Daday ส่วนชนิดที่พบเฉพาะปีที่สองของการศึกษามี 1 สปีชีส์คือ *Chydorus ventricosus* Daday

คลาโดเชอราที่พบส่วนใหญ่มีรายงานการพับและอยู่ในบัญชีรายชื่อคลาโดเชอราที่พบในประเทศไทยแล้ว และส่วนใหญ่เป็นชนิดที่พบแพร่กระจายอยู่ทั่วไปในเขตต้อน (ละอocr เสนาะเมือง, 2544; Sanoamuang, 1998b) ชนิดที่พบส่วนใหญ่มีความสอดคล้องกับผลการศึกษาของจุฑามาศ แสงอรุณ และ ละอocr เสนะเมือง (2545) ที่ได้ศึกษาความหลากหลายและความชุกชุมของคลาโดเชอราในบึงกุดทิง จังหวัด หนองคาย พนคลาโดเชอรามีความหลากหลายมากถึง 57 สปีชีส์ แต่จากการศึกษาพบคลาโดเชอราในบึงบอะเพ็ด น้อยกว่าบึงกุดทิงทั้งนี้เนื่องจากสภาพแวดล้อมของบึงบอะเพ็ดถูกรบกวนโดยการกระทำของมนุษย์อย่างมากในการใช้ประโยชน์บริเวณพื้นที่รอบบึง และการทำเกษตรกรรม เป็นต้น (สันหนา ดวงสวัสดิ์, 2546) และจากการเปลี่ยนแปลงทางธรรมชาติของแหล่งน้ำ เกิดสภาพดินเขินจากการสะสมตะกอน การชะล้างผิวดินในฤดูฝน การลดลงของผลผลิตทางการประมง กิจกรรมต่าง ๆ เหล่านี้มีผลให้ระบบนิเวศของบึงบอะเพ็ดเกิดการเปลี่ยนแปลงตามไปด้วยซึ่งรวมถึงการเปลี่ยนแปลงคุณภาพน้ำที่มีผลกระทบโดยตรงต่อการดำรงชีวิตและองค์ประกอบของลิ่งมีชีวิตในบึง โดยเฉพาะอย่างยิ่งในกลุ่มของแพลงก์ตอนสัตว์ที่เป็นแหล่งอาหารธรรมชาติที่สำคัญอย่างหนึ่งในระบบนิเวศทางน้ำ จึงเป็นสาเหตุให้พบจำนวนน้อยของคลาโดเชอราในบึงบอะเพ็ดน้อยกว่าบึงกุดทิง

2.2.1.2 ความชุกชุมของคลาโดเชอรา

จากการศึกษาความชุกชุมของคลาโดเชอราในรอบปีแรก พบว่าค่าเฉลี่ยจำนวนตัวของคลาโดเชอราสูงสุดในฤดูฝนมีค่าเท่ากับ 21 ตัวต่อลิตร (ส่วนเบี่ยงเบนมาตรฐาน 21 ตัวต่อลิตร) และต่ำสุดในฤดูร้อนเท่ากับ 7 ตัวต่อลิตร (ส่วนเบี่ยงเบนมาตรฐาน 6 ตัวต่อลิตร) ชนิดที่มีความชุกชุมมากคือ *Bosminopsis deitersi* Richard และ *Ceriodaphnia cornuta* Sars ส่วนในปีที่ 2 ของการศึกษา พบค่าเฉลี่ยจำนวนตัวของคลาโดเชอราสูงสุดในฤดูฝนเท่ากับ 124 ตัวต่อลิตร (ส่วนเบี่ยงเบนมาตรฐาน 129 ตัวต่อลิตร) และต่ำสุดในฤดูหนาวเท่ากับ 80 ตัวต่อลิตร (ส่วนเบี่ยงเบนมาตรฐาน 85 ตัวต่อลิตร) (ภาพที่ 19) ชนิดที่มีความชุกชุมมากคือ *C. cornuta* และ *Chydorus eurynotus* Sars (ภาพที่ 18ข)

เมื่อวิเคราะห์ความแตกต่างของความชุกชุมของคลาโดเชอราที่พบระหว่างสามฤดูกาลของรอบปี ในทางสถิติ พบว่าเฉพาะปีที่สองเท่านั้นที่มีความแตกต่างกันอย่างมีนัยสำคัญ ($p<0.05$) ซึ่งพบความชุกชุมของคลาโดเชอรามีความแตกต่างกันในฤดูฝนและฤดูร้อนอย่างมีนัยสำคัญ ($p<0.05$) และเมื่อพิจารณาความชุกชุมของคลาโดเชอราที่พบรอบในฤดูกาลเดียวกันของทั้งสองปี พบว่าเฉพาะในฤดูฝนเท่านั้นที่ความชุกชุมของคลาโดเชอราในปีแรกมีความแตกต่างกันอย่างมีนัยสำคัญกับในปีที่สอง ($p<0.05$)

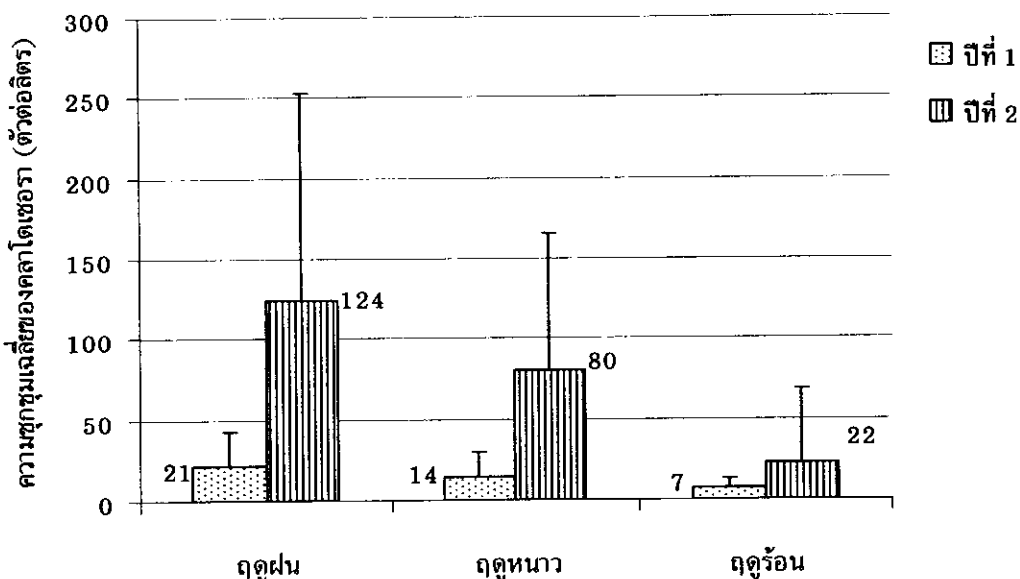


ภาพที่ 18 ภาพถ่ายและภาพจากกล้องจุลทรรศน์อิเล็กตรอนแบบส่องกราดของคลาโดเชอรา

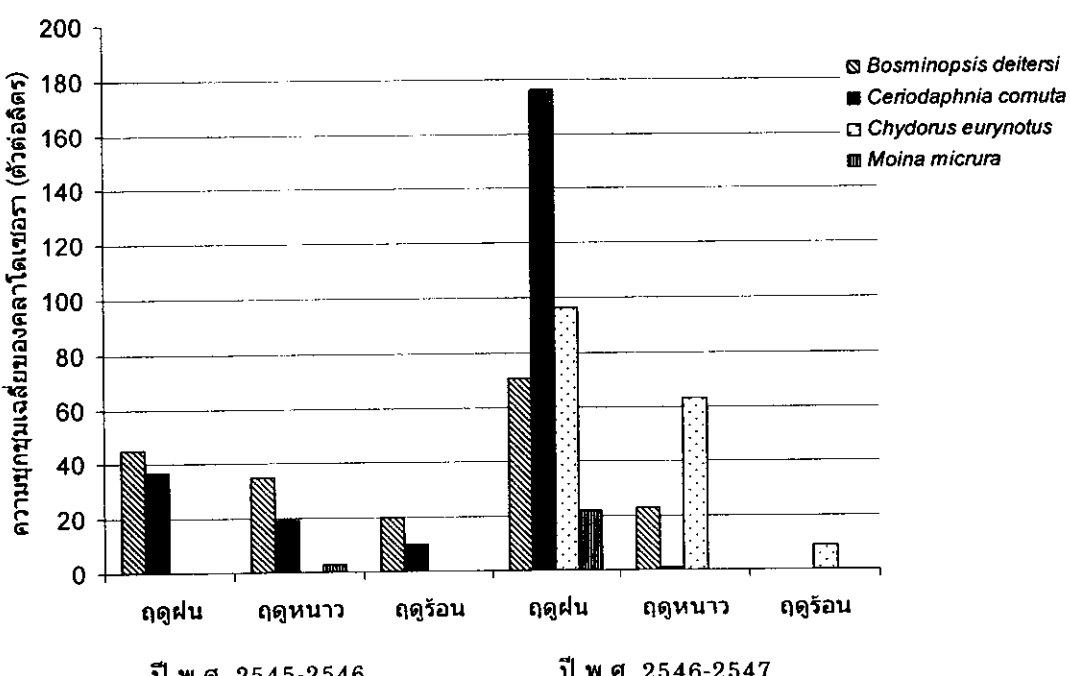
ก: *Moina micrura* Kurz, ข: *Chydorus eurynotus* Sars,

ค: *Ephemeroporus barroisi* (Richard) และ ง: *Acoperus harpae* (Baird)

เมื่อพิจารณาจากข้อมูลดังกล่าวข้างต้น พบว่าความหลากหลายนิดของคลาโดเชอรามีผลต่อความชุกชุมโดยคลาโดเชอราที่พับในทั้งสามฤดูกาลของรอบปีที่ศึกษานี้ ความหลากหลายนิดของคลาโดเชอราจะแปรผันตามความชุกชุม ก่าว่าคือฤดูกาลใดที่มีความหลากหลายนิดมาก ในแต่ละชนิดที่พับนั้นจะมีความชุกชุมมาก ในท่านองเดียวกันฤดูกาลที่พับความหลากหลายนิดน้อย ในแต่ละชนิดที่พับจะมีความชุกชุมน้อย ยกตัวอย่างเช่น ฤดูฝน (สิงหาคม 2546) พับคลาโดเชอรามีความหลากหลายนิดมากที่สุด 27 สปีชีส์ และพับความชุกชุมเฉลี่ยมากที่สุดเท่ากับ 124 ตัวต่อลิตร (ส่วนเบี่ยงเบนมาตรฐาน 129 ตัวต่อลิตร) (ภาพที่ 19) และยังมีความสอดคล้องกับชนิดที่พับด้วย โดยชนิดของคลาโดเชอราที่พับนั้นจะมีความชุกชุมค่อนข้างมาก เช่น *Ceriodaphnia cornuta* และ *Chydorus eurynotus* มีความชุกชุมเฉลี่ยมากถึง 176 และ 96 ตัวต่อลิตร ตามลำดับ (ภาพที่ 20) นอกจากนี้ยังพบว่าดัชนีความหลากหลายนิดของคลาโดเชอรามีค่าค่อนข้างน้อยอยู่ในช่วง 0.04-0.75 ซึ่งค่าดังกล่าวเนี้ยมีความสอดคล้องกับการที่พับคลาโดเชอราชนิดใดชนิดหนึ่งมีความชุกชุมสูงกว่าชนิดอื่น ๆ อย่างชัดเจน จึงทำให้พบค่าดัชนีความหลากหลายนิดมีค่าค่อนข้างน้อย



ภาพที่ 19 ความชุกชุมเฉลี่ยของคลาโดเชอร่าที่พบในบึงบօระเพ็ด ระหว่างเดือนสิงหาคม 2545 ถึงเมษายน 2547 (ค่าเฉลี่ย±ส่วนเบี่ยงเบนมาตรฐาน)



ภาพที่ 20 ชนิดของคลาโดเชอร่าที่มีความชุกชุมมากในบึงบօระเพ็ด ระหว่างเดือนสิงหาคม 2545 ถึงเมษายน 2547

2.2.1.3 ความสัมพันธ์ระหว่างความชุกชุมของคลาโดเซอร่าที่พบกับปัจจัยทางกายภาพและเคมีทางประการ

จากการน้ำข้อมูลความชุกชุมของคลาโดเซอร่าที่พบในบึงบօระเพ็ดในทุกฤดูกาลที่ศึกษามา วิเคราะห์ร่วมกับปัจจัยทางกายภาพและเคมีทางประการของแหล่งน้ำดังกล่าวข้างต้น เพื่อวิเคราะห์หา ความสัมพันธ์ระหว่างความชุกชุมของคลาโดเซอร่ากับสภาพแวดล้อมในแหล่งน้ำที่อาศัยอยู่ ได้ผลดังตารางที่ 14

การวิเคราะห์หาความสัมพันธ์ระหว่างความชุกชุมของคลาโดเซอรากับปัจจัยทางกายภาพและเคมี ทางประการของแหล่งน้ำ พบร่วมกับความชุกชุมของคลาโดเซอราร้มีความสัมพันธ์ในเชิงบวกและเชิงลบกับปัจจัยทาง กายภาพและเคมีทางประการของน้ำอย่างมีนัยสำคัญ ($p<0.05$) ดังตารางที่ 14 ยกตัวอย่างเช่น *Chydorus eurynotus* มีความสัมพันธ์เชิงลบกับค่าการนำไฟฟ้าของน้ำโดยอยู่ในระดับค่อนข้างมาก (Spearman coeff. = -0.611, $p<0.01$) กล่าวคือ เมื่อค่าการนำไฟฟ้าของน้ำเพิ่มขึ้น ความชุกชุมของคลาโดเซอร่าสปีชีส์ดังกล่าวนี้มี แนวโน้มที่จะลดลง และ *Scapholeberis kingi* Sars มีความสัมพันธ์เชิงบวกกับค่าการนำไฟฟ้าของน้ำโดยอยู่ใน ระดับน้อย (Spearman coeff. = 0.195, $p<0.05$) กล่าวคือ เมื่อค่าการนำไฟฟ้าของน้ำเพิ่มขึ้น ความชุกชุมของ คลาโดเซอร่าสปีชีส์ดังกล่าวมีแนวโน้มที่จะเพิ่มขึ้น เป็นต้น

ตารางที่ 14 ทิศทางและระดับความสัมพันธ์ระหว่างความชุกชุมของคลาโดยเชอร่าในบึงบอะเพ็ดกับปัจจัยทาง
กายภาพและเคมีบางประการของแหล่งน้ำ

ปัจจัย คุณภาพ น้ำที่ ตรวจวัด	ทิศทางของ ความสัมพันธ์	ค่าสัมประสิทธิ์สหสัมพันธ์แบบสเปียร์แมน (Spearman Correlation Coefficient Interval (r_s))			
		<0.2	0.2-0.4	0.41-0.6	0.61-0.8
อุณหภูมิ	+	<i>I. spinifer</i> *	<i>B. deitersi</i> **, <i>C. uncinatus</i> **		
	-	<i>C. eurynotus</i> *, <i>C. reticulatus</i> *, <i>L. australis</i> *	<i>A. vertucosa</i> **, <i>E. barroisi</i> **, <i>M. flabelligera</i> **, <i>S. serrulatus</i> *		
พืช	+	<i>D. lumholtzi</i> *, <i>D. excisum</i> *, <i>I. spinifer</i> *	<i>E. barroisi</i> *, <i>M. spinosa</i> **		
	-	<i>C. eurynotus</i> *, <i>C. reticulatus</i> *	<i>C. cornuta</i> *		
ค่าการนำ ไฟฟ้า	+	<i>S. kingi</i> *			
	-		<i>L. diaphanus</i> **, <i>D. lumholtzi</i> **, <i>D. excisum</i> **, <i>K. karua</i> **, <i>L. australis</i> **, <i>S. serrulatus</i> **	<i>A. verrucosa</i> **, <i>C. reticulatus</i> **, <i>E. barroisi</i> **, <i>M. flabelligera</i> **, <i>M. micrura</i> **	<i>C. eurynotus</i> **
ปริมาณ ออกซิเจน ละลายน้ำ	+				
	-	<i>L. diaphanus</i> *, <i>C. reticulatus</i> *, <i>K. karua</i> *	<i>A. vertucosa</i> **, <i>B. deitersi</i> **, <i>C. eurynotus</i> **, <i>E. bassoisi</i> **, <i>E. orientalis</i> **, <i>L. australis</i> **, <i>M. flabelligera</i> **, <i>S. serrulatus</i> **		

** มีความสัมพันธ์ที่ระดับนัยสำคัญ 0.01

* มีความสัมพันธ์ที่ระดับนัยสำคัญ 0.05

ตารางที่ 14 ทิศทางและระดับความสัมพันธ์ระหว่างความชุกชุมของคลาโดเซอร่าในบึงบօระเพ็ดกับปัจจัยทาง
กายภาพและเคมีทางประการของแหล่งน้ำ (ต่อ)

ปัจจัย คุณภาพ น้ำที่ ตรวจวัด	ทิศทางของ ความสัมพันธ์	ค่าสัมประสิทธิ์สหสัมพันธ์แบบสpearman (Spearman Correlation Coefficient Interval (r_s))			
		<0.2	0.2-0.4	0.41-0.6	0.61-0.8
ความเค็ม	+	<i>C. uncinatus*</i>			
	-	<i>D. lumholtzi*</i> , <i>E. barroisi</i> *, <i>K. karua</i> *, <i>S. serrulatus</i> *	<i>L. diaphanus**</i> , <i>B. meridionalis**</i> , <i>B. deitersi**</i> , <i>C. cornuta**</i> , <i>D. excisum**</i> , <i>M. spinosa**</i> , <i>M. micrura**</i>		
ความลึก	+		<i>B. meridionalis**</i> , <i>D. lumholtzi**</i>		
	-	<i>L. diaphanus*</i> , <i>C. eurynotus*</i>	<i>C. reticulatus**</i> , <i>E. orientalis**</i> , <i>K. karua</i> *, <i>L. australis**</i>		

** มีความสัมพันธ์ที่ระดับนัยสำคัญ 0.01

* มีความสัมพันธ์ที่ระดับนัยสำคัญ 0.05

2.2.2 บึงโขงหลวง

2.2.2.1 ความหลากหลายชนิดของคลาโดเซอร่า

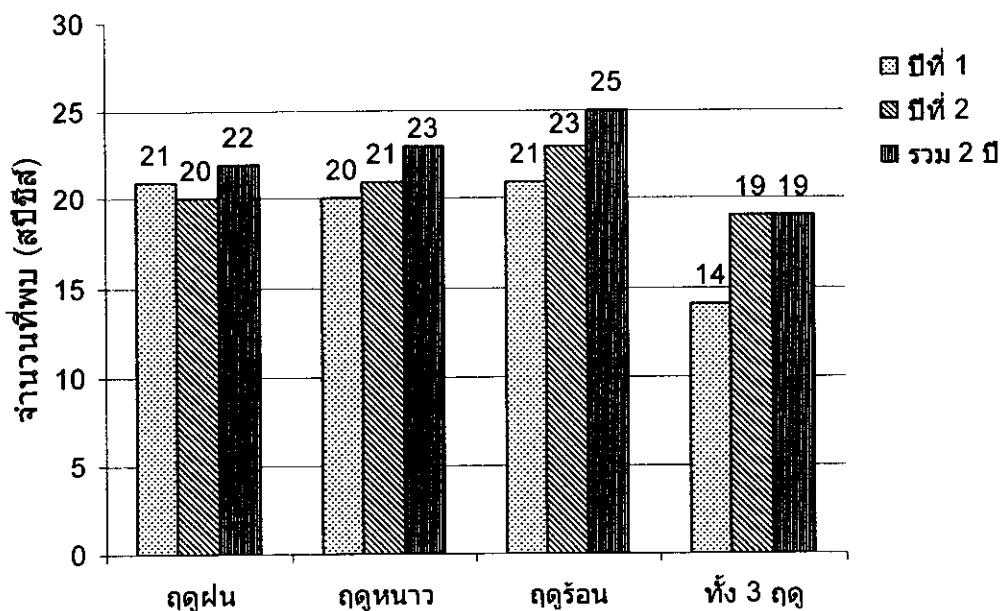
จากการศึกษาความหลากหลายชนิดของคลาโดเซอร่า พบรังสี 22 สกุล 31 สปีชีส์ (ตารางที่ 12) คิดเป็นร้อยละ 29.5 ของสปีชีส์ทั้งหมดที่พบในประเทศไทย ซึ่งในจำนวนนี้เป็นชนิดที่พบครั้งแรกในประเทศไทย 1 สปีชีส์คือ *Armatalona macrocopa* (Sars) วงศ์ Chydoridae พบรความหลากหลายมากที่สุด 17 สปีชีส์ รองลงมา ได้แก่ วงศ์ Macrothricidae 5 สปีชีส์ สกุลที่มีความหลากหลายในแต่จำนวนสปีชีส์มากที่สุดคือ *Alona* พบรسمماชิก 5 สปีชีส์ (ร้อยละ 16.1 ของ สปีชีส์ทั้งหมดจากการศึกษาครั้งนี้) รองลงมา ได้แก่ สกุล *Macrothrix* มีスマชิก 4 สปีชีส์ (ร้อยละ 12.9 ของสปีชีส์ทั้งหมด)

คลาโดเซอร่าที่พบในแต่ละถูกุกามลีจำนวนอยู่ระหว่าง 20-23 สปีชีส์ ในรอบปีแรกของ การศึกษา พบรความหลากหลายชนิดตั้งต่อไปนี้ ในถูกุฟน ถูกุร้อน และถูกุหนาวมีจำนวนชนิดที่พบเท่ากับ 21 (มีค่าตัวชี้วัดนี้ ความหลากหลายชนิดเท่ากับ 0.56), 21 และ 20 สปีชีส์ ตามลำดับ คิดเป็นร้อยละ 67.7, 67.7 และ 64.5 ของ คลาโดเซอร่าที่พบทั้งหมด ตามลำดับ ส่วนในปีที่สองของการศึกษา พบรความหลากหลายในถูกุร้อน ถูกุหนาว และ ถูกุฟนเท่ากับ 23 (มีค่าตัวชี้วัดนี้ ความหลากหลายชนิดเท่ากับ 0.66), 21 และ 20 สปีชีส์ ตามลำดับ คิดเป็นร้อยละ 74.2, 67.7 และ 64.5 ของคลาโดเซอร่าที่พบทั้งหมด ตามลำดับ (ตารางที่ 13 และภาพที่ 21) จะเห็นได้ว่าความ หลากหลายชนิดของคลาโดเซอร่าที่พบทั้งสามถูกุในแต่ละรอบปีที่ทำการศึกษามีจำนวนที่ใกล้เคียงกัน เมื่อนำมา วิเคราะห์ทางสถิติ พบร่วมความหลากหลายชนิดที่พบในสามถูกุของรอบปีแรกและปีที่สองไม่แตกต่างกันอย่างมีนัยสำคัญ ($p>0.05$) และเมื่อวิเคราะห์ความหลากหลายชนิดของคลาโดเซอร่าที่พบในถูกุกลเดียวกับเปรียบกันทั้งสองปี

พบว่าไม่มีความแตกต่างกันอย่างมีนัยสำคัญ ($p>0.05$) ทั้งนี้เนื่องจากบึงโขงหลวงมีทางเข้าออกของล้าน้ำอย่างไม่ชัดเจน จึงทำให้สภาพแวดล้อมมีการเปลี่ยนแปลงน้อยมาก มีปริมาณสาหร่ายและพืชน้ำที่คล้ายคลึงกันตลอดปีที่ทำการศึกษา ทำให้คลาโดเชอรานีแหล่งที่น้ำดีเกะอาดี มีแหล่งอาหาร และแหล่งซ่อนหรือกำบังตัวจากศัตรูผู้ล่าได้ (Smirnov, 1974) จึงทำให้พบความหลากหลายนิดของคลาโดเชอรานในแต่ละฤดูกาลมีจำนวนนิดที่ใกล้เคียงกัน นอกจากนี้ยังพบว่าคลาโดเชอรานที่พบได้ทุกฤดูกาลมี 19 สปีชีส์ คิดเป็นร้อยละ 61.3 ของคลาโดเชอรานที่พบ ทั้งหมด มีรายชื่อดังตารางที่ 12

คลาโดเชอรานนิดที่พบสม่ำเสมอและเกือบทุกสถานที่เก็บตัวอย่าง ได้แก่ *Alona verrucosa* Sars, *Chydorus eurynotus*, *Ephemeroporus barroisi* (Richard) (ภาพที่ 18ค), *Macrothrix flabelligera* Smirnov และ *Latonopsis australis* Sars ชนิดที่พบเฉพาะในปีแรกของการศึกษานี้ 5 สปีชีส์คือ *Acoperus harpae* (Baird) (ภาพที่ 18ง), *Alona cambouei* Guerne and Richard, *A. intermedia* Sars, *Scapholeberis kingi* และ *Moina micrura*

คลาโดเชอรานที่พบส่วนใหญ่เคยมีรายงานการพบและอยู่ในบัญชีรายชื่อคลาโดเชอรานที่พบในประเทศไทยแล้ว และส่วนใหญ่เป็นชนิดที่พบแพร่กระจายอยู่ทั่วไปในเขตต้อน (ละออครี เสนะเมือง, 2544; Sanoamuang, 1998b) ชนิดที่พบส่วนใหญ่มีความสอดคล้องกับผลการศึกษาของจุฑามาศ แสงอรุณ และ ละออครี เสนะเมือง (2545) ที่ได้ศึกษาความหลากหลายและความชุกชุมของคลาโดเชอรานในบึงกุดทิง จังหวัด หนองคาย ซึ่งเป็นแหล่งน้ำขนาดใหญ่และเป็นแหล่งน้ำ เปิด มีล้าน้ำหลายสายไหลลงสู่บึง ทำให้แหล่งน้ำมี สารอาหารที่อุดมสมบูรณ์จึงพบคลาโดเชอรานมีความหลากหลายนิดมากถึง 57 สปีชีส์ ในขณะที่บึงโขงหลวงมี ทางเข้าออกของล้าน้ำที่ไม่ชัดเจน ความอุดมสมบูรณ์ของธาตุอาหารจึงอาจมีน้อยกว่าบึงกุดทิง และในปัจจุบัน สภาพแวดล้อมของบึงโขงหลวงเริ่มมีการบุกรุกจากการกระทำของมนุษย์ในการใช้ประโยชน์พื้นที่บริเวณรอบบึง และการท่องเที่ยว เป็นต้น กิจกรรมต่าง ๆ เหล่านี้มีผลให้ระบบนิเวศของบึงโขงหลวงเกิดการเปลี่ยนแปลง ไปสั่งอาจรวมถึงการเปลี่ยนแปลงคุณภาพน้ำที่มีผลกระทบโดยตรงต่อการดำรงชีวิตและองค์ประกอบของ สิ่งมีชีวิตในบึง โดยเฉพาะอย่างยิ่งในกลุ่มของแพลงก์ตอนสัตว์ที่เป็นแหล่งอาหารธรรมชาติที่สำคัญอย่างหนึ่งใน ระบบนิเวศทางน้ำ จึงเป็นสาเหตุให้พบจำนวนนิดของคลาโดเชอรานในบึงโขงหลวงน้อยกว่าบึงกุดทิง



ภาพที่ 21 จำนวนนิสิตของคลาโดยเดชอราทีพบแต่ละฤทธิ์ภายในบึงโขงหลงเปรียบระหว่างปีที่ 1 และ 2 ของ การศึกษา (ตั้งแต่เดือนสิงหาคม 2545 ถึงเมษายน 2547)

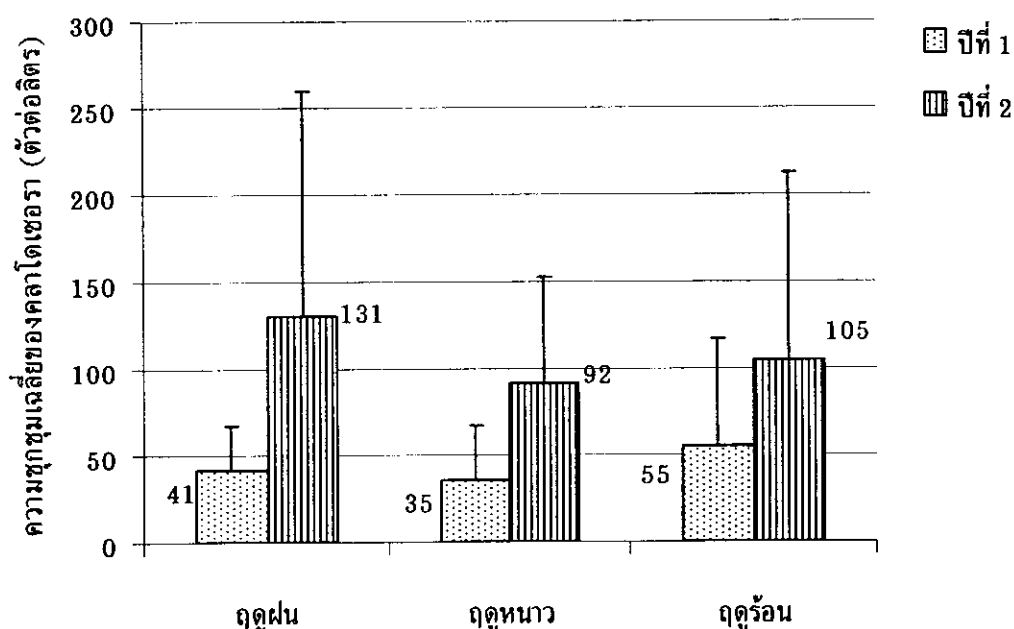
2.2.2.2 ความชุกชุมของคลาโดยเดชอรา

จากการศึกษาความชุกชุมของคลาโดยเดชอราในรอบปีแรก พบร่วมค่าเฉลี่ยจำนวนตัวของ คลาโดยเดชอราสูงสุดในฤทธิ์ที่ 3 ตัวต่อลิตร (ส่วนเบี่ยงเบนมาตรฐาน 62 ตัวต่อลิตร) และต่ำสุดใน ฤทธิ์ที่ 1 ตัวต่อลิตร (ส่วนเบี่ยงเบนมาตรฐาน 32 ตัวต่อลิตร) ชนิดที่มีความชุกชุมมากคือ *Ephemeroporus barroisi* และ *Macrothrix flabelligera* ส่วนในปีที่ 2 ของการศึกษา พบร่วมค่าเฉลี่ยจำนวนตัวของ คลาโดยเดชอราสูงสุดในฤทธิ์ที่ 3 ตัวต่อลิตร (ส่วนเบี่ยงเบนมาตรฐาน 107 ตัวต่อลิตร) และต่ำสุดใน ฤทธิ์ที่ 1 ตัวต่อลิตร (ส่วนเบี่ยงเบนมาตรฐาน 60 ตัวต่อลิตร) ชนิดที่มีความชุกชุมมากคือ *E. barroisi* และ *Alona vertucosa*

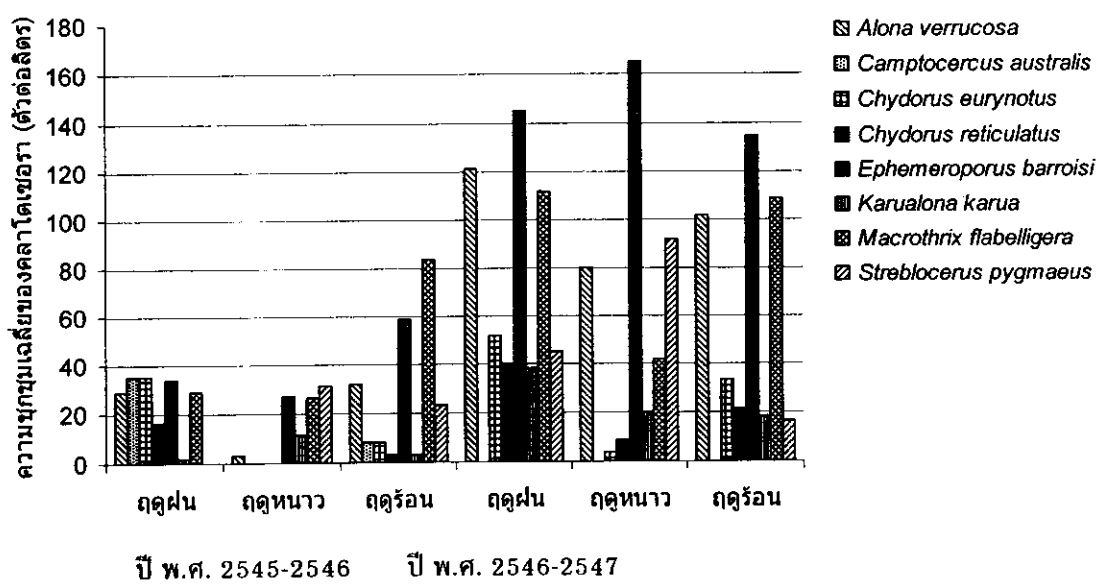
เมื่อวิเคราะห์ความแตกต่างของความชุกชุมของคลาโดยเดชอราทีพบระหว่างสามฤทธิ์ของรอบปี ในทางสถิติ พบร่วมค่าเฉลี่ยจำนวนตัวของคลาโดยเดชอราทีพบในทั้งสามฤทธิ์ไม่มีความแตกต่างกันอย่างมีนัยสำคัญ ($p>0.05$) และ เมื่อพิจารณาความชุกชุมของคลาโดยเดชอราทีพบในฤทธิ์ที่ 3 ตัวต่อลิตร เดียวกันของทั้งสองปี ก็พบเช่นเดียวกันว่าไม่มีความ แตกต่างกันอย่างมีนัยสำคัญ ($p>0.05$)

เมื่อพิจารณาจากข้อมูลดังกล่าวข้างต้น พบร่วมค่าความหลากหลายนิสิตของคลาโดยเดชอรามีผลต่อความชุก ชุม โดยคลาโดยเดชอราทีพบในทั้งสามฤทธิ์ของรอบปีที่ศึกษานี้ ความหลากหลายนิสิตของคลาโดยเดชอราจะแปรผัน ตามความชุกชุม กล่าวคือฤทธิ์ใดที่มีความหลากหลายนิสิตมาก ในแต่ละชนิดที่พbn นั้นจะมีความชุกชุมมาก ใน ทำนองเดียวกันฤทธิ์ที่ 3 ตัวต่อลิตร (ส่วนเบี่ยงเบนมาตรฐาน 107 ตัวต่อลิตร) (ภาพที่ 22) และยังมีความสอดคล้อง กับชนิดที่พบด้วย โดยชนิดของคลาโดยเดชอราทีพบนั้นจะมีความชุกชุมค่อนข้างมาก เช่น *Ephemeroporus barroisi* และ *Macrothrix flabelligera* มีความชุกชุมเฉลี่ยมากถึง 135 และ 109 ตัวต่อลิตร ตามลำดับ (ภาพที่

23) นอกจากนี้ยังพบว่าตัวชี้ความหลากหลายของคลาโดยเชอร์รารีค่าค่อนข้างน้อยอยู่ในช่วง 0.90-1.19 ซึ่งค่าดังกล่าวมีความสอดคล้องกับการที่พบคลาโดยเชอร์รานิดไดชนิดหนึ่งมีความชุกชุมสูงมาก จึงส่งผลให้พบค่าตัวชี้ความหลากหลายมีค่าค่อนข้างน้อยเข่นเดียวกันกับตัวชี้ความหลากหลายของคลาโดยเชอร์รารายในบึงบ่อระเพ็ด



ภาพที่ 22 ความชุกชุมเฉลี่ยของคลาโดยเชอร์รารีที่พบในบึงโขงหลง ระหว่างเดือนสิงหาคม 2545 ถึงเมษายน 2547 (ค่าเฉลี่ย±ส่วนเบี่ยงเบนมาตรฐาน)



ภาพที่ 23 ชนิดของคลาโดยเชอร์รารีที่มีความชุกชุมมากในบึงโขงหลง ระหว่างเดือนสิงหาคม 2545 ถึงเมษายน 2547

2.2.2.3 ความสัมพันธ์ระหว่างความชุกชุมของคลาโดเซอร่าที่พบกับปัจจัยทางกายภาพและเคมีทางประการ

จากการน้ำข้อมูลความชุกชุมของคลาโดเซอร่าที่พบในบึงโขงหลงในทุกดูကາลที่ศึกษามา วิเคราะห์ร่วมกับปัจจัยทางกายภาพและเคมีทางประการของแหล่งน้ำดังกล่าวข้างต้น เพื่อวิเคราะห์หา ความสัมพันธ์ระหว่างความชุกชุมของคลาโดเซอรากับสภาพแวดล้อมในแหล่งน้ำที่อาศัยอยู่ ได้ผลดังตารางที่ 15

การวิเคราะห์หาความสัมพันธ์ระหว่างความชุกชุมของคลาโดเซอรากับปัจจัยทางกายภาพและเคมี ทางประการของแหล่งน้ำ พบว่าความชุกชุมของคลาโดเซอร่ามีความสัมพันธ์ในเชิงบวกและเชิงลบกับปัจจัยทาง กายภาพและเคมีทางประการของน้ำอย่างมีนัยสำคัญ ($p<0.05$) ดังตารางที่ 15 ยกตัวอย่างเช่น *Macrothrix spinosa* มีความสัมพันธ์เชิงบวกกับปริมาณออกซิเจนละลายน้ำโดยอยู่ในระดับปานกลาง (Spearman coeff. = 0.552, $p<0.01$) กล่าวคือ เมื่อแหล่งน้ำมีปริมาณออกซิเจนละลายน้ำเพิ่มขึ้น จะพบความชุกชุมของ คลาโดเซอร่าสปีชีส์ดังกล่าวมีแนวโน้มที่จะเพิ่มขึ้น และถ้าให้เห็นว่าคลาโดเซอร่าสปีชีส์ดังกล่าวนี้ชอบอาศัยอยู่ใน แหล่งน้ำที่มีปริมาณออกซิเจนละลายน้ำมาก ดังนั้นสามารถใช้ *M. spinosa* เป็นตัวชี้วัดดัชนีคุณภาพน้ำของบึง โขงหลงได้ เป็นต้น

ตารางที่ 15 ทิศทางและระดับความสัมพันธ์ระหว่างความชุกชุมของปลาโดยเชื้อราในบึงโขงหลงกับปัจจัยทางกายภาพและเคมีทางประการของแหล่งน้ำ

ปัจจัย คุณภาพ น้ำที่ ตรวจวัด	ทิศทางของ ความสัมพันธ์	ค่าสัมประสิทธิ์สหสัมพันธ์แบบสเปียร์แมน (Spearman Correlation Coefficient Interval (r_s))			
		<0.2	0.2-0.4	0.41-0.6	0.61-0.8
อุณหภูมิ	+	<i>Leberis diaphanus*</i>	<i>Alona cheni*</i> , <i>Chydorus eurynotus**</i> , <i>Moina micrura**</i>		
	-		<i>Alonella excisa*</i> , <i>Strebocercus pygmaeus**</i> , <i>Karualona karua**</i>		
พืช	+	<i>C. eurynotus*</i> , <i>C. obscurirostris tasekberae*</i>	<i>Alona verrucosa**</i> , <i>A. excisa*</i> , <i>C. reticulatus**</i> , <i>K. karua*</i> , <i>L. australis**</i> , <i>M. flabelligera**</i>	<i>S. pygmaeus**</i> , <i>Macrothrix spinosa**</i>	
	-	<i>A. cheni*</i> , <i>M. micrura*</i>	<i>L. diaphanus*</i>		
ค่าการนำ ไฟฟ้า	+	<i>L. diaphanus*</i> , <i>C. obscurirostris tasekberae*</i>	<i>A. cheni*</i> , <i>M. spinosa**</i>		
	-				
ปริมาณ ออกซิเจน ละลายน้ำ	+	<i>L. diaphanus*</i>	<i>A. verrucosa**</i> , <i>A. excisa*</i> , <i>C. eurynotus*</i> , <i>S. pygmaeus**</i> , <i>K. karua**</i> , <i>L. australis**</i> , <i>M. flabelligera**</i>	<i>M. spinosa**</i>	
	-	<i>I. spinifer*</i>			

** มีความสัมพันธ์ที่ระดับนัยสำคัญ 0.01

* มีความสัมพันธ์ที่ระดับนัยสำคัญ 0.05

ตารางที่ 15 ทิศทางและระดับความสัมพันธ์ระหว่างความชุกชุมของคลาโดเซอร่าในบึงโขงหลงกับปัจจัยทาง
กายภาพและเคมีบางประการของแหล่งน้ำ (ต่อ)

ปัจจัย คุณภาพ น้ำที่ ตรวจวัด	ทิศทางของ ความสัมพันธ์	ค่าสัมประสิทธิ์สหสัมพันธ์แบบสเปียร์แมน (Spearman Correlation Coefficient Interval (r_s))			
		<0.2	0.2-0.4	0.41-0.6	0.61-0.8
ความลึก	+				
	-	<i>A. affinis*</i> , <i>C. eurynotus*</i> , <i>Graptoleberis</i> <i>testudinaria*</i> , <i>Moinodaphnia</i> <i>macleayi*</i>	<i>L. diaphanus**</i> , <i>A. verrucosa**</i> , <i>C. reticulatus*</i> , <i>S. pygmaeus**</i> , <i>K. karua**</i> , <i>L. australis**</i> , <i>M. flabelligera**</i> , <i>M. micrura**</i>		

** มีความสัมพันธ์ที่ระดับนัยสำคัญ 0.01

* มีความสัมพันธ์ที่ระดับนัยสำคัญ 0.05

2.3 โคพิพอดกลุ่มคลาลอนอยด์

2.3.1 บึงบ่อระเพ็ด

2.3.1.1 ความหลากหลายนิิดของโคพิพอดกลุ่มคลาลอนอยด์

พบความหลากหลายนิิดของโคพิพอดกลุ่มคลาลอนอยด์ทั้งล้วน 4 สกุล 4 สปีชีส์ ได้แก่ *Heliodiaptomus viduus* (Gurney), *Mongolodiaptomus botulifer* (Kiefer), *Phyllodiaptomus praedictus* Dumont and Reddy และ *Tropodiaptomus lanaonus* Kiefer (ตารางที่ 16) เมื่อเปรียบเทียบกับการศึกษาของละอองศรี เสนะเมือง (2545) ที่รายงานไว้ว่าพบความหลากหลายนิิดของโคพิพอดกลุ่มคลาลอนอยด์ในแหล่งน้ำถาวรของประเทศไทย จำนวน 23 สปีชีส์ จากการศึกษาในครั้งนี้ ความหลากหลายนิิดที่พบคิดเป็นร้อยละ 15.4 ของสปีชีส์ทั้งหมดที่พบในแหล่งน้ำถาวรของประเทศไทย

โคพิพอดกลุ่มคลาลอนอยด์ที่พบในแต่ละถูกรามมีจำนวนอยู่ระหว่าง 1-3 สปีชีส์ ในรอบปีแรกของ การศึกษา พบรความหลากหลายนิิดในถูกรามและถูกร้อน มีจำนวน 2 สปีชีส์คือ *H. viduus* และ *M. botulifer* ส่วนในถูกร้อนพบรเพียงสปีชีส์เดียวคือ *M. botulifer* ส่าหรับในปีที่สองของการศึกษา พบรความหลากหลายนิิดสูงสุดในถูกร้อน เท่ากับ 3 สปีชีส์คือ *M. botulifer*, *P. praedictus* และ *T. lanaonus* ส่วนในถูกรามและถูกร้อนพบรเพียงสปีชีส์เดียวคือ *M. botulifer* (ตารางที่ 15 และภาพที่ 24) จะเห็นได้ว่าความหลากหลายนิิดของโคพิพอดกลุ่มคลาลอนอยด์ ที่พบในสามถูกราม แต่ละรอบปีที่ทำการศึกษามีจำนวนที่ใกล้เคียงกัน เมื่อนำมาวิเคราะห์ทางสถิติ พบร่วมกัน ว่าความหลากหลายนิิดที่พบในสามถูกรามรอบปีแรกและปีที่สองไม่แตกต่างกันอย่างมีนัยสำคัญ ($p>0.05$) แต่มีอน้ำข้อมูลมาวิเคราะห์ความหลากหลายนิิดของโคพิพอดกลุ่มคลาลอนอยด์ที่พบในถูกร้อนเดียวกันของทั้งสองปี พบร่วมกัน ว่าความหลากหลายนิิดที่พบในปีแรกแตกต่างกันอย่างมีนัยสำคัญกับความหลากหลายนิิดในปีที่สอง ($p<0.05$)

โคพีพอดกลุ่มคลานอยด์ที่พบส่วนใหญ่ในบัญชีรายชื่อที่พนในประเทศไทยแล้ว และส่วนใหญ่เป็นชนิดที่พบแพร่กระจายอยู่ทั่วไปในเขตต้อน (ละอองศรี, 2544) ในการศึกษาครั้งนี้เป็นการยืนยันได้ว่า ลักษณะของภูมิอากาศและภูมิประเทศมีผลต่อการจำกัดพื้นที่ในการแพร่กระจายของแพลงก์ตอนสัตว์กลุ่มดังกล่าวได้ โดยจากการศึกษาพบ *Heliodiaptomus viduus* (Gurney) ในบึงบอะเพ็ด ซึ่งเป็นชนิดที่เคยมีรายงานพบเฉพาะในภาคเหนือของประเทศไทย

2.3.1.2 ความชุกชุมของโคพีพอดกลุ่มคลานอยด์

จากการศึกษาความชุกชุมของโคพีพอดกลุ่มคลานอยด์ในรอบบีแรก พบร้าค่าเฉลี่ยจำนวนตัวของโคพีพอดกลุ่มคลานอยด์ซึ่งพบเฉพาะในถุดหน้าถุดกากเดียวเท่านั้น มีค่าเท่ากับ 8 ตัวต่อลิตร (ส่วนเบี่ยงเบนมาตรฐาน 9 ตัวต่อลิตร) ส่วนในปีที่ 2 ของการศึกษา พบร้าค่าเฉลี่ยจำนวนตัวของโคพีพอดกลุ่มคลานอยด์ในถุดฟันเท่ากับ 2 ตัวต่อลิตร (ส่วนเบี่ยงเบนมาตรฐาน 2 ตัวต่อลิตร) และในถุดหน้าเท่ากับ 1 ตัวต่อลิตร (ส่วนเบี่ยงเบนมาตรฐาน 1 ตัวต่อลิตร) (ภาพที่ 25)

เมื่อวิเคราะห์ความแตกต่างของความชุกชุมของโคพีพอดกลุ่มคลานอยด์ที่พบระหว่างสามถุดกากในทางสถิติ พบร้าเฉพาะในสามถุดกากของรอบบีแรกเท่านั้นที่ความชุกชุมของ โคพีพอดมีความแตกต่างกันอย่างมีนัยสำคัญ ($p<0.05$) แต่เมื่อพิจารณาความชุกชุมของโคพีพอด กลุ่มคลานอยด์ที่พบรในถุดกากเดียวเท่านั้นที่ความชุกชุมของโคพีพอดกลุ่มคลานอยด์มีความแตกต่างกันอย่างมีนัยสำคัญ ($p<0.05$)

2.3.1.3 ความสัมพันธ์ระหว่างความชุกชุมของโคพีพอดกลุ่มคลานอยด์ที่พนกับปัจจัยทางกายภาพและเคมีบางประการ

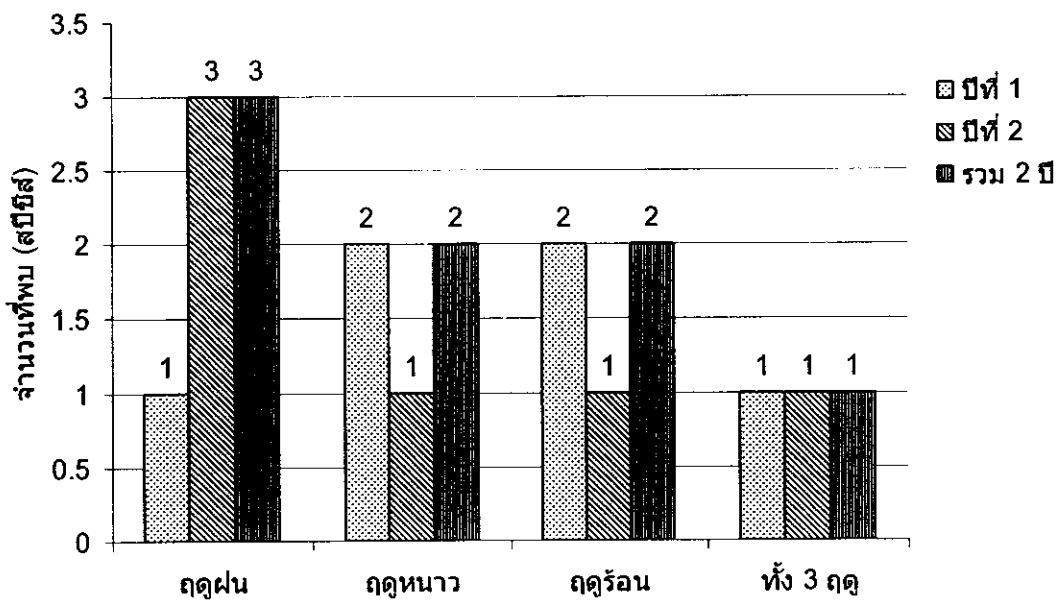
จากการนำข้อมูลความชุกชุมของโคพีพอดกลุ่มคลานอยด์ที่พนในบึงบอะเพ็ดในทุกถุดกากที่ศึกษามาวิเคราะห์ร่วมกับปัจจัยทางกายภาพและเคมีบางประการของแหล่งน้ำตั้งกล่าวข้างต้น เพื่อวิเคราะห์หาความสัมพันธ์ระหว่างความชุกชุมของโคพีพอดกลุ่มคลานอยด์กับสภาพแวดล้อมในแหล่งน้ำที่อาศัยอยู่ ได้ผลดังตารางที่ 17

การวิเคราะห์หาความสัมพันธ์ระหว่างความชุกชุมของโคพีพอดกลุ่มคลานอยด์กับปัจจัยทางกายภาพและเคมีบางประการของแหล่งน้ำ พบร้าความชุกชุมของโคพีพอดกลุ่มคลานอยด์มีความสัมพันธ์ในเชิงบวกและเชิงลบกับปัจจัยทางกายภาพและเคมีบางประการของน้ำอย่างมีนัยสำคัญ ($p<0.05$) ดังตารางที่ 17 ยกตัวอย่างเช่น *Mongolodiaptomus botulifer* มีความสัมพันธ์เชิงลบกับค่าพีเอชของน้ำโดยมีความสัมพันธ์อยู่ในระดับค่อนข้างน้อย (Spearman coeff. = -0.348, $p<0.01$) กล่าวคือ เมื่อค่าพีเอชของน้ำเพิ่มขึ้นหรือเมื่อน้ำอยู่ในสภาพะเป็นด่าง ความชุกชุมของโคพีพอดสปีชีส์ดังกล่าวมีแนวโน้มที่จะลดลง แสดงให้เห็นว่าโคพีพอดสปีชีส์นี้ชอบอาศัยอยู่ในแหล่งน้ำที่มีสภาพเป็นกรดมากกว่า นอกจากนี้สปีชีส์ดังกล่าวยังมีความสัมพันธ์เชิงลบกับอุณหภูมิ ค่าการน้ำไฟฟ้า และความเค็มของน้ำโดยมีความสัมพันธ์อยู่ในระดับค่อนข้างน้อยเช่นเดียวกัน แต่มีความสัมพันธ์เชิงบวกกับความลึกโดยอยู่ในระดับค่อนข้างน้อย (Spearman coeff. = 0.279, $p<0.05$) กล่าวคือ เมื่อระดับความลึกของน้ำเพิ่มขึ้น จะพบความชุกชุมของโคพีพอดกลุ่มคลานอยด์สปีชีส์ดังกล่าวมีแนวโน้มที่จะเพิ่มขึ้นด้วย ดังนั้นจึงอาจจะไม่ค่อยพบ *M. botulifer* อาศัยอยู่บริเวณผิวน้ำ เป็นต้น

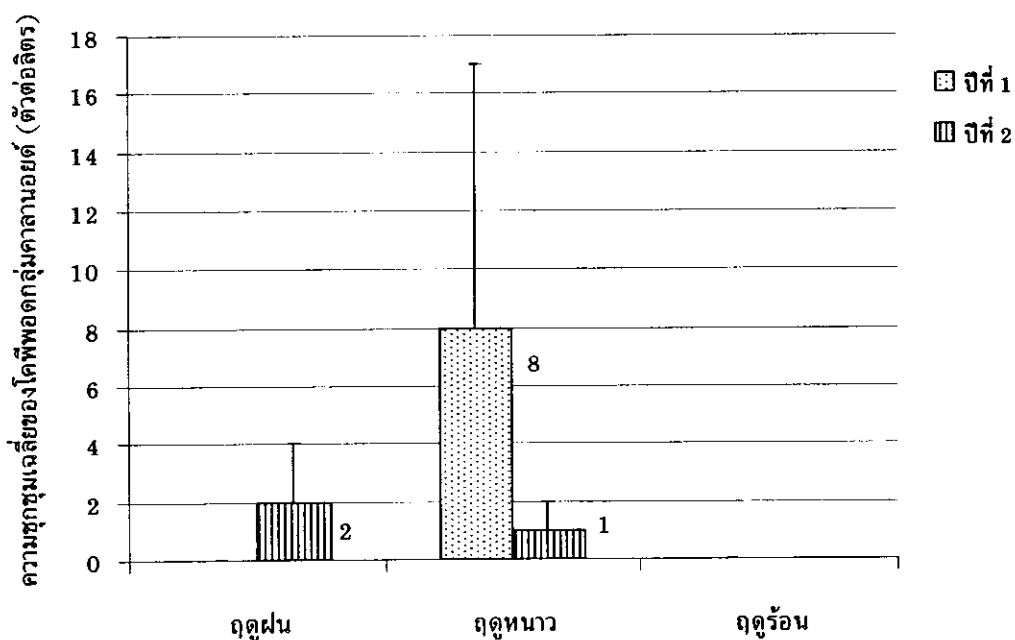
ตารางที่ 16 โคพิพอดกลุ่มคลานอยด์เปรียบเทียบกับชนิดที่พบในแหล่งน้ำสาธารณะของประเทศไทย

สปีชีส์ที่พบ	บึงบ่อระพัด	บึงโขงหลวง	แหล่งน้ำสาธารณะ (ลະօօศรี, 2545)
1. <i>Allodiaptomus raoi</i> Kiefer, 1936	-	+	+
2. <i>Arctodiaptomus munensis</i> Sanoamuang	-	-	+
3. <i>Dentodiaptomus javanus</i> (Grochmalicki, 1951)	-	-	+
4. <i>Eodiaptomus draconisignivomi</i> Brehm, 1952	-	-	+
5. <i>E. phuphanensis</i> Sanoamuang, 2001	-	-	+
6. <i>E. sanoamuangae</i> Reddy and Dumont, 1998	-	-	+
7. <i>Heliodiaptomus elegans</i> Kiefer, 1935	-	+	+
8. <i>H. viduus</i> (Gurney, 1916)	+ ^{b,c}	-	+
9. <i>Mongolodiaptomus botulifer</i> (Kiefer, 1974)	+	-	+
10. <i>M. calcarus</i> (Shen and Tai, 1965)	-	-	+
11. <i>M. dumonti</i> Sanoamuang, 2001	-	-	+
12. <i>M. malaindiosinensis</i> (Lai and Fernando, 1978)	-	-	+
12. <i>M. pectinidactylus</i> (Shen and Tai, 1964)	-	+ ^a	-
13. <i>M. uenoi</i> (Kikuchi, 1936)	-	-	+
14. <i>Neodiaptomus blachei</i> (Brehm, 1951)	-	+	+
15. <i>N. laii</i> Kiefer, 1974	-	-	+
16. <i>N. schmackeri</i> (Poppe and Richard, 1892)	-	-	+
17. <i>N. yangtsekiangensis</i> Mashiko, 1951	-	+ ^a	+
18. <i>Phyllodiaptomus christinae</i> Dumont, Reddy and Sanoamuang, 1996	-	-	+
19. <i>P. praedictus</i> Dumont and Reddy, 1996	+ ^a	-	+
20. <i>P. surinensis</i> Sanoamuang and Yindee, 2001	-	-	+
21. <i>P. thailandicus</i> Sanoamuang and Teeramaethee, 2006	-	-	+
22. <i>Tropodiaptomus cf. hebereri</i> Kiefer, 1930	-	-	+
23. <i>T. lanaonus</i> Kiefer, 1982	+ ^a	-	+
24. <i>T. oryzanus</i> Kiefer, 1937	-	+ ^c	-
25. <i>T. vicinus</i> Kiefer, 1930	-	-	+
26. <i>Tropodiaptomus sp.</i> ^(new species)	-	+	-
รวมชนิดที่พบ	4	6	23
คิดเป็นร้อยละ	15.38	23.08	88.46

หมายเหตุ สัญลักษณ์^{a, b, c} หมายถึง โคพิพอดที่พบในฤดูฝน, ฤดูหนาว และ ฤดูร้อน ตามลำดับ
ไม่มีสัญลักษณ์^{a, b, c} หมายถึง โคพิพอดที่พบทั้ง 3 ฤดู, + คือ พบร - คือ ไม่พบ



ภาพที่ 24 จำนวนนิสิตของโคพีพอดกลุ่มคลานอยด์ที่พบแต่ละฤทธิ์กลไกในบึงนยะเพ็ตเปรียบเทียบระหว่างปีที่ 1 และ 2 ของรากศึกษา (ตั้งแต่เดือนสิงหาคม 2545 ถึงเมษายน 2547)



ภาพที่ 25 ความชอกชุนมเฉลี่ยของโคพีพอดกลุ่มคลานอยด์ที่พบในบึงนยะเพ็ต ระหว่างเดือนสิงหาคม 2545 ถึงเมษายน 2547 (ค่าเฉลี่ย±ส่วนเบี่ยงเบนมาตรฐาน)

ตารางที่ 17 ทิศทางและระดับความสัมพันธ์ระหว่างความชุกชุมของโคพีพอดกลุ่มคลานอยด์ในบึงบอะเพ็ด กับปัจจัยทางกายภาพและเคมีบางประการของแหล่งน้ำ

ปัจจัย คุณภาพ น้ำที่ ตรวจ	ทิศทางของ ความสัมพันธ์	ค่าสัมประสิทธิ์สหสัมพันธ์แบบสเปียร์แมน (Spearman Correlation Coefficient Interval (r_s))			
		<0.2	0.2-0.4	0.41-0.6	0.61-0.8
อุณหภูมิ	+				
	-		<i>Mongolodiaptomus botulifer**</i>		
พื้นที่	+				
	-		<i>M. botulifer**</i>		
ค่าการนำ ไฟฟ้า	+				
	-			<i>M. botulifer**</i>	
ความเค็ม	+				
	-			<i>M. botulifer**</i>	
ความลึก	+		<i>M. botulifer**</i>		
	-				

** มีความสัมพันธ์ที่ระดับนัยสำคัญ 0.01

* มีความสัมพันธ์ที่ระดับนัยสำคัญ 0.05

2.3.2 บึงโขงหลง

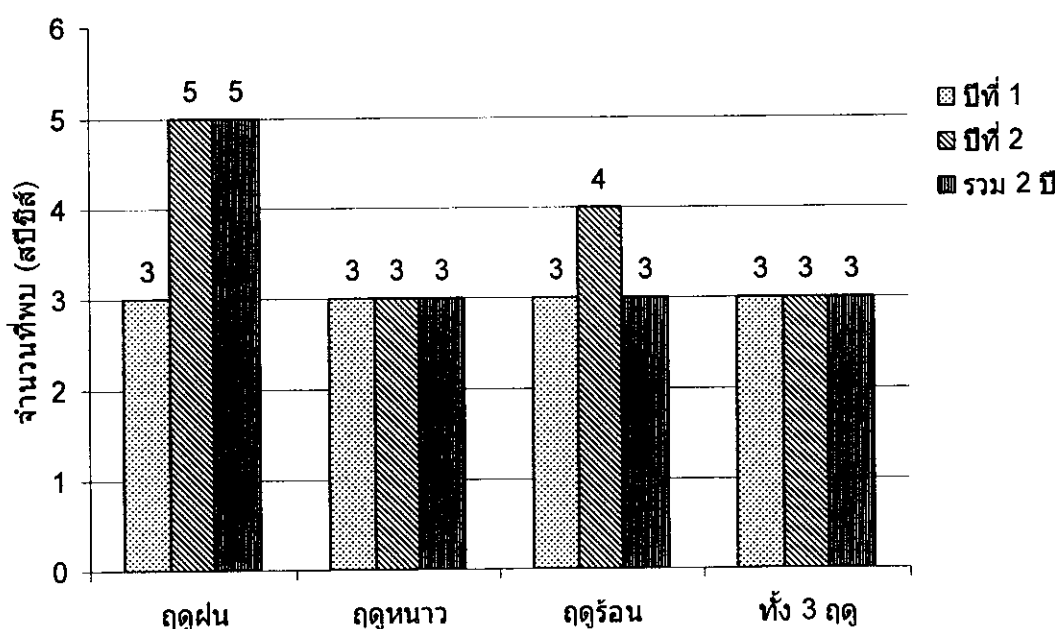
2.3.2.1 ความหลากหลายนิิดของโคพีพอดกลุ่มคลานอยด์

จากการศึกษาความหลากหลายนิิดของโคพีพอดกลุ่มคลานอยด์ พบรังสี 5 สกุล 6 สปีชีส์ ในจำนวนนี้เป็นชนิดที่พบเป็นครั้งแรกของโลก 1 สปีชีส์คือ *Tropodiaptomus* sp. ส่วน สปีชีส์ที่พบในการศึกษาครั้งนี้อีก 5 สปีชีส์ ได้แก่ *Allodiaptomus raoi* Kiefer, *Heliodiaptomus elegans* Kiefer, *Mongolodiaptomus pectinidactylus* (Shen and Tai), *Neodiaptomus yangtsekiangensis* Mashiko และ *Tropodiaptomus oryzanus* Kiefer จำนวนความหลากหลายนิิดที่พบจากการศึกษาในครั้งนี้คิดเป็นร้อยละ 23.08 ของสปีชีส์ทั้งหมดที่พบในแหล่งน้ำต่างๆ ของประเทศไทย เมื่อเปรียบเทียบกับการศึกษาของละอ้อศรี เสนะเมือง (2545) ดังตารางที่ 16

โคพีพอดกลุ่มคลานอยด์ที่พบในแต่ละถูกุがらมีจำนวนอยู่ระหว่าง 3-5 สปีชีส์ ในรอบปีแรกของ การศึกษา พบรความหลากหลายนิิดในฤดูฝน ฤดูหนาวและฤดูร้อน มีจำนวนนิิดที่พบเท่ากัน 3 สปีชีส์ ได้แก่ *A. raoi*, *H. elegans* และ *Tropodiaptomus* sp. ส่วนในปีที่สองของการศึกษา พบรความหลากหลายนิิดสูงสุดในฤดูฝนเท่ากับ 5 สปีชีส์คือ *A. raoi*, *H. elegans*, *M. pectinidactylus*, *N. yangtsekiangensis* และ *Tropodiaptomus* sp. ส่วนใน ฤดูหนาวพบน้อยสุด 3 สปีชีส์คือ *Allodiaptomus raoi* Kiefer, *Heliodiaptomus elegans* และ *Tropodiaptomus* sp. (ตารางที่ 16 และภาพที่ 26) จะเห็นได้ว่าความหลากหลายนิิดของโคพีพอดกลุ่มคลานอยด์ที่พบในสามฤดูของรอบปีที่ทำการศึกษามีจำนวนที่ใกล้เคียงกัน เมื่อนำมาวิเคราะห์ทางสถิติ พบว่าความหลากหลายนิิดที่พบในสามฤดูของรอบปีแรกและปีที่สองไม่แตกต่างกันอย่างมีนัยสำคัญ ($p>0.05$) และเมื่อนำมาวิเคราะห์ความหลากหลาย

ชนิดของโคพีพอดกลุ่มคลานอยด์ที่พบในถ้ำกัลของห้วยสองปี พบร่วมกับไม้แตกด่างกันอย่างมีนัยสำคัญ ($p>0.05$)

โคพีพอดกลุ่มคลานอยด์ที่พบส่วนใหญ่เป็นชนิดที่พบแพร่กระจายอยู่ทั่วไปในเขตวัอน (ละอองครี เสนะเมือง, 2544) ในการศึกษาครั้งนี้พบว่าลักษณะสภาพภูมิอากาศและภูมิประเทศมีผลต่อการจำแนกพื้นที่ในการแพร่กระจายของ *A. raoi* ซึ่งเป็นชนิดที่เคยมีรายงานพบเฉพาะในภาคตะวันออกเฉียงเหนือเท่านั้น ยังไม่มีรายงานพบสปีชีส์ดังกล่าวในภาคอื่น ๆ ของประเทศไทย

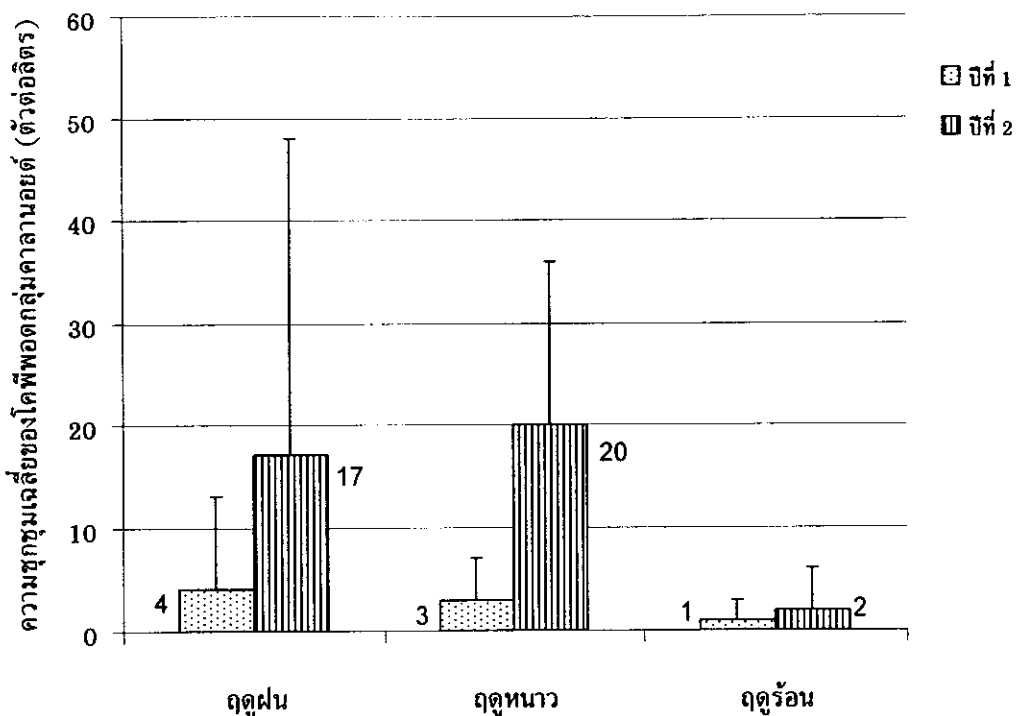


ภาพที่ 26 จำนวนชนิดของโคพีพอดกลุ่มคลานอยด์ที่พบแต่ละถ้ำกัลในปีของหลังเปรียบเทียบระหว่างปีที่ 1 และ 2 ของการศึกษา (ตั้งแต่เดือนลิงหาคม 2545 ถึงเมษายน 2547)

2.3.2.2 ความชุกชุมของโคพีพอดกลุ่มคลานอยด์

จากการศึกษาความชุกชุมของโคพีพอดกลุ่มคลานอยด์ในรอบปีแรก พบร่วมค่าเฉลี่ยจำนวนตัวของโคพีพอดกลุ่มคลานอยด์สูงสุดในถ้ำกัลของมีค่าเท่ากับ 4 ตัวต่อลิตร (ส่วนเบี่ยงเบนมาตรฐาน 9 ตัวต่อลิตร) และต่ำสุดในถ้ำร้อนเท่ากับ 1 ตัวต่อลิตร (ส่วนเบี่ยงเบนมาตรฐาน 2 ตัวต่อลิตร) ส่วนในปีที่ 2 ของการศึกษา พบร่วมค่าเฉลี่ยจำนวนตัวสูงสุดในถ้ำหน้าเท่ากับ 20 ตัวต่อลิตร (ส่วนเบี่ยงเบนมาตรฐาน 16 ตัวต่อลิตร) และต่ำสุดในถ้ำร้อนมีค่าเท่ากับ 2 ตัวต่อลิตร (ส่วนเบี่ยงเบนมาตรฐาน 4 ตัวต่อลิตร) (ภาพที่ 27)

เมื่อวิเคราะห์ความแตกต่างของความชุกชุมของโคพีพอดกลุ่มคลานอยด์ที่พบระหว่างสามถ้ำกัลของแต่ละรอบปีในทางสถิติ พบร่วมกันในปีแรกและปีที่สองไม่มีความแตกต่างกันอย่างมีนัยสำคัญ ($p>0.05$) แต่เมื่อพิจารณาความชุกชุมของโคพีพอดกลุ่มคลานอยด์ที่พบในถ้ำกัลของห้วยสองปี พบร่วมกับไม้แตกด่างกันอย่างมีนัยสำคัญ ($p<0.05$)



ภาพที่ 27 ความชุกชุมเฉลี่ยของโคพีพอดกลุ่มคลานอยด์ที่พบในบึงโขงหลวง ระหว่างเดือนสิงหาคม 2545 ถึง เมษายน 2547 (ค่าเฉลี่ย±ส่วนเบี่ยงเบนมาตรฐาน)

2.3.2.3 ความสัมพันธ์ระหว่างความชุกชุมของโคพีพอดกลุ่มคลานอยด์ที่พบกับปัจจัยทางกายภาพและเคมีบางประการ

จากการน้าซ้อมความชุกชุมของโคพีพอดกลุ่มคลานอยด์ที่พบในบึงโขงหลวงในทุกดูกราชที่ศึกษามาวเคราะห์ร่วมกับปัจจัยทางกายภาพและเคมีบางประการของแหล่งน้ำดังกล่าวข้างต้น เพื่อวิเคราะห์หาความสัมพันธ์ระหว่างความชุกชุมของโคพีพอดกลุ่มคลานอยด์กับสภาพแวดล้อมในแหล่งน้ำที่อาศัยอยู่ ได้ผลดังตารางที่ 18

การวิเคราะห์หาความสัมพันธ์ระหว่างความชุกชุมของโคพีพอดกลุ่มคลานอยด์กับปัจจัยทางกายภาพและเคมีบางประการของแหล่งน้ำ พบร้าความชุกชุมของโคพีพอดกลุ่มคลานอยด์มีความสัมพันธ์ในเชิงบวกและเชิงลบกับปัจจัยทางกายภาพและเคมีบางประการของน้ำอย่างมีนัยสำคัญ ($p<0.05$) ดังตารางที่ 18 ยกตัวอย่างเช่น *Heliodiaptomus elegans* มีความสัมพันธ์เชิงลบกับอุณหภูมิของน้ำโดยอยู่ในระดับปานกลาง (Spearman coeff. = -0.429, $p<0.01$) กล่าวคือ เมื่ออุณหภูมิของน้ำเพิ่มขึ้น ความชุกชุมของสปีชีส์ดังกล่าวมีแนวโน้มที่จะลดลง และสปีชีส์ดังกล่าวยังมีความสัมพันธ์เชิงบวกกับค่าพีเอชของน้ำอยู่ในระดับค่อนข้างน้อย (Spearman coeff. = 0.257, $p<0.01$) กล่าวคือ เมื่อพีเอชของน้ำเพิ่มขึ้นหรือน้ำที่อยู่ในสภาพเป็นด่าง จะพบความชุกชุมของโคพีพอดสปีชีส์ดังกล่าวมีแนวโน้มที่เพิ่มขึ้น หรืออาจกล่าวอีกนัยหนึ่งว่าโคพีพอดสปีชีส์นี้ชอบอาศัยอยู่ในแหล่งน้ำที่มีสภาพเป็นด่าง เป็นต้น

ตารางที่ 18 กิจทางและระดับความสัมพันธ์ระหว่างความชุกชุมของโคพีพอดกลุ่มคลานอยด์ในบึงโขงหลงกับปัจจัยทางกายภาพและเคมีทางประการของแหล่งน้ำ

ปัจจัย คุณภาพน้ำที่ ตรวจ	กิจทางของ ความสัมพันธ์	ค่าสัมประสิทธิ์สหสัมพันธ์แบบสเปียร์แมน (Spearman Correlation Coefficient Interval (r_s))			
		<0.2	0.2–0.4	0.41–0.6	0.61–0.8
อุณหภูมิ	+				
	-		<i>Neodiaptomus yangtsekiangensis*</i>	<i>Heliodiaptomus elegans**</i>	
พื้นที่	+		<i>H. elegans**</i>		
	-				
ค่าการนำ ไฟฟ้า	+	<i>Allodiaptomus raoi*</i>			
	-		<i>H. elegans**</i> , <i>N. yangtsekiangensis*</i>		
ปริมาณ ออกซิเจน ละลายน้ำ	+		<i>H. elegans**</i>		
	-				
ความลึก	+		<i>A. raoi**</i>		
	-		<i>N. yangtsekiangensis*</i>		

** มีความสัมพันธ์ที่ระดับนัยสำคัญ 0.01

* มีความสัมพันธ์ที่ระดับนัยสำคัญ 0.05

2.4 โคพีพอดกลุ่มใช้โคลพอยด์โคพีพอด

2.4.1 บึงบอร์เพ็ต

2.4.1.1 ความหลากหลายของโคพีพอดกลุ่มใช้โคลพอยด์

ผลการศึกษาพบโคพีพอดกลุ่มใช้โคลพอยด์ พบรังสี 4 สกุล 6 สปีชีส์ ได้แก่ *Eucyclops serrulatus* (Fischer), *Mesocyclops aspericornis* (Daday), *M. thermocyclopoides* Harada, *Microcyclops* sp., *Thermocyclops crassus* (Fischer) และ *T. decipiens* (Kiefer) (ตารางที่ 19) โคพีพอดกลุ่มใช้โคลพอยด์ที่พบส่วนใหญ่เคยมีรายงานการพบและอยู่ในบัญชีรายชื่อที่พบในประเทศไทยแล้ว และส่วนใหญ่เป็นชนิดที่พบแพร่กระจายอยู่ทั่วไปในเขตต้อน (ละอองศรี, 2544)

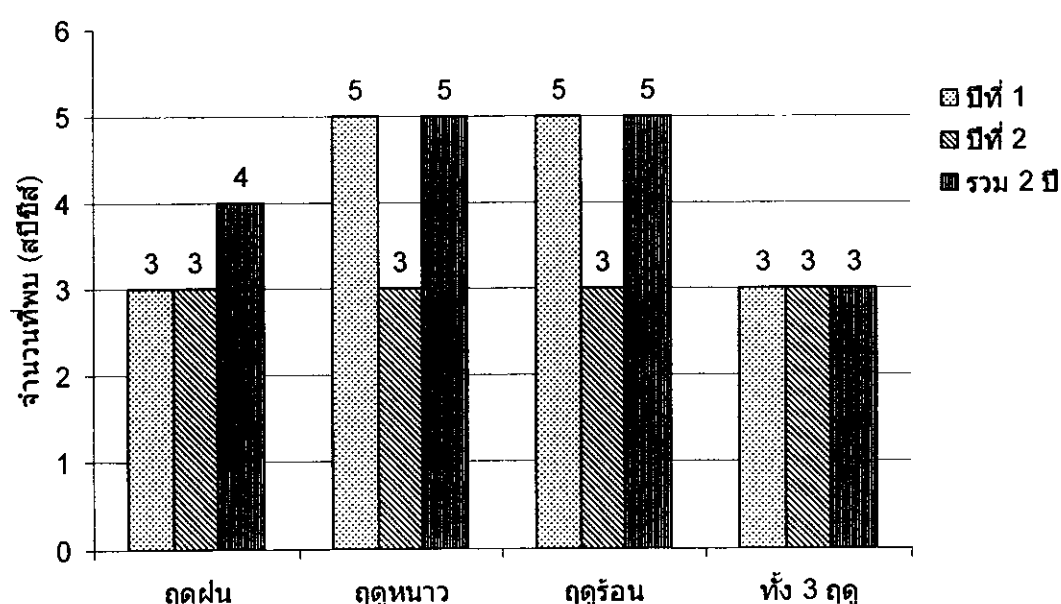
โคพีพอดกลุ่มใช้โคลพอยด์ที่พบในแต่ละถูกุกามีจำนวนอยู่ระหว่าง 3–5 สปีชีส์ ในรอบปีแรกของการศึกษา พบรากวนด์ในถูกุกามาและถูกุร้อน มีจำนวน 5 สปีชีส์คือ *M. aspericornis*, *M. thermocyclopoides*, *Microcyclops* sp., *T. crassus* และ *T. decipiens* ส่วนในถูกุฝนพบ 4 สปีชีส์คือ *E. serrulatus*, *M. aspericornis*, *M. thermocyclopoides* และ *Microcyclops* sp. สำหรับในปีที่สองของการศึกษา พบรากวนด์สูงสุดในถูกุฝน ถูกุมา และถูกุร้อน มีจำนวนเท่ากัน 3 สปีชีส์คือ *Mesocyclops aspericornis*, *M. thermocyclopoides* และ *Microcyclops* sp. (ตารางที่ 19 และภาพที่ 28) จะเห็นได้ว่าความหลากหลายของ

โคพีพอดกลุ่มไซโคลพอยด์ที่พบในสามฤดูของแต่ละรอบปีที่ทำการศึกษามีจำนวนที่ใกล้เคียงกัน เมื่อนำมาวิเคราะห์ทางสถิติ พบว่าความหลากหลายนิดที่พบในสามฤดูของรอบปีแรกและปีที่สองไม่แตกต่างกันอย่างมีนัยสำคัญ ($p>0.05$) และเมื่อนำข้อมูลมาวิเคราะห์ความหลากหลายนิดที่พบในฤดูกาลเดียวกันของทั้งสองปีก็พบเช่นกันว่าไม่แตกต่างกันอย่างมีนัยสำคัญ ($p>0.05$)

ตารางที่ 19 โคพีพอดกลุ่มไซโคลพอยด์ที่พบในบึงบอะเพ็ด และบึงโขงหลวงตลอดการศึกษา

สปีชีส์ที่พบ	บึงบอะเพ็ด	บึงโขงหลวง
1. <i>Ectocyclops polyspinosis</i> (Harada, 1931)	-	+
2. <i>Eucyclops serrulatus</i> (Fischer, 1851)	+ ^a	-
3. <i>Mesocyclops aspericornis</i> (Daday, 1906)	+	+
4. <i>M. thermocyclopoides</i> Harada, 1931	+	+
5. <i>M. pehpeiensis</i> Hu, 1943	-	+
6. <i>Microcyclops</i> sp.	+	+
7. <i>Thermocyclops crassus</i> (Fischer, 1853)	+ ^{b, c}	-
8. <i>T. decipiens</i> (Kiefer, 1929)	+ ^{b, c}	-
รวมนิดที่พบ	6	5

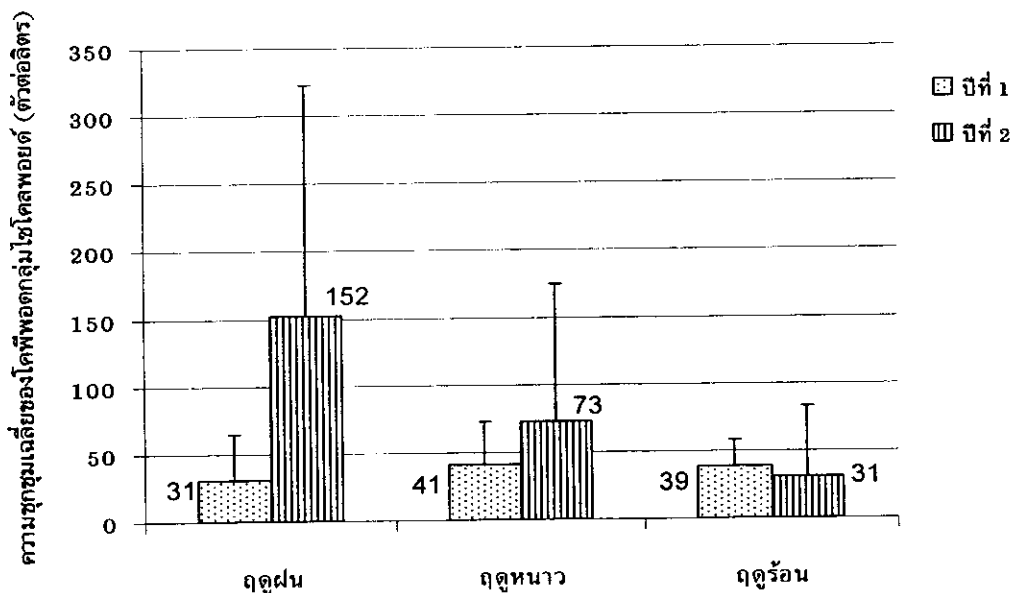
หมายเหตุ สัญลักษณ์^{a, b, c} หมายถึง โคพีพอดที่พบในฤดูฝน, ฤดูหนาว และ ฤดูร้อน ตามลำดับ
ไม่มีสัญลักษณ์^{a, b, c} หมายถึง โคพีพอดที่พบทั้ง 3 ฤดู, + คือ พบ - คือ ไม่พบ



ภาพที่ 28 จำนวนชนิดของโคพีพอดกลุ่มไซโคลพอยด์ที่พบแต่ละฤดูกาลในบึงบอะเพ็ดเปรียบเทียบกันระหว่างปีที่ 1 และ 2 ของการศึกษา (ตั้งแต่เดือนสิงหาคม 2545 ถึงเมษายน 2547)

2.4.1.2 ความชุกชุมของโคพิพอดกลุ่มไซโคลพอยด์

จากการศึกษาความชุกชุมของโคพิพอดกลุ่มไซโคลพอยด์ ในรอบปีแรก พบร่วมค่าเฉลี่ยจำนวนตัว สูงสุดในฤดูหนาวเท่ากับ 41 ตัวต่อลิตร (ส่วนเบี่ยงเบนมาตรฐาน 31 ตัวต่อลิตร) และต่ำสุดในฤดูฝนเท่ากับ 31 ตัวต่อลิตร (ส่วนเบี่ยงเบนมาตรฐาน 33 ตัวต่อลิตร) ส่วนในปีที่ 2 ของการศึกษา พบร่วมค่าเฉลี่ยจำนวนตัว สูงสุดในฤดูฝนมีค่าเท่ากับ 152 ตัวต่อลิตร (ส่วนเบี่ยงเบนมาตรฐาน 171 ตัวต่อลิตร) และต่ำสุดในฤดูร้อน เท่ากับ 31 ตัวต่อลิตร (ส่วนเบี่ยงเบนมาตรฐาน 52 ตัวต่อลิตร) (ภาพที่ 29) เมื่อวิเคราะห์ความแตกต่างของ ความชุกชุมของโคพิพอดกลุ่มไซโคลพอยด์ที่พบในสามฤดูกาลของแต่ละรอบปีในทางสถิติ พบร่วมทั้งในปีแรกและ ปีที่สองไม่มีความแตกต่างกันอย่างมีนัยสำคัญ ($p>0.05$) และเมื่อพิจารณาความชุกชุมที่พบในฤดูกาลเดียวกันของ ทั้งสองปี ก็พบเช่นเดียวกันคือ ไม่มีความแตกต่างกันอย่างมีนัยสำคัญ ($p>0.05$)



ภาพที่ 29 ความชุกชุมเฉลี่ยของโคพิพอดกลุ่มไซโคลพอยด์ที่พบในบึงบระเพ็ด ระหว่างเดือนสิงหาคม 2545 ถึงเมษายน 2547 (ค่าเฉลี่ย \pm ส่วนเบี่ยงเบนมาตรฐาน)

2.4.1.3 ความสัมพันธ์ระหว่างความชุกชุมของโคพิพอดกลุ่มไซโคลพอยด์ที่พบกับปัจจัยทาง กายภาพและเคมีบางประการ

จากการนำข้อมูลความชุกชุมของโคพิพอดกลุ่มมาลานอยู่ตัวที่พบในบึงบะเพ็ดในทุกฤดูกาลที่ ศึกษามาวิเคราะห์ร่วมกับปัจจัยทางกายภาพและเคมีบางประการของแหล่งน้ำดังกล่าวข้างต้น เพื่อวิเคราะห์หา ความสัมพันธ์ระหว่างความชุกชุมของโคพิพอดกลุ่มมาลานอยู่ตัวกับสภาพแวดล้อมในแหล่งน้ำที่อาศัยอยู่ ได้ผล ดังตารางที่ 20

การวิเคราะห์หาความสัมพันธ์ระหว่างความชุกชุมของโคพิพอดกลุ่มมาลานอยู่ตัวกับปัจจัยทาง กายภาพและเคมีบางประการของแหล่งน้ำ พบร่วมความชุกชุมของโคพิพอดกลุ่มมาลานอยู่ตัวมีความสัมพันธ์ใน เชิงบวกและเชิงลบกับปัจจัยทางกายภาพและเคมีบางประการของน้ำอย่างมีนัยสำคัญ ($p<0.05$) ดังตารางที่ 20 ยกตัวอย่างเช่น *M. aspericornis* มีความสัมพันธ์เชิงลบกับความลึกของน้ำโดยอยู่ในระดับน้อย (Spearman coeff. = -0.181, $p<0.05$) กล่าวคือ เมื่อระดับความลึกเพิ่มขึ้น ความชุกชุมของโคพิพอดสปีชีส์ดังกล่าวมี

แนวโน้มที่จะลดลง หรือมีความหมายอีกนัยหนึ่งคือ *Mesocyclops aspericornis* ชอบอาศัยอยู่ในแหล่งน้ำดื้น มากกว่าน้ำลึก ส่วน *M. thermocyclopoides* มีความสัมพันธ์เชิงลบกับค่าการนำไฟฟ้า และความเค็มอยู่ในระดับค่อนข้างน้อย โดยมีค่าสัมประสิทธิ์สหสัมพันธ์แบบสเปียร์แมน (Spearman coeff.) เท่ากับ -0.313 , $p<0.01$ และ -0.314 , $p<0.01$ ตามลำดับ กล่าวคือ เมื่อค่าการนำไฟฟ้าของน้ำ และน้ำมีค่าความเค็มเพิ่มขึ้น ความชุกชุมของโคพีพอดสปีชีส์ดังกล่าวมีแนวโน้มที่จะลดลง ซึ่งแสดงให้เห็นว่า โคพีพอดสปีชีส์ดังกล่าวมักพบอาศัยอยู่ในแหล่งน้ำที่มีปริมาณธาตุอาหารหรืออิโอนต่างๆ ที่ละลายน้ำอยู่น้อย และชอบอาศัยอยู่ในน้ำลึกมากกว่าน้ำที่มีความเค็ม เป็นต้น

ตารางที่ 20 ทิศทางและระดับความสัมพันธ์ระหว่างความชุกชุมของโคพีพอดกลุ่มไซโคลพอยด์ในบึงบ่อระเพิด กับปัจจัยทางกายภาพและเคมีบางประการของแหล่งน้ำ

ปัจจัย คุณภาพ น้ำที่ ตรวจ	ทิศทางของ ความสัมพันธ์	ค่าสัมประสิทธิ์สหสัมพันธ์แบบสเปียร์แมน (Spearman Correlation Coefficient Interval (r_s))			
		<0.2	0.2-0.4	0.41-0.6	0.61-0.8
ค่าการนำ ไฟฟ้า	+				
	-		<i>Mesocyclops thermocyclopoides</i> **		
ความเค็ม	+				
	-		<i>M. thermocyclopoides</i> **		
ความลึก	+				
	-	<i>M. aspericornis</i> *			

** มีความสัมพันธ์ที่ระดับนัยสำคัญ 0.01

* มีความสัมพันธ์ที่ระดับนัยสำคัญ 0.05

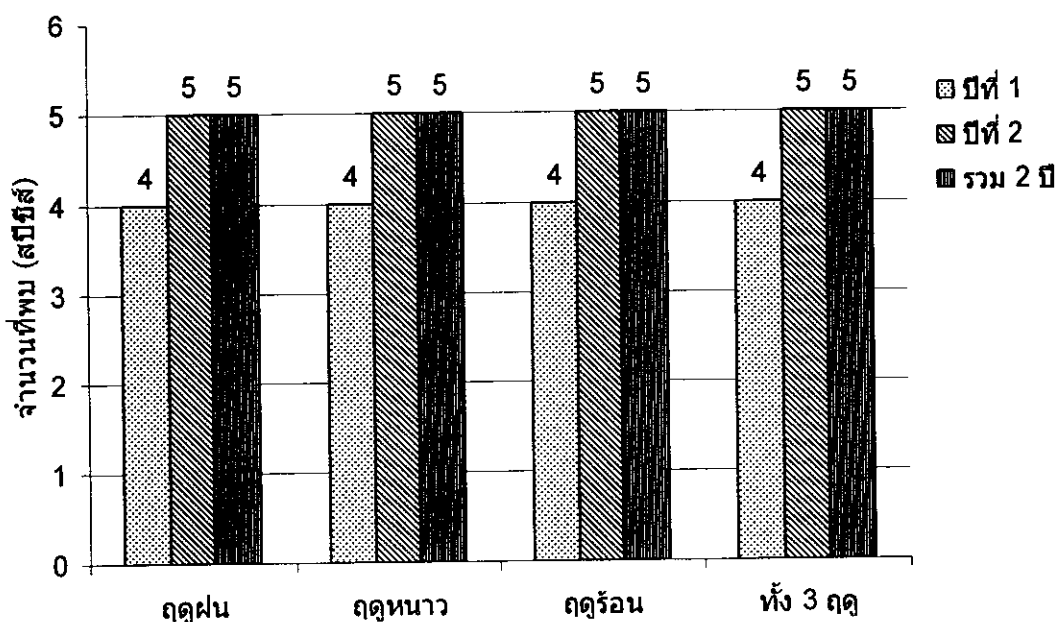
2.4.2 บึงโขงหลวง

2.4.2.1 ความหลากหลายชนิดของโคพีพอดกลุ่มไซโคลพอยด์

ผลการศึกษาพบโคพีพอดกลุ่มไซโคลพอยด์ พบทั้งสิ้น 3 สกุล 5 สปีชีส์ ในจำนวนนี้เป็นชนิดที่พบเป็นครั้งแรกของประเทศไทย 2 สปีชีส์คือ *Ectocyclops polypinnosus* (Harada) และ *Mesocyclops pehpeiensis* Hu ส่วนสมาชิกที่พบในการศึกษารั้งนี้ได้แก่ *M. aspericornis*, *M. thermocyclopoides* และ *Microcyclops* sp. (ตารางที่ 19) ไซโคลพอยด์ที่พบส่วนใหญ่เคยมีรายงานการพบและอยู่ในบัญชีรายชื่อที่พบในประเทศไทยแล้ว และส่วนใหญ่เป็นชนิดที่พบแพร่กระจายอยู่ทั่วไปในเขตต้อน (ละออศรี เสนนา: เมือง, 2544)

โคพีพอดกลุ่มไซโคลพอยด์ที่พบในแต่ละถูกุกามีจำนวนอยู่ระหว่าง 4-5 สปีชีส์ ในรอบปีแรกของการศึกษา พบรความหลากหลายชนิดในถูกุก ถูกุหนา และถูกุร้อนจำนวนเท่ากัน 4 สปีชีส์ได้แก่ *M. aspericornis*, *M. pehpeiensis*, *M. thermocyclopoides* และ *Microcyclops* sp. สำหรับในปีที่สองของการศึกษา พบรความหลากหลายชนิดในถูกุก ถูกุหนา และถูกุร้อนนี้จำนวนเท่ากัน 5 สปีชีส์คือ *E. polypinnosus*, *M. aspericornis*, *M. pehpeiensis*, *M. thermocyclopoides* และ *Microcyclops* sp. (ตารางที่ 18 และภาพที่ 30) จะเห็นได้ว่า

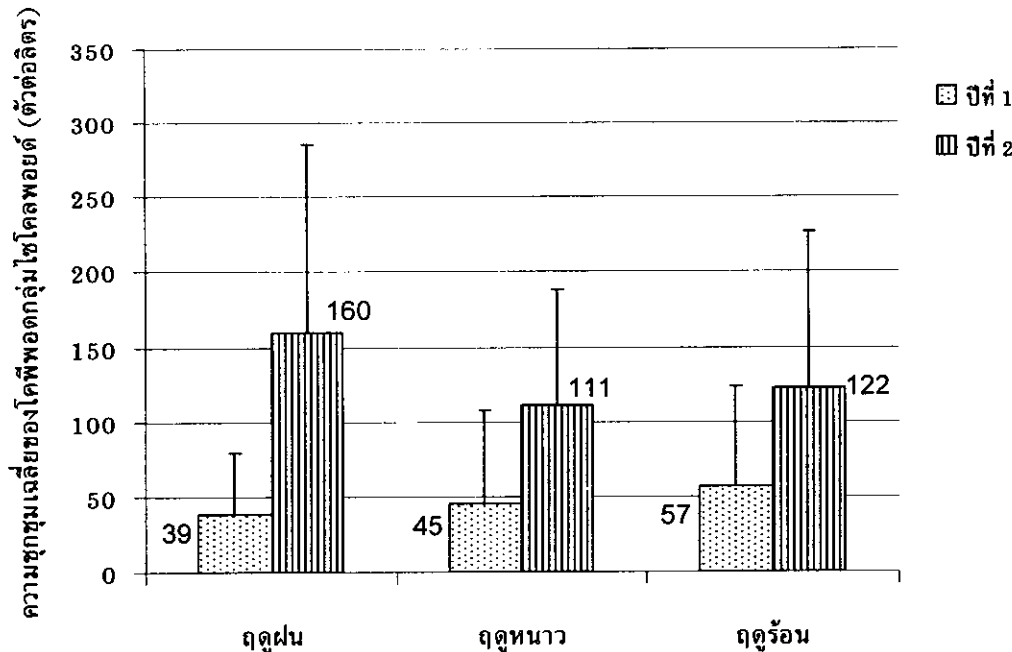
ความหลากหลายนิดของโคพีพอดกลุ่มใช้โคลพอยด์ที่พบในสารตุลกาลของแต่ละรอบปีที่ทำการศึกษามีจำนวนที่ใกล้เคียงกัน เมื่อนำมาวิเคราะห์ทางสถิติ พบว่าความหลากหลายนิดที่พบในสารตุลของรอบปีแรกและปีที่สองไม่แตกต่างกันอย่างมีนัยสำคัญ ($p>0.05$) และเมื่อวิเคราะห์ความหลากหลายนิดที่พบในตุลกาลเดียวกันของทั้งสองปีก็พบเช่นเดียวกันว่าไม่แตกต่างกันอย่างมีนัยสำคัญ ($p>0.05$)



ภาพที่ 30 จำนวนนิดของโคพีพอดกลุ่มใช้โคลพอยด์ที่พบแต่ละตุลกาลในบึงโขงหลงเปรียบกันระหว่างปีที่ 1 และ 2 ของการศึกษา (ตั้งแต่เดือนสิงหาคม 2545 ถึงเมษายน 2547)

2.4.2.2 ความชุกชุมของโคพีพอดกลุ่มใช้โคลพอยด์

จากการศึกษาความชุกชุมของโคพีพอดกลุ่มใช้โคลพอยด์ ในรอบปีแรก พบว่าค่าเฉลี่ยจำนวนตัวสูงสุดในฤทธิ์ร้อนเท่ากับ 57 ตัวต่อลิตร (ส่วนเบี่ยงเบนมาตรฐาน 66 ตัวต่อลิตร) และต่ำสุดในฤทธิ์ฝนเท่ากับ 39 ตัวต่อลิตร (ส่วนเบี่ยงเบนมาตรฐาน 40 ตัวต่อลิตร) ส่วนในปีที่ 2 ของการศึกษา พบค่าเฉลี่ยจำนวนตัวสูงสุดในฤทธิ์ฝนมีค่าเท่ากับ 160 ตัวต่อลิตร (ส่วนเบี่ยงเบนมาตรฐาน 126 ตัวต่อลิตร) และต่ำสุดในฤทธิ์หนาวเท่ากับ 111 ตัวต่อลิตร (ส่วนเบี่ยงเบนมาตรฐาน 77 ตัวต่อลิตร) (ภาพที่ 31) เมื่อวิเคราะห์ความแตกต่างของความชุกชุมของโคพีพอดกลุ่มใช้โคลพอยด์ที่พบระหว่างสารตุลกาลของแต่ละรอบปีในทางสถิติ พบว่าทั้งในปีแรกและปีที่สองไม่มีความแตกต่างกันอย่างมีนัยสำคัญ ($p>0.05$) เมื่อพิจารณาความชุกชุมที่พบในตุลกาลเดียวกันของทั้งสองปี ก็พบเช่นเดียวกันว่าไม่มีความแตกต่างกันอย่างมีนัยสำคัญ ($p>0.05$)



ภาพที่ 31 ความชุกชุมเฉลี่ยของโคพิพอดกลุ่มใช้โคลพอยด์ที่พบในบึงโขงหลวง ระหว่างเดือนสิงหาคม 2545 ถึงเมษายน 2547 (ค่าเฉลี่ย+ส่วนเบี่ยงเบนมาตรฐาน)

2.4.2.3 ความสัมพันธ์ระหว่างความชุกชุมของโคพิพอดกลุ่มใช้โคลพอยด์ที่พบกับปัจจัยทางกายภาพและเคมีบางประการ

จากการนำข้อมูลความชุกชุมของโคพิพอดกลุ่มใช้โคลพอยด์ที่พบในบึงโขงหลวงในทุกฤดูกาลที่ศึกษาไว้เคราะห์ร่วมกับปัจจัยทางกายภาพและเคมีบางประการของแหล่งน้ำดังกล่าวข้างต้น เพื่อวิเคราะห์หาความสัมพันธ์ระหว่างความชุกชุมของโคพิพอดกลุ่มใช้โคลพอยด์กับสภาพแวดล้อมในแหล่งน้ำที่อาศัยอยู่ ได้ผลดังตารางที่ 21

การวิเคราะห์หาความสัมพันธ์ระหว่างความชุกชุมของโคพิพอดกลุ่มใช้โคลพอยด์กับปัจจัยทางกายภาพและเคมีบางประการของแหล่งน้ำ พนบว่าความชุกชุมของโคพิพอดมีความสัมพันธ์ในเชิงบวกและเชิงลบกับปัจจัยทางกายภาพและเคมีบางประการของน้ำอย่างมีนัยสำคัญ ($p<0.05$) ดังตารางที่ 20 ยกตัวอย่างเช่น *Mesocyclops pehpeiensis* มีความสัมพันธ์เชิงบวกกับปริมาณออกซิเจนละลายน้ำโดยอยู่ในระดับน้อย (*Spearman coeff.* = 0.201, $p<0.01$) กล่าวคือ เมื่อแหล่งน้ำมีปริมาณออกซิเจนละลายน้ำเพิ่มขึ้น จะพบความชุกชุมของโคพิพอดสปีชีส์ดังกล่าวมีแนวโน้มที่เพิ่มขึ้นด้วย ซึ่งแสดงให้เห็นว่าโคพิพอดสปีชีส์ดังกล่าวนี้ชอบอาศัยอยู่ในแหล่งน้ำที่มีสภาพดีมีปริมาณออกซิเจนละลายน้ำสูง

ตารางที่ 21 ทิศทางและระดับความสัมพันธ์ระหว่างความชุกชุมของโคพีพอดกลุ่มไข่โคลพอยด์ในบึงโขงหลวง กับปัจจัยทางกายภาพและเคมีบางประการของแหล่งน้ำ

ปัจจัย คุณภาพ น้ำที่ ตรวจวัด	ทิศทางของ ความสัมพันธ์	ค่าสัมประสิทธิ์สหสัมพันธ์แบบสpearman (Spearman Correlation Coefficient Interval (r_s))			
		<0.2	0.2–0.4	0.41–0.6	0.61–0.8
อุณหภูมิ	+				
	-		<i>Mesocyclops thermocyclopoides**</i>		
พีเอช	+		<i>M. aspericornis**</i> , <i>M. pehpeiensis**</i>	<i>M. thermocyclopoides**</i>	
	-				
ค่าการนำ ไฟฟ้า	+		<i>M. aspericornis**</i>		
	-				
ปริมาณ ออกซิเจน ละลายน้ำ	+		<i>M. pehpeiensis*</i> , <i>M. thermocyclopoides**</i>	<i>M. aspericornis**</i>	
	-				

** มีความสัมพันธ์ที่ระดับนัยสำคัญ 0.01

* มีความสัมพันธ์ที่ระดับนัยสำคัญ 0.05

3. เปรียบเทียบความหลากหลายและความชุกชุมของโรติเฟอร์ คลาโดยเชอรา และโคพีพอดที่พบในทุกฤดูกาล ระหว่างบึงบอะระเพ็ด และบึงโขงหลวง

จากการน้ำขอความหลากหลายและความชุกชุมของโรติเฟอร์ คลาโดยเชอรา และโคพีพอด (กลุ่มคลานอยด์ และไซโคลพอยด์) ที่พบในทุกฤดูกาลระหว่างบึงบอะระเพ็ดและบึงโขงหลวงเพื่อวิเคราะห์ว่าจำนวนชนิดและความชุกชุมที่พบนั้นมีความแตกต่างกันหรือไม่ ด้วยการทดสอบความเป็นเอกพันธ์ ผลการวิเคราะห์พบว่าความหลากหลายของโรติเฟอร์ คลาโดยเชอรา และโคพีพอด (กลุ่มคลานอยด์ และไซโคลพอยด์) ที่พบในทั้ง 2 บึงนี้ไม่แตกต่างกันอย่างมีนัยสำคัญ ($p>0.05$) แต่มีความแตกต่างกันในเรื่องของความชุกชุมอย่างมีนัยสำคัญ ($p<0.01$) กล่าวคือ ในบึงบอะระเพ็ดมีเพียงโรติเฟอร์กลุ่มเดียวเท่านั้นที่พบความชุกชุมมากกว่าที่พบในบึงโขงหลวง โดยความชุกชุมของโรติเฟอร์ที่พบคิดเป็นร้อยละ 84.4 ของแพลงก์ตอนสัตว์ทั้งหมดที่ทำการศึกษาในครั้งนี้ ในขณะที่ความชุกชุมของโรติเฟอร์ที่พบในบึงโขงหลวงคิดเป็นร้อยละ 70.9 ของแพลงก์ตอนสัตว์ทั้งหมดที่ทำการศึกษา ทั้งนี้เนื่องจากบึงบอะระเพ็ดมีทางเข้าออกของล้าน้ำหลายเส้นทาง น้ำจากล้าน้ำต่าง ๆ จะนำพาอินทรีย์สารและอนินทรีย์สารจากพื้นดินลงสู่บึง ธาตุอาหารดังกล่าวมีประโยชน์ต่อการดำรงชีวิตและการเจริญเติบโตของโรติเฟอร์จึงทำให้พบโรติเฟอร์มีความชุกชุมมากกว่าบึงโขงหลวงที่เป็นบึงปิด ปริมาณสารอาหารค่อนข้างจะคงที่ จากเหตุผลนี้จึงสามารถใช้โรติเฟอร์เป็นดัชนีชี้วัดการเปลี่ยนแปลงของคุณภาพน้ำได้ เนื่องจากโรติเฟอร์มีการตอบสนองต่อการเปลี่ยนแปลงของสิ่งแวดล้อมที่ไวกว่าแพลงก์ตอนสัตว์ในกลุ่มที่เป็นครัสเตเชียน (Pejler, 1983)

สำหรับโคพีพอดกลุ่มไซโคลพอยด์ คลาโดยเชอรา และโคพีพอดกลุ่มคลานอยด์ มีความชุกชุมมากในบึงโขงหลวงคิดเป็นร้อยละ 14.7, 12.7 และ 1.7 ตามลำดับ ส่วนในบึงบอะระเพ็ดพบความชุกชุมของแพลงก์ตอนสัตว์กลุ่มดังกล่าวอยกว่าโดยคิดเป็นร้อยละ 8.9, 6.4 และ 0.3 ตามลำดับ ทั้งนี้อาจเนื่องมาจากการบึงโขงหลวงถูกรบกวนจากกิจกรรมต่าง ๆ ของมนุษย์น้อยกว่าบึงบอะระเพ็ด และบึงโขงหลวงมีปริมาณของพืชน้ำและสาหร่ายปกคลุมอยู่ในแหล่งน้ำค่อนข้างหนาแน่นกว่าแพลงก์ตอนสัตว์กลุ่มดังกล่าวที่สามารถใช้พืชน้ำและสาหร่ายเป็นแหล่งยึดเกาะ อาศัยชั่วคราว ทำให้ไม่ถูกพัดพาไปตามการเคลื่อนที่ของมวลน้ำได้ง่าย รวมทั้งยังสามารถใช้พืชน้ำและสาหร่ายเป็นแหล่งอาหาร และกำบังตัวจากศัตรูผู้ล่าได้อีกด้วย (Smirnov, 1974) ซึ่งสอดคล้องกับการศึกษาของจุฑามส แสงอรุณ และละออครี เสนะเมือง (2545) ที่พบความหลากหลายของคลาโดยเชอราในบึงกุดทิง จังหวัดหนองคาย มีจำนวนมากถึง 57 สปีชีส์ ลักษณะของบึงกุดทิงเป็นแหล่งน้ำที่มีพืชน้ำและสาหร่ายเป็นจำนวนมาก จึงเป็นสาเหตุให้แหล่งน้ำดังกล่าวมีความหลากหลายของคลาโดยเชอรามากเช่นเดียวกัน

นอกจากนี้ในการศึกษาปัจจัยทางกายภาพและเคมีบางประการของน้ำที่มีผลต่อชนิดและความชุกชุมของโรติเฟอร์ คลาโดยเชอรา และโคพีพอดที่พบในครั้งนี้ยังไม่ปรากฏผลให้เห็นอย่างเด่นชัด ดังนั้นในอนาคต ควรมีการศึกษาอย่างต่อเนื่องเพื่อให้ได้ข้อมูลที่ซัดเจนและสมบูรณ์ยิ่งขึ้น

ตารางที่ 22 เปรียบเทียบความหลากหลายและความชุกชุมของโรติเฟอร์ คลาโดยเชอรา และโคพีพอด
(กลุ่มคາลานอยด์ และไซโคลพอยด์) ที่พบในทุกฤดูกาลระหว่างบึงบ่อระเพิด และบึงโขงหลวง

การศึกษา	สถานที่	กลุ่มของแพลงก์ตอนสัตว์ที่พบ (คิดเป็นเปอร์เซ็นต์)			
		โรติเฟอร์	คลาโดยเชอรา	โคพีพอดกลุ่มคາลานอยด์	โคพีพอดกลุ่มไซโคลพอยด์
ความหลากหลาย	บึงบ่อระเพิด	71.0	22.1	2.8	4.1
	บึงโขงหลวง	72.4	20.4	3.9	3.3
ความชุกชุม	บึงบ่อระเพิด	84.4 ^{**}	6.4 ^{**}	0.3 ^{**}	8.9 ^{**}
	บึงโขงหลวง	70.9 ^{**}	12.7 ^{**}	1.7 ^{**}	14.7 ^{**}

หมายเหตุ

^{**} มีความแตกต่างกันที่ระดับนัยสำคัญ 0.01

4. รายละเอียดเกี่ยวกับสัณฐานวิทยาทางประการของโตรติเฟอร์ คลาโดเซอรา และโคพีพอดชนิดใหม่ของโลกและชนิดที่พบเป็นครั้งแรกของประเทศไทย

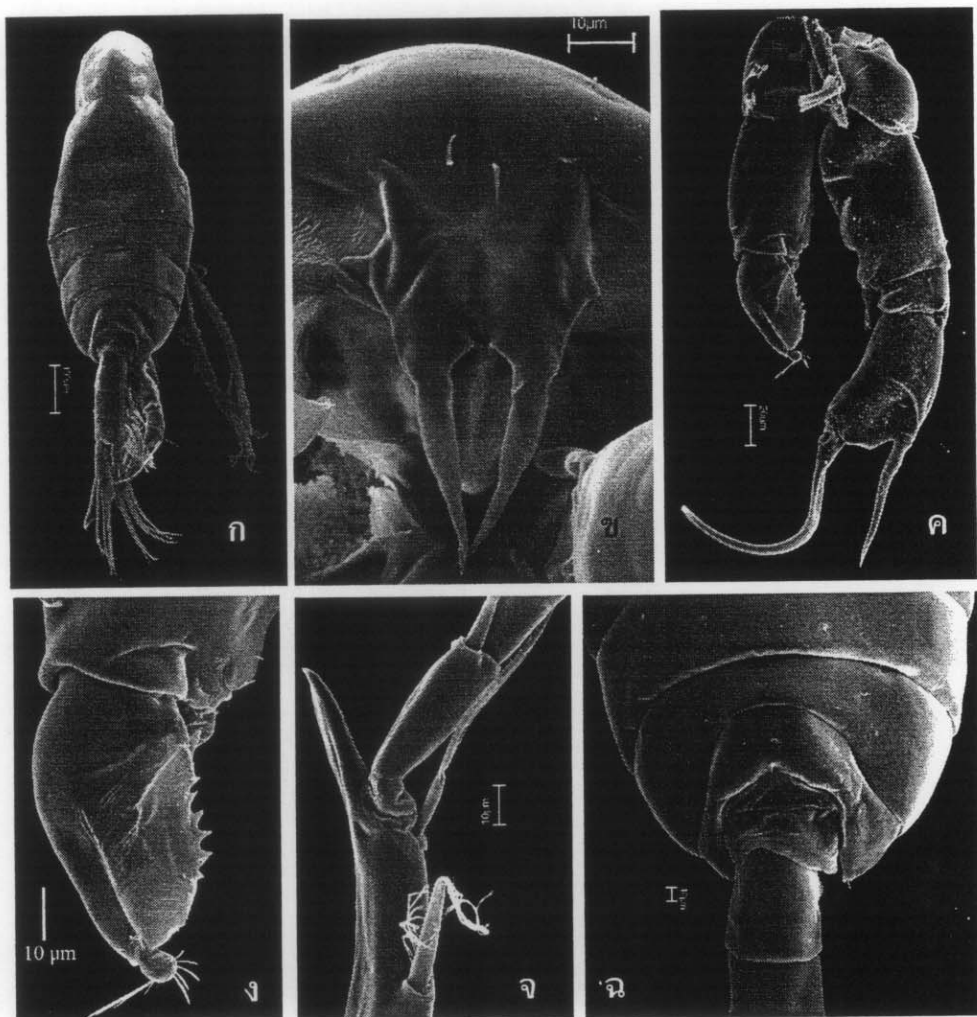
ผลจากการศึกษาความหลากหลายของโตรติเฟอร์ คลาโดเซอรา และโคพีพอดในครั้งนี้ทำให้พบชนิดใหม่ของโลกในโคพีพอดกลุ่มคลานอยู่จำนวน 1 สปีชีส์ และชนิดที่พบเป็นครั้งแรกในประเทศไทยในกลุ่มโตรติเฟอร์ 1 สปีชีส์ คลาโดเซอรา 2 สปีชีส์ และโคพีพอดกลุ่มไซโคลพอยด์ 1 สปีชีส์ มีรายละเอียดดังต่อไปนี้

4.1 รายละเอียดเกี่ยวกับสัณฐานวิทยาทางประการของโคพีพอดกลุ่มคลานอยู่ชนิดใหม่ของโลก *Tropodiaptomus sp.* (ภาพที่ 32 และภาพที่ 33)

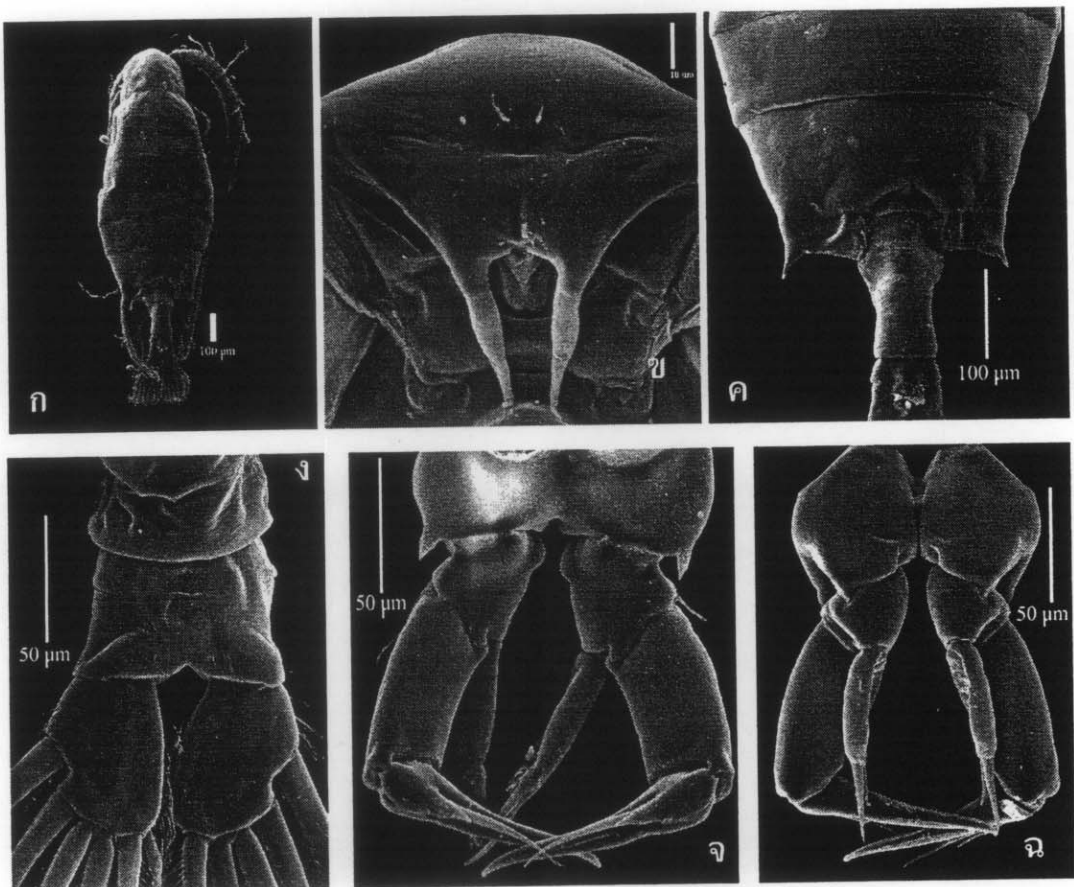
Tropodiaptomus sp. เป็นโคพีพอดที่พบเป็นครั้งแรกของโลก พบในสถานที่ 1 และ 2 เฉพาะในบึงโขงหลง (ที่ละติจูด $18^{\circ} 01' 12''$ เหนือ- $18^{\circ} 01' 20''$ เหนือ และลองจิจูด $104^{\circ} 00' 39''$ ตะวันออก- $104^{\circ} 00' 48''$ ตะวันออก) พบในทุกฤดูกาลตลอดระยะเวลาที่ทำการศึกษาปัจจัยทางกายภาพและเคมีบางประการของแหล่งที่พบมีดังนี้ อุณหภูมิ มีค่าอยู่ระหว่าง $5.13-8.38$ พีโซช ค่าการนำไฟฟ้า ในโครงซีเมนต์ต่อเซ็นติเมตร อาศัยในแหล่งน้ำเดียวกันกับสปีชีส์อื่น 5 สปีชีส์ ได้แก่ *A. raoi*, *H. elegans*, *M. pectinidactylus*, *N. yangtsekiangensis* และ *T. oryzanus* ลักษณะทางสัณฐานวิทยามีดังนี้

ตัวผู้ (ภาพที่ 32ก-ฉ) ความยาวของลำตัวไม่รวมคอร์ตัลซีต (caudal setae) อยู่ระหว่าง $0.97-1.07$ มิลลิเมตร เฉลี่ย 1.02 มิลลิเมตร (ส่วนเบี่ยงเบนมาตรฐาน 0.03 มิลลิเมตร) ($n=20$) ลักษณะเด่นคือ หนามบนจอยปาก (rostral spine) แหลม มีปุ่มขนาดเล็ก 1 อัน ยื่นออกมาใกล้กับฐานของหนามด้านขวา ท่อแรกซ์ ปล้องที่ 4 และ 5 มีรอยแยกจากกันชัดเจน ยูโรโซม (urosome) มี 5 ปล้อง ยูโรโซมปล้องที่ 5 ยาวประมาณครึ่งหนึ่งของคอร์ตัลรามี (caudal rami) P5 ข้างขวา เอิกโซโพไดท์ที่ 1 (exopodite) สั้นกว่าเบซิส มีติ่งนูนอยู่ขอบด้านใน 1 อัน ปลายขอบด้านนอกแหลม เอิกโซโพไดท์ที่ 2 ยาวประมาณเกิน 2 เท่าของความกว้าง หนามด้านข้างมีลักษณะค่อนข้างตรง เอิกโซโพไดท์ที่ 2 มีหนามด้านข้าง 1 อัน ยื่นออกมาจากขอบบริเวณกึ่งกลางหรือค่อนมาข้างล่างเล็กน้อย และอยู่ใกล้กับโคนของหนามด้านข้าง 1 อัน ส่วนบนของปล้องเอิกโซโพไดท์ที่ 2 แคบกว่า ส่วนล่างหรือส่วนปลาย ขอบด้านในของเบซิสข้างขวามีแผ่นไฮยาไลน์ 2 แผ่น แผ่นบนสุดยาวกว่าแผ่นล่างเล็กน้อย หนามด้านข้างอันใหญ่กว่ายาวประมาณครึ่งหนึ่งของความยาวเอ็นคลาว (end claw) เอ็นคลาวมีลักษณะโค้งงอ เอ็นໂಡโพไดท์ (endopodite) มี 1 ปล้องยาวกว่าเอิกโซโพไดท์ที่ 1 มีขนาดในของเอิกโซโพไดท์ข้างซ้ายโคง มีพื้น 1 ชุด มีขนาดเท่ากันเรียงเป็น列า

ตัวเมีย (ภาพที่ 33ก-ฉ) ความยาวของลำตัวไม่รวมคอร์ตัลซีต อยู่ระหว่าง $1.10-1.36$ มิลลิเมตร เฉลี่ย 1.26 มิลลิเมตร (ส่วนเบี่ยงเบนมาตรฐาน 0.07 มิลลิเมตร) ($n=20$) ลักษณะเด่นคือ ท่อแรกซ์ปล้องที่ 4 และ 5 เชื่อมติดกัน ปีกซ้ายและปีกขวาของท่อแรกซ์ปล้องที่ 5 ยาวเกินเท่ากัน ยูโรโซมนี 3 ปล้อง ส่วนบนของปล้องสีบพันธุ์ไปออกเล็กน้อยทั้งสองข้าง หนาดคู่แรกค่อนข้างยาวๆ ถึงคอร์ตัลรามี มี 25 ข้อ ขาคู่ที่ 5 พันหนามบนคือขาทั้งสองข้างมีขนาดเล็ก เอิกโซโพไดท์ที่ 3 มีขนาดเล็กแต่เห็นได้ชัดเจน เอ็นໂດโพไดท์มีสองปล้องใน每ชัดเจนและมีความยาวเกือบทุกความยาวของเอิกโซโพไดท์ที่ 1 เอ็นคลาวมีหนามทั้งสองข้าง



ภาพที่ 32 ภาพถ่ายจากกล้องจุลทรรศน์อิเล็กตรอนแบบส่องกราดของ *Tropodiaptomus* sp. เพศผู้
ก: ตัวผู้ (ด้านหลัง), ข: โรสตัม, ค: ขาคู่ที่ 5 (ด้านท้าย), ง: ขาคู่ที่ 5 ข้างซ้าย (ด้านท้าย),
จ: รยางค์ข้อที่ 20 ของหนวดคู่ที่ 1 ข้างขวา, ฉ: ท่อแรกซ์ปล้องที่ 4-5



ภาพที่ 33 ภาพถ่ายจากกล้องจุลทรรศน์อิเล็กตรอนแบบส่องการดูของ *Tropodiaptomus* sp. เพศเมีย

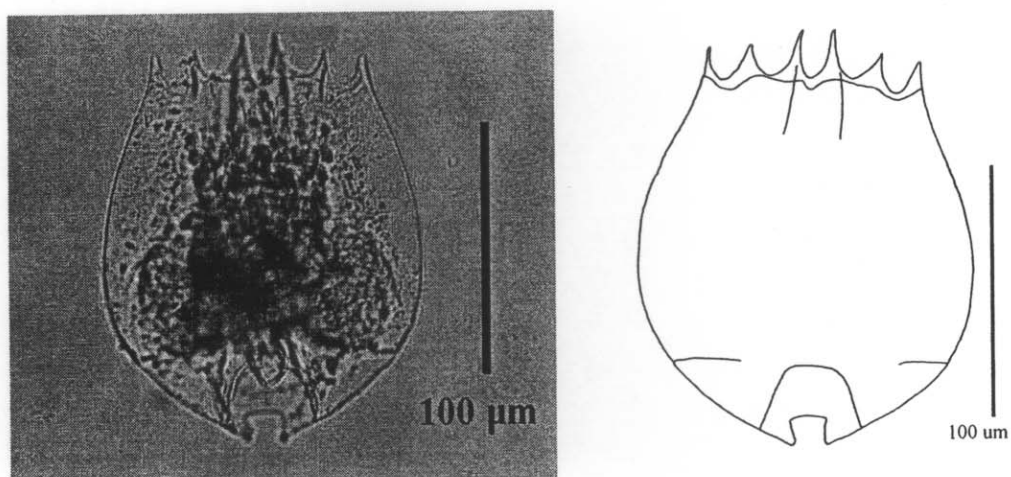
ก: ตัวเมีย (ด้านหลัง), ข: โรสตัรัม, ค: ท่อแรกซ์บล็องที่ 4-5,
ง: คอร์ตัลรามิ (ด้านหน้า), จ: ขาคู่ที่ 5 (ด้านท้าย), ฉ: ขาคู่ที่ 5 (ด้านหน้า)

4.2 รายละเอียดเกี่ยวกับสัณฐานวิทยาบางประการและการแพร่กระจายของโรติเฟอร์ที่พบริจราในประเทศไทย

Brachionus nilsoni (Ahlstrom, 1940) (ภาพที่ 34)

ลักษณะเด่นคือ รูปร่างคล้าย *B. urceolaris* (Müller, 1773) แต่ลักษณะของ *B. nilsoni* มีผิวที่ค่อนข้างเรียบ หนามตรงซ่องเปิดของเท้ามีลักษณะตรงปลายแหลม ซ่องเปิดของเท้าที่บริเวณแผ่นห้องกว้างขนาดความยาวลวิจิกาเท่ากับ 147 ในเมตร และความกว้างเท่ากับ 129 ในเมตร

พบการแพร่กระจายในลุ่มน้ำ Murray-Darling รัฐ ควีนแลนด์ และวิكتอเรีย ทางตอนใต้ของประเทศไทย ออสเตรเลีย (Shiel and Koste, 1979; Koste and Shiel, 1987) ในเขตเตอเชียตะวันออกเฉียงใต้มีรายงานการพบริจราในประเทศมาเลเซีย และสิงคโปร์ (Fernando and Zankai, 1981) จัดว่าเป็นชนิดที่หายากชนิดหนึ่ง จากการศึกษาในครั้งนี้พบริจรา 1 ตัวเท่านั้นในสถานีที่ 1 ของบึงบ่อระเพ็ด (ที่ละติจูด $15^{\circ} 41' 49''$ เหนือ- $15^{\circ} 41' 53''$ เหนือ และลองจิจูด $100^{\circ} 12' 43''$ ตะวันออก- $100^{\circ} 12' 49''$ ตะวันออก) โดยพบริจราตั้งกล่าวในฤดูร้อนของปีที่สองของ การศึกษา แหล่งที่พบริจรา มีพืชน้ำขึ้นหนาแน่น เช่น ต้นกก บัวฯ เป็นต้น



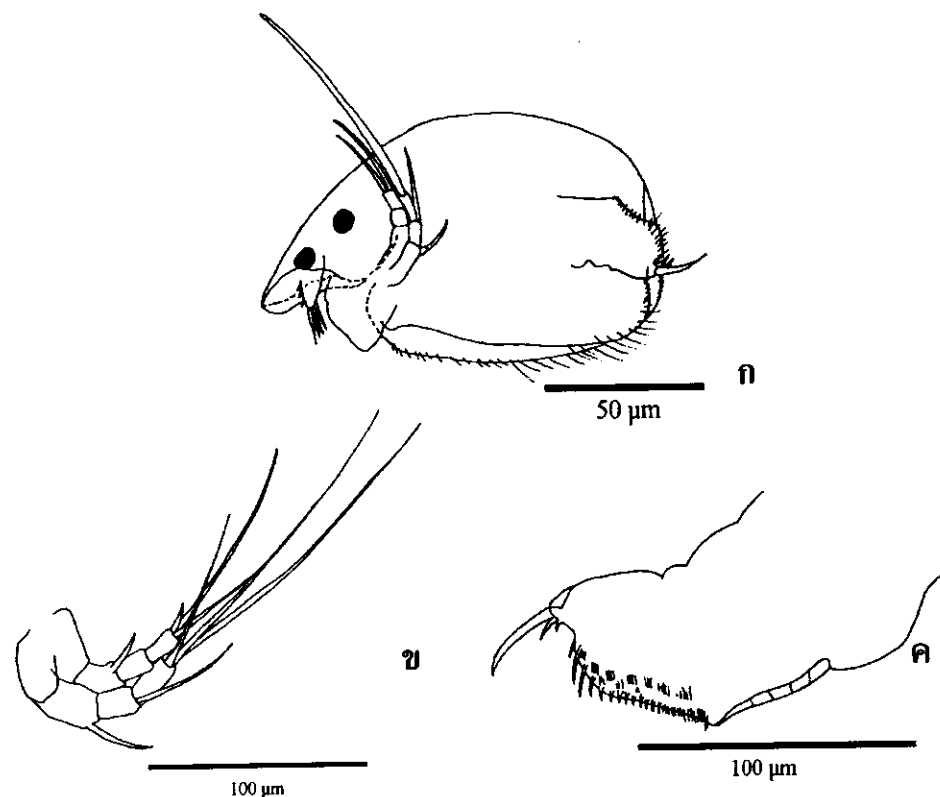
ภาพที่ 34 ภาพถ่ายและภาพวาดของโรติเฟอร์ที่พบริจราในประเทศไทย *Brachionus nilsoni*

4.3 รายละเอียดเกี่ยวกับสัณฐานวิทยาบางประการและการแพร่กระจายของคลาโดเซอร่าที่พบครั้งแรกในประเทศไทย

4.3.1 รายละเอียดเกี่ยวกับสัณฐานวิทยาบางประการของ *Armatalona macrocopa* (Sars, 1894)
(ภาพที่ 35 ก-ค)

ลักษณะเด่นคือ ด้านข้างของลำตัวมีรูปร่างค่อนข้างเป็นรูปไข่หรือสี่เหลี่ยมผืนผ้า ความยาวตัวเป็น 1.5-1.6 เท่าของความกว้าง ขอบด้านท้ายของลำตัวโค้งเล็กน้อยหรือตรง ขอบเปลือกด้านท้องมีชนยาประมาณ 35-45 เส้น มีชนขนาดเล็กอยู่บริเวณด้านในของเปลือก เปลือกมีลวดลายเป็นรูป平行เส้นตรง ดา ประกอบมีขนาดเป็น 2 เท่าของตาเดียว มี head pore 2 รู เชื่อมติดกับ labrum มีสันและมีรอยหาก postabdomen มีความยาวเป็น 2.4-2.6 เท่าของความกว้าง บริเวณขอบด้านท้ายของ postabdomen มีหนามเดี่ยว 4-6 อัน ส่วนบริเวณ abdominal มีกลุ่มของหนามและขน จำนวน 5-6 กสุ่ม ส่วนปลายของ postabdomen มีเล็บ 1 อัน ส่วนด้านของเล็บมีหนามเรียวยาว 1 อัน ความยาวของเล็บสั้นกว่าส่วน preanal ของ postabdomen หนวดคู่ที่ 1 ยาวไม่ถึงปลายสุดของ rostrum ด้านหน้ามีชนสันเรียงตัวเป็นแกรบอบหนวด ปลายสุดมีชนยาว 9 เส้น หนวดคู่ที่ 2 แบ่งออกเป็น 2 แขนงคือ exopod และ endopod ส่วนของ endopod แบ่งออกเป็น 3 ปล้อง ส่วนปลายของปล้องแรกมีหนามขนาดใหญ่ 1 อัน มีความยาวมากกว่าปล้องกลางและปล้องสุดท้ายของ endopod

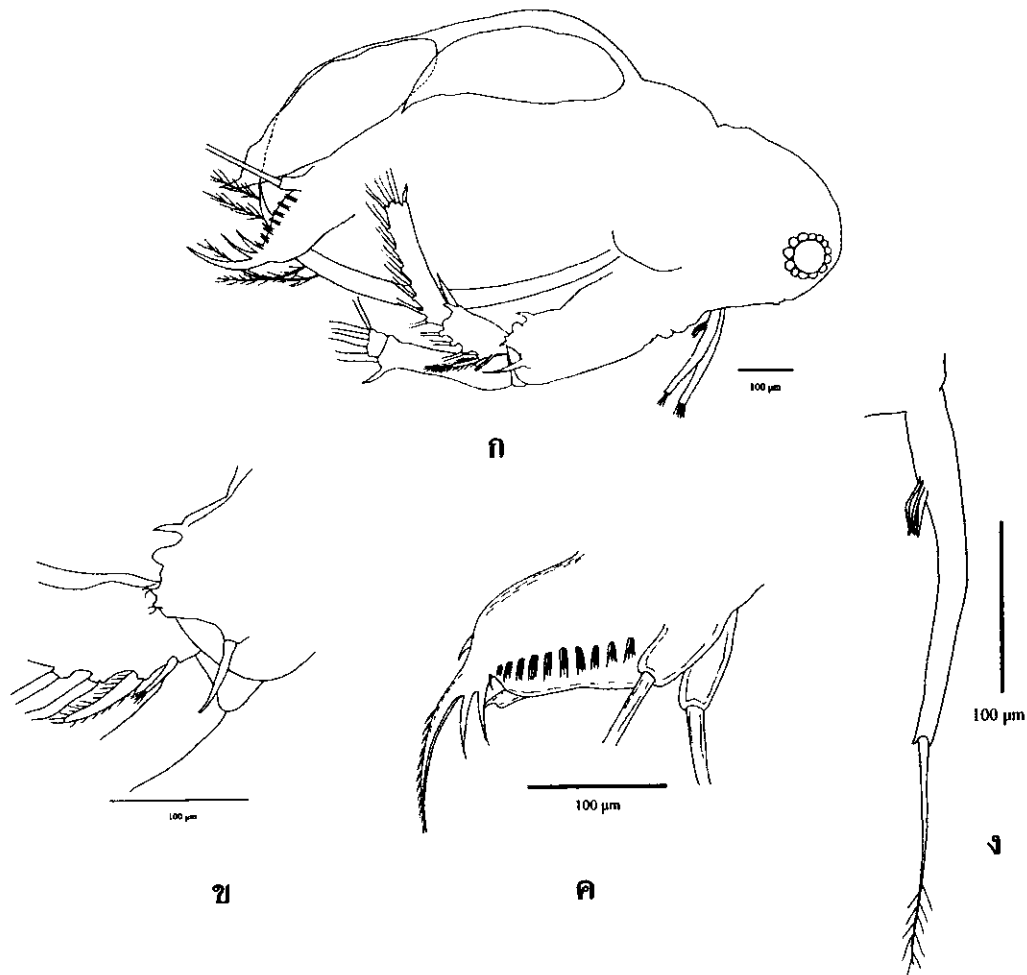
มีรายงานพบการแพร่กระจายในประเทศไทยอสเตรเลียและนิวซีแลนด์ (Sinev, 2004) จากการศึกษาครั้งนี้พบในสถานที่ 1 และ 2 ของปีโนโงะโดยพบเฉพาะในถูกหน้าของปีที่สองที่ทำการศึกษา แหล่งที่พบนั้นมีพืชนาขึ้นหนาแน่น เช่น ต้นอก บัวหลวง บัวฯ สาหร่ายข้าวเหนียว สาหร่ายทางกรรอก เป็นต้น



ภาพที่ 35 ภาพวาดของคลาโดเซอร่าที่พบเป็นครั้งแรกในประเทศไทย *Armatalona macrocopa*
ก: ตัวเต็มวัย, ข: หนวดคู่ที่ 2 และ ค: postabdomen

4.3.2 รายละเอียดเกี่ยวกับสัณฐานวิทยาบางประการของ *Pseudosida szalayi* Daday, 1898 (ภาพที่ 36ก-ง)
ลักษณะเด่นคือ ส่วนหัวกลม มีตาอยู่ทางด้านหน้าหรือด้านบนค่อนมาทางด้านท้องเล็กน้อย เพศเมียมีหนวดยาวประกอบด้วย sensory papillae เป็นแนงที่ยื่นออกบริเวณด้านข้างของส่วนฐานหนวดซึ่งทำหน้าที่รับสัมผัส ส่วนของ postabdomen มีติ่งยื่นออกมายื่นกลับส่วนฐานของ terminal claws

พบการแพร่กระจายในประเทศไทยเดียว และครีลังกา (Korovchinsky, 1992) จากการศึกษาครั้งนี้พบในสถานีที่ 1 และ 2 ของบึงโขงหลงซึ่งพบเฉพาะในถ้ำร้อนของทั้งสองปีที่ทำการศึกษา แหล่งที่พบนั้นมีพืชนำเสนอหนาแน่น เช่น ต้นอก บัวหลวง บัวนา สาหร่ายข้าวเหนียว สาหร่ายทางกรร Rog เป็นต้น



ภาพที่ 36 ภาพวาดของคลาโดยเชอร์ว่าที่พบเป็นครั้งแรกในประเทศไทย *Pseudosida szalayi*

ก: ตัวเต็มวัยเพศเมีย, ข: บริเวณส่วนปลายด้านนอกของเบซิโพไดท์,

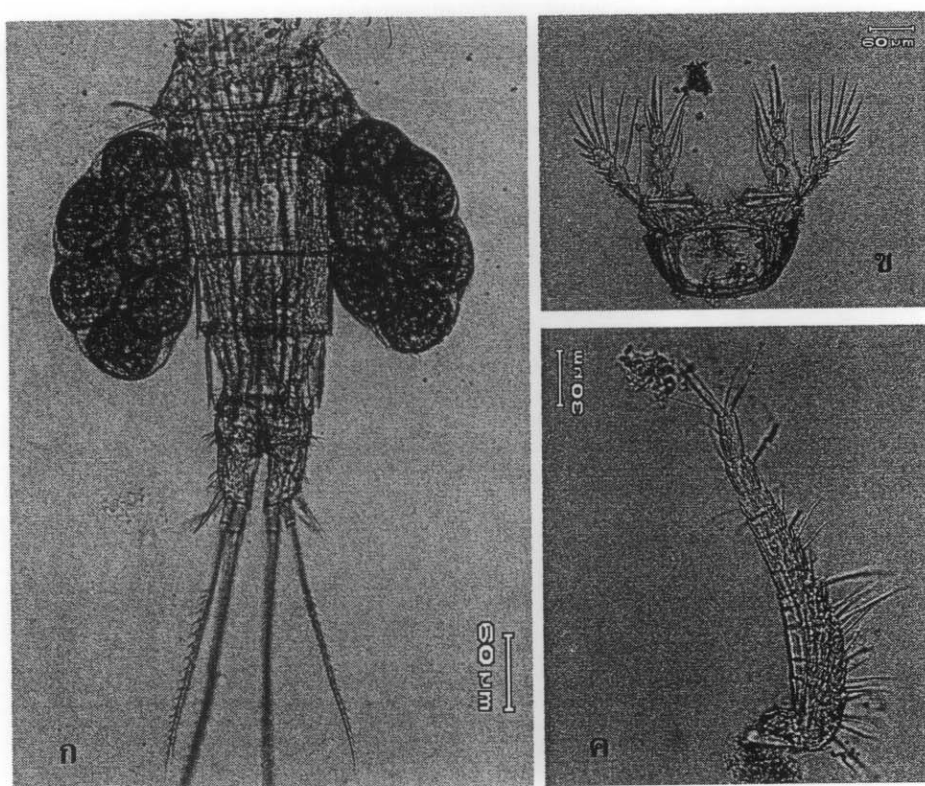
ค: postabdomen และ ง: ส่วนฐานของหนวด

4.4 รายละเอียดเกี่ยวกับสัณฐานวิทยาบางประการและการแพร่กระจายของโคพีพอดกลุ่มไซโคลโพยด์ที่พบครั้งแรกในประเทศไทย

4.4.1 *Ectocyclops polyspinosis* (Harada, 1931) (ภาพที่ 37)

ลักษณะเด่นคือ ด้านหลังของเฟอร์คัลารีมีหนามเรียงกันเป็นแถบหลาย ๆ แท่ง หนวดคู่ที่ 1 มี 11 ปล้อง ขาคู่ที่ 5 เป็นแผ่นติดกับท่อแรร์กซึ่งป้องกันที่ 5 ของลำตัว บนแผ่นนี้มีช่องกลางของขาคู่ที่ 4 มีหนามขนาดสั้น 3-4 อัน อยู่บริเวณปุ่มที่ญูนออกมากหันส่องข้าง และมีหนามยาว 1 อัน ตื้อกโซโลไดท์ของขาคู่ที่ 4 มีหนามจำนวนมากเรียงเป็นแถวยุบบริเวณผิว

พบรการแพร่กระจายในประเทศไทย จากการศึกษาในครั้งนี้ พบรเฉพาะสถานีที่ 3 ของบึงโขงหลง โดยพบรได้ทุกฤดูกาลในปีที่สองของการศึกษา แหล่งที่พบรนั้นมีพืชน้ำเขียวหนาแน่น เช่น บัวหลวง บัวสาย บัวนาสาหร่ายข้าวเหนียว สาหร่ายทางกรร Rog เป็นต้น

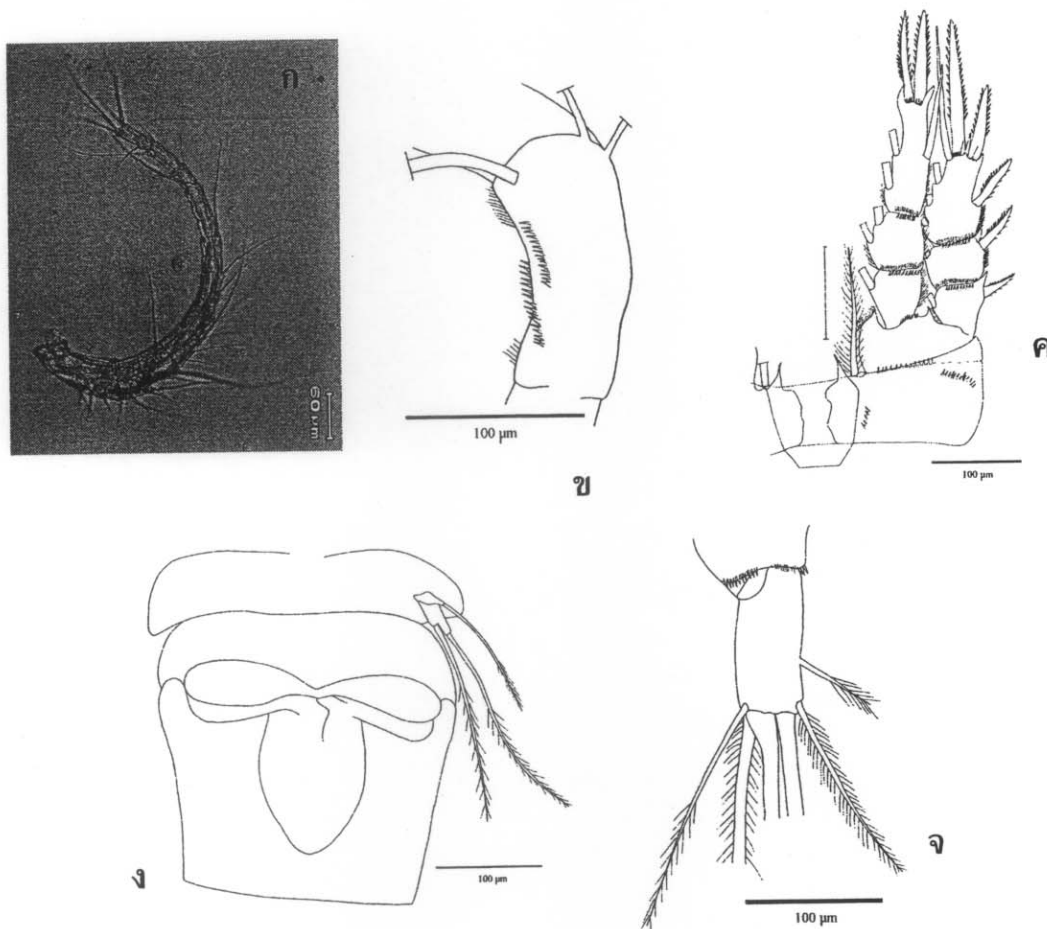


ภาพที่ 37 ภาพถ่ายโคพีพอดกลุ่มไซโคลโพยด์ที่พบรเป็นครั้งแรกในประเทศไทย *Ectocyclops polyspinosis*
ก: ขาคู่ที่ 5 และป้องลังสีบันธุ์เพสเมีย, ข: ขาคู่ที่ 4 และ ค: หนวดคู่ที่ 1

4.4.2 *Mesocyclops pehpeiensis* Hu, 1943 (ภาพที่ 38)

ลักษณะเด่นคือ หนวดคู่ที่ 1 มี 17 ปล้อง บริเวณท่อแรกซับล้องที่ 5 ไม่มีขัน บริเวณขาคู่ที่ 5 ชีติด้านในจะมีความยาวมากกว่าหรือเท่ากับชีติด้านข้าง ลักษณะของช่องสืบพันธุ์เพศเมียค่อนข้างกลม เบซิโพไดท์ขาคู่ที่ 4 ไม่มีขัน ปล้องเบซิโพไดท์ด้านท้าย มีหานามขนาดเล็กอยู่เป็นกลุ่มที่บริเวณด้านท้ายสุดของปล้อง บริเวณแผ่นเชื่อมตรงกลางของขาคู่ที่ 4 มีหานามแหลมสองอันเห็นได้อย่างชัดเจน และบริเวณค็อกโซโคไซโพไดท์ใกล้แผ่นเชื่อมตรงกลางของขาคู่ที่ 4 มีหานามข้างละ 1 อัน ส่วนปลายสุดของอearnidoไดท์ขาคู่ที่ 4 มีหานามที่มีความยาวเท่ากันจำนวน 2 อัน

จากการศึกษาในครั้งนี้ พบรีซีส์ดังกล่าวในสถานีที่ 1 ของบึงโขงหลง โดยพบทุกฤดูกาลตลอดระยะเวลาของการศึกษา แหล่งที่พบนั้นมีพืชน้ำเขียวหนาแน่น เช่น บัวหลวง บัวสาย บัวนา สาหร่ายข้าวเหนียว สาหร่ายทางกรรรอก เป็นต้น



ภาพที่ 38 ภาพถ่ายและภาพวาดของໂຄຟພອດກຸ່ມໃຫໂຄລພອຍດໍທີ່ພັບເປັນຄັ້ງແຮກໃນປະເທດໄທ

Mesocyclops pehpeiensis ก: หนวดคู่ที่ 1, ข: เบซิโพไดท์ของหนวดคู่ที่ 2,

ค: ขาคู่ที่ 4 ข้างขวา และแผ่นเชื่อมขาข้างซ้ายและขาของขาคู่ที่ 4, ຈ: ขาคู่ที่ 5 และปล้องสืบพันธุ์เพศเมีย, ຈ: ເຟຝຣຳຕາແລະເຟຝຣຳຕານິ

5. การศึกษาชีววิทยาของการเจริญเติบโตและการเพาะเลี้ยงໂຣຕີເຟ່ວ

5.1 การคัดเลือกชนิดของแพลงก์ตอนพืช

ทำการแยกชนิดของแพลงก์ตอนพืชจากตัวอย่างน้ำที่เก็บมาจากบึงอะเพ็ต ปฏิบัติตามขั้นตอนดังที่กล่าวมาแล้วในบทที่ 3 ได้แพลงก์ตอนพืช (สาหร่ายสีเขียว) จำนวน 2 ชนิดคือ *Crucigenia* sp. (ภาพที่ 39ก) และ *Scenedesmus* sp. (ภาพที่ 39ช) นำมาเลี้ยงเปรียบเทียบกับ *Chlorella* sp. (ภาพที่ 39ค) ซึ่งเป็นแพลงก์ตอนพืชที่นิยมใช้กันอย่างแพร่หลายในการเพาะเลี้ยงสัตว์น้ำทั้งในประเทศไทยและต่างประเทศ สาหรับในต่างประเทศมีรายงานการนำ *Chlorella* sp. และ *Scenedesmus costato-granulatus* เลี้ยงໂຣຕີເຟ່ວน้ำจืด *Brachionus calyciflorus* และ *B. bidens* พบร่วมกันเพื่อการเจริญเติบโตของໂຣຕີເຟ່ວสปีชීສ์ดังกล่าว (Dhert, 1996)

ลักษณะทั่วไปของแพลงก์ตอนพืชที่ใช้ในการศึกษานี้ดังต่อไปนี้

5.1.1 *Crucigenia* sp. (ภาพที่ 39ก)

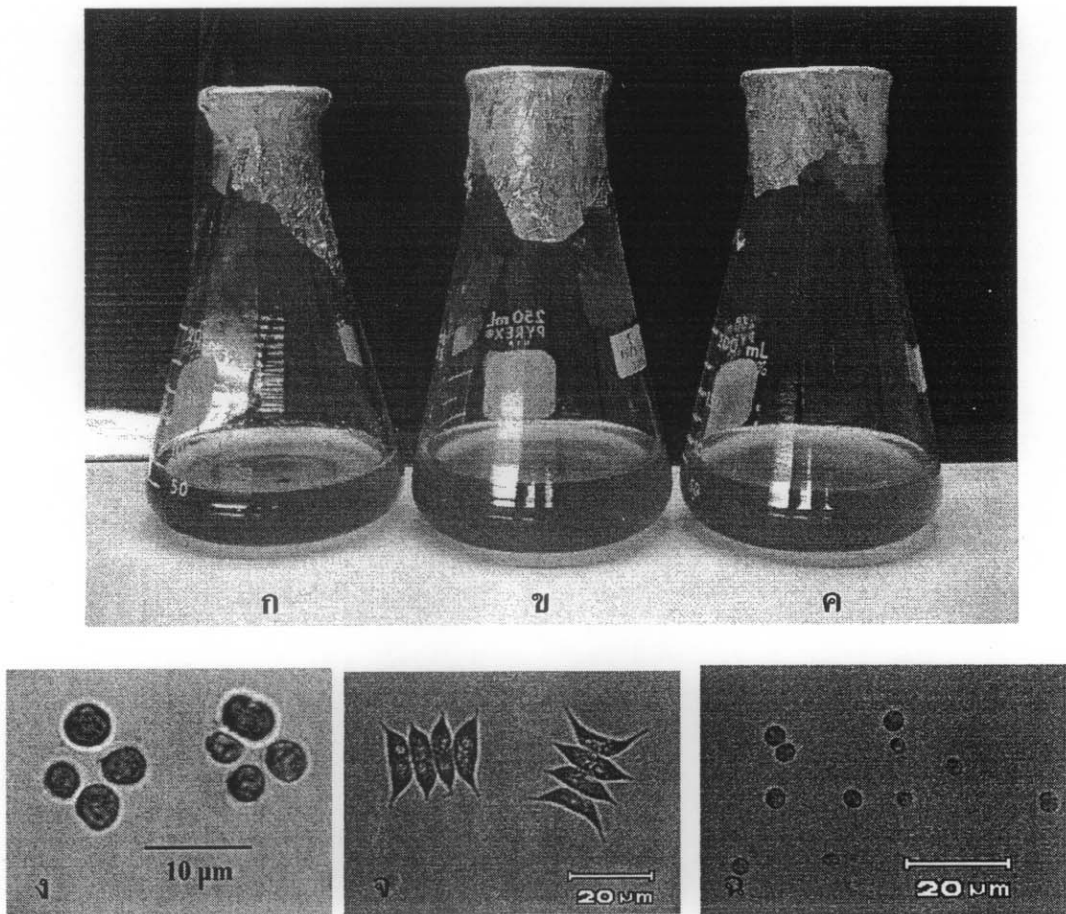
พบในแหล่งน้ำนิ่ง การดำรงชีวิต ล่องลอยเป็นอิสระในแหล่งน้ำ เชลล์มีสีเขียว รูปร่างเป็นรูปสี่เหลี่ยม ลักษณะกลุ่มเซลล์เป็นแบบ coenobia นิ 4 เชลล์ เชลล์มีขนาด 5-10 ไมโครเมตร (ยุวดี พิรพารพิศาลา, 2548) ยังไม่เคยมีรายงานการนำแพลงก์ตอนพืชชนิดนี้มาใช้ในการเพาะเลี้ยงสัตว์น้ำมาก่อน จึงไม่พบรายงานเกี่ยวกับคุณค่าทางอาหารของแพลงก์ตอนพืชดังกล่าว

5.1.2 *Scenedesmus* sp. (ภาพที่ 39ช)

พบในแหล่งน้ำนิ่งและน้ำไหลเอื่อย การดำรงชีวิต ล่องลอยเป็นอิสระและ/หรือดำรงชีวิตแบบเกาะเชลล์มีสีเขียว กลุ่มเซลล์แบบอาจพาเมลักจะแบนเป็นเส้นแบนๆ เชลล์อยู่ร่วม 2-4-8 เชลล์ มีลักษณะโค้งรูปไข่แบบหรือรูปไข่ การเรียงตัวอาจเป็น 1-2 แฉว โดยใช้ด้านข้างเซลล์เชื่อมกัน ผนังเซลล์เรียบหรือมีลักษณะคล้ายเนื้อเล็กๆ ติดอยู่ เชลล์มีขนาด 5-10x20-30 ไมโครเมตร (ยุวดี พิรพารพิศาลา, 2548) มีคุณค่าทางอาหารสูง เหมาะสมที่จะนำไปเพาะเลี้ยงเพื่อเป็นอาหารของแพลงก์ตอนสัตว์ชั้นรวมถึงໂຣຕີເຟ່ວด้วย โดยน้ำหนักแห้งของแพลงก์ตอนพืชชนิดนี้ประกอบด้วยโปรตีน คาร์โบไฮเดรต เด็ก้า ไฟเบอร์ และไขมัน คิดเป็นร้อยละ 53, 13, 14, 11 และ 7 ตามลำดับ (El-Fouly et al., 1985)

5.1.3 *Chlorella* sp. (ภาพที่ 39ค)

เป็นสาหร่ายสีเขียวเซลล์เดียว ดำรงชีวิตแบบล่องลอยเป็นอิสระในแหล่งน้ำ เชลล์มีขนาด 2.5-3.5 ไมโครเมตร (ลัดดา วงศ์รัตน์, 2543) ในวงการเพาะเลี้ยงสัตว์น้ำจืดทั้งในประเทศไทยและต่างประเทศ นิยมใช้ *Chlorella* sp. เป็นอาหารเบื้องต้นในการเพาะเลี้ยงสัตว์น้ำ เนื่องจากมีคุณค่าทางอาหารสูง โดยน้ำหนักแห้งของแพลงก์ตอนพืชชนิดนี้ประกอบด้วยโปรตีน คาร์โบไฮเดรต เด็ก้า ไฟเบอร์ และไขมัน คิดเป็นร้อยละ 52, 14, 14, 11 และ 6 ตามลำดับ (El-Fouly et al., 1985)

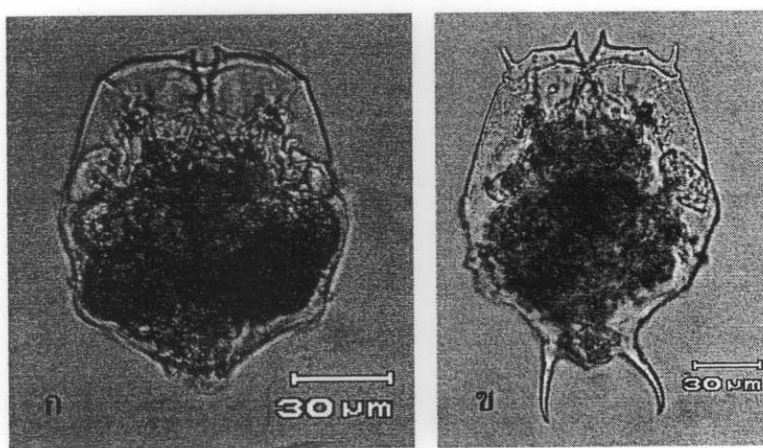


ภาพที่ 39 แพลงก์ตอนพืชที่ใช้ในการเพาะเลี้ยงโพรติเฟอร์

ก, ง: *Crucigenia* sp., ข, จ: *Scenedesmus* sp., ค, ฉ: *Chlorella* sp.,

5.2 การเพาะเลี้ยงໂຣດີເຟ່ອ

จากการคัดเลือกໂຣດີເຟ່ອຈາກແຫ່ງນ້ຳອຮມໜາຕິຈຳນວນ 2 ສປີສັ່ນຄື່ອ *Brachionus angularis* (ກາພທີ 40 ก) ແລະ *B. caudatus* (ກາພທີ 40ຂ) ນໍາມາເພັດເລີ່ມເພື່ອສຶກຂາຊີວິທາຂອງການເຈົ້າໃຫຍ່ໂຣດີເຟ່ອ ໂດຍໂຣດີເຟ່ອນີດ ດັ່ງກ່າວນີ້ໃຊ້ເປັນຕົວແທນຂອງໂຣດີເຟ່ອທີ່ພບໃນບິນບອະເພີ້ດ ແລະບິນໂຂງຫລັງ ຕາມລຳດັບ ເນື່ອຈາກເປັນໜີດທີ່ພບ ສໍາເນົມອຕລອດການສຶກຂາໃນຄຮັນນີ້ ຜົນມີມາຍລະເອີດດັ່ງຕ່ອນໄປນີ້



ກາພທີ 40 ແພລົງກົດອນສັດວົນທີ່ນໍາມາທດລອງເພັດເລີ່ມ

ກ: *Brachionus angularis* Gosse ແລະ ຂ: *B. caudatus* Barrois and Daday

5.2.1 ການເພັດເລີ່ມ *Brachionus angularis*

5.2.1.1 ສຶກຂາຊີວິທາຂອງການເຈົ້າໃຫຍ່ໂຣດີເຟ່ອຂອງ *B. angularis* ໃນສກາວກາສຶບພັນຖຸແບບໄມ່ມີເປັດ (ພາຣີທີ່ໂນເຈນເຊີສ) ໂດຍໃຫ້ *Chlorella* sp. ມີຄວາມໜາແນ່ນ $2.5-5.0 \times 10^4$ ເໜັດສົດຕ່ອມລິລິຕິ ເປັນອາຫາດ ເລີ່ມທີ່ອຸປະກູມີຫ້ອງ (27-32 ອົງຄາເຊີລ໌ເຊີຍສ) ພບວ່າໂຣດີເຟ່ອແຮກເກີດຈະມີຮູ່ປ່ຽນຄລ້າຍຕົວເຕີມວັນເພີ່ມແຕ່ມີໜີດທີ່ເລີກກວ່າໂຣດີເຟ່ອແມ່ພັນຖຸຕົວເຕີມວັນ ເຮັ່ນສ້າງໃໝ່ຈຶ່ງຈະສັງເກດຖ້ວນເໜັດໃຫ້ຢູ່ກ່າຍໃນຫ້ອງທ້ອງເນື່ອຈາກໂຣດີເຟ່ອມີລ້າຕົວຕ່ອນຂ້າງໄສ ແລະເນື່ອໃຫ້ພັດທານການມະຍະເວລາທີ່ນີ້ ແມ່ພັນຖຸຈະເຄີ່ອນທີ່ໃຫ້ອູ່ກ່າຍໃນລຳຕົວອອກມາອູ່ຂ້າງນອກລ້າຕົວຈະດີດອູ່ທີ່ບໍລິເວນດ້ານທ້າຍຂອງລ້າຕົວ ແລະມີພັດທານການຕ່ອງອົກຮະເວລາທີ່ນີ້ຕ້ວອ່ອນພວ່ນຈະອອກຈາກຕົວແມ່ຈຶ່ງອອກເປັນລູກໂຣດີເຟ່ອຕ່ອປ່າໄມ ຈາກລູກໂຣດີເຟ່ອຈະມີການເຈົ້າໃຫຍ່ໂຣດີເຟ່ອມີການເພີ່ມໜີດຂອງຮູ່ປ່ຽນຈົນໂຕເຕີມທີ່ເປັນແມ່ພັນຖຸ ແລະເຮັ່ນໃຫ້ໃຂ່ຄຮັງແຮກເນື່ອມີອາຍຸເລີ່ມ 28.9 ຊ້ວນໂມງ (ຄວາມຄລາດເຄີ່ອນມາຕຽບກູ່ມາ 5.15 ຊ້ວນໂມງ) ແລະໃຫ້ໃຂ່ຄຮັງຕ່ອປ່າໄມເນື່ອມີພັນຖຸມີອາຍຸເພີ່ມຂຶ້ນຫລັງຈາກໃຫ້ໃຂ່ຄຮັງແຮກແລ້ວ ໂດຍເລີ່ມ 14.6 ຊ້ວນໂມງ (ຄວາມຄລາດເຄີ່ອນມາຕຽບກູ່ມາ 4.16 ຊ້ວນໂມງ) ແມ່ພັນຖຸໂຣດີເຟ່ອຈະທ່ອຍໃຫ້ໃຂ່ຄຮັງລະ 1 ພອງ ແຕ່ໃຫ້ພົອເມີຍໃນເຈົ້າໃຫຍ່ເປັນຕົວອ່ອນ ໂຣດີເຟ່ອກີ່ສາມາດສ້າງໃໝ່ເພີ່ມຂຶ້ນອົກທໍາໃຫ້ພບວ່າມີຈຳນວນໃຊ້ດີດອູ່ທີ່ຕົວແມ່ນາກຄື່ງ 3 ພອງ ຕລອດຂ່າງຍຸ້ຂ້າຍຈະໄຫ້ລູກເລີ່ມ 14.7 ຕົວ (ຄວາມຄລາດເຄີ່ອນມາຕຽບກູ່ມາ 0.91 ຕົວ) ໂຣດີເຟ່ອສປີສັ່ນນີ້ມີອາຍຸຂ້າຍໂດຍເລີ່ມ 8.96 ວັນ (ຄວາມຄລາດເຄີ່ອນມາຕຽບກູ່ມາ 0.75 ວັນ)

ຈະເຫັນໄດ້ວ່າຮະຕົວອ່ອນຂອງໂຣດີເຟ່ອຈົນຄື່ງຕົວເຕີມວັນ ມີລັກຜະນະຄລ້າຍຄລິ້ງກັນໃນແຕ່ລະຮະຍະຂອງວັຍຈະໄມ່ເຫັນຄວາມແຕກຕ່າງກັນໃນຮະຕົວຕ່າງໆ ອ່າງໜັງ (ກາພທີ 41) ຜົນສອດຄລ້ອງກັນການສຶກຂາຂອງ Sanoamuang (1993) ທີ່ရ່າງຈານວ່າໂຣດີເຟ່ອໃນຮະຕົວອ່ອນຈົນຄື່ງຕົວເຕີມວັນມີຮູ່ປ່ຽນໂດຍທີ່ໄປທີ່ຄລ້າຍຄລິ້ງກັນໄນ້

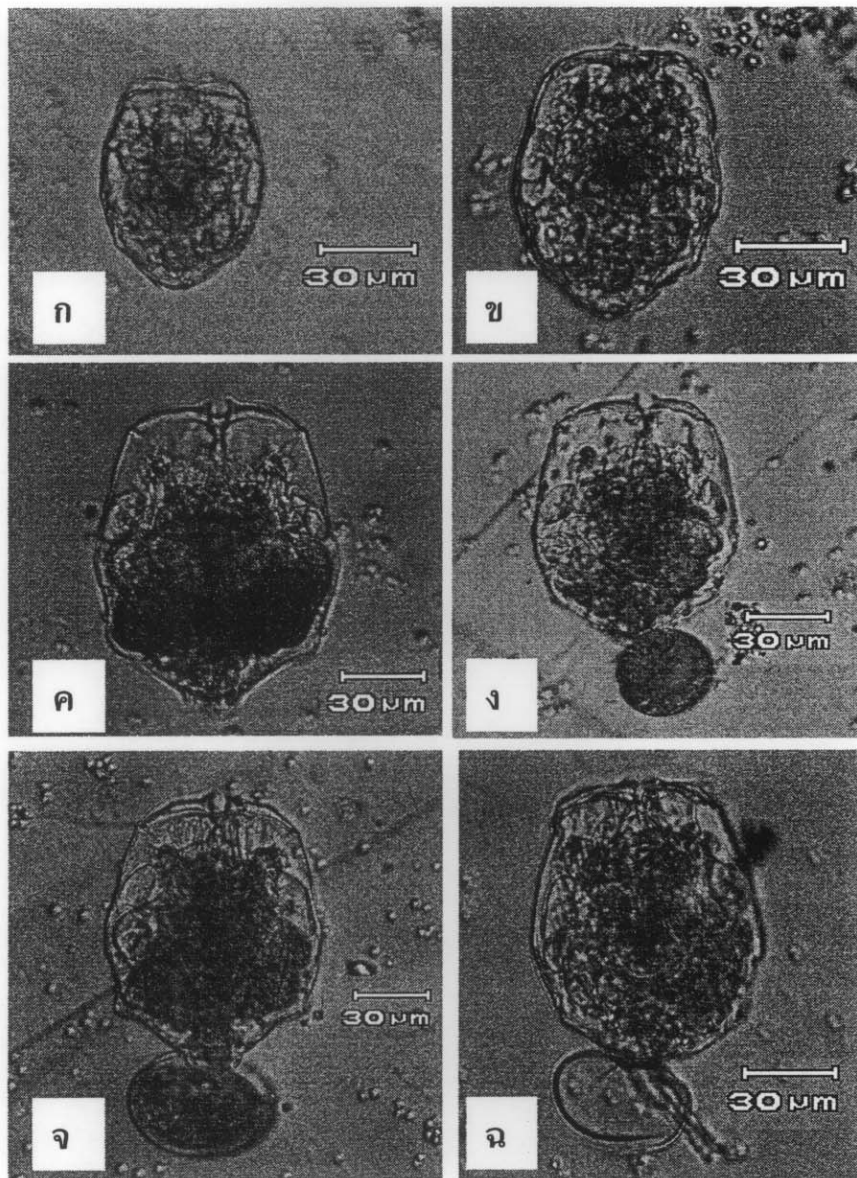
สามารถแบ่งออกเป็นระยะของวัยต่าง ๆ ได้อย่างชัดเจน เมื่อเปรียบเทียบกับแพลงก์ตอนสัตว์ในกลุ่มโคพิพอดซึ่งมีระยะของวัยต่าง ๆ อย่างชัดเจน เริ่มตั้งแต่ระยะนอเพลียส เจริญเติบโตเป็นระยะโคพิพอด์ และพัฒนาการจนกระทั่งเป็นตัวเต็มวัยในที่สุด (เนยัน ครีวิคซ์, 2548)

5.2.1.2 ชนิดของแพลงก์ตอนพืชต่อการเจริญเติบโตของ *Brachionus angularis*

ในการศึกษาชนิดของแพลงก์ตอนพืช 3 ชนิดคือ *Chlorella* sp., *Crucigenia* sp. และ *Scenedesmus* sp. ต่อการเจริญเติบโตของ *B. angularis* เลี้ยงที่อุณหภูมิห้อง ผลการศึกษาใช้การทดสอบความแตกต่างระหว่างประชากรหลายกลุ่มด้วย Kruskal Wallis test และเปรียบเทียบเชิงช้อนด้วยวิธี Dunn ได้ผลดังนี้

การเจริญเติบโตของ *B. angularis* ที่เลี้ยงด้วยแพลงก์ตอนพืชต่างกัน 3 ชนิด พบว่า *Chlorella* sp. ให้ผลการเจริญเติบโตของโรติเฟอร์ชนิดนี้ดีที่สุด มีความหนาแน่นเฉลี่ยสูงสุดในวันที่ 6 ของการเลี้ยงมีค่าเท่ากับ 387.2 ตัว (ความคลาดเคลื่อนมาตรฐาน 20.43 ตัว) (ตารางที่ 23, ภาพที่ 42 และภาพที่ 43) โรติเฟอร์ชนิดนี้มีอายุชัยเฉลี่ย 8.96 วัน (ความคลาดเคลื่อนมาตรฐาน 0.75 วัน) เมื่อทดสอบทางสถิติพบว่าแตกต่างกันอย่างมีนัยสำคัญ ($p<0.05$) กับที่เลี้ยงด้วย *Crucigenia* sp. และ *Scenedesmus* sp.

จากการทดลองจะเห็นได้ว่าการเลี้ยงโรติเฟอร์ด้วย *Chlorella* sp. มีอัตราการเจริญเติบโตดีที่สุดทั้งนี้อาจเนื่องมาจาก *Chlorella* sp. เป็นสาหร่ายเซลล์เดียว ในขณะที่ *Crucigenia* sp. และ *Scenedesmus* sp. มักจะอยู่ร่วมกันเป็นกลุ่มเซลล์ และเซลล์ของ *Scenedesmus* sp. จะมีหนานที่ยื่นยาวออกมายื่งสองข้างของเซลล์ ทำให้โรติเฟอร์ไม่สามารถกินได้อย่างสะดวก นอกจากนี้ยังพบว่า *Chlorella* sp. เป็นอาหารที่สำคัญในการเลี้ยงแพลงก์ตอนสัตว์ได้หลายชนิด ดังตัวอย่างงานวิจัยของ Sarma and Nandini (2001) ทำการเพาะเลี้ยงโรติเฟอร์น้ำจืด *Brachionus variabilis* Hempeii ด้วย *Chlorella vulgaris* ที่ระดับความหนาแน่นของอาหารแตกต่างกัน พบร้าโรติเฟอร์มีการเจริญเติบโตดี



ภาพที่ 41 พัฒนาการของ *Brachionus angularis* ตั้งแต่ระยะแรกเกิดถึงตัวเต็มวัย

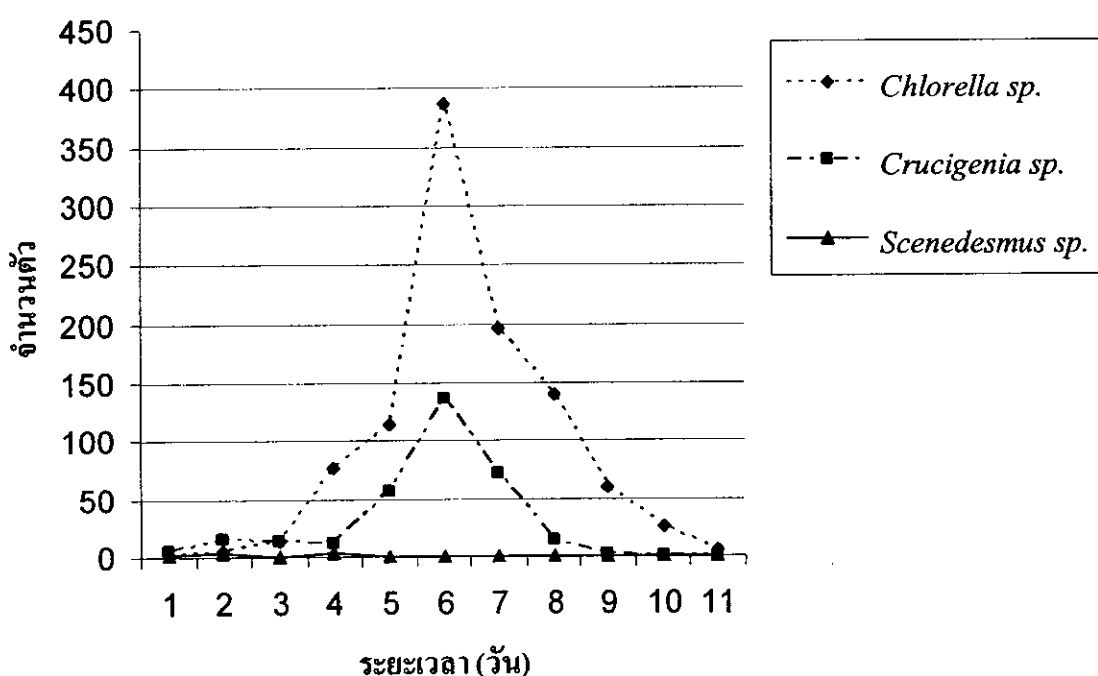
ก: แรกเกิด, ข: อายุ 1 วัน, ค: ตัวเต็มวัย, ง: เริ่มสร้างถุงไข่,

จ: ระยะไข่แก่ และ ฉ: เพิ่งให้กำเนิดตัวลูกและคงเหลือถุงไข่ติดอยู่กับตัวแม่

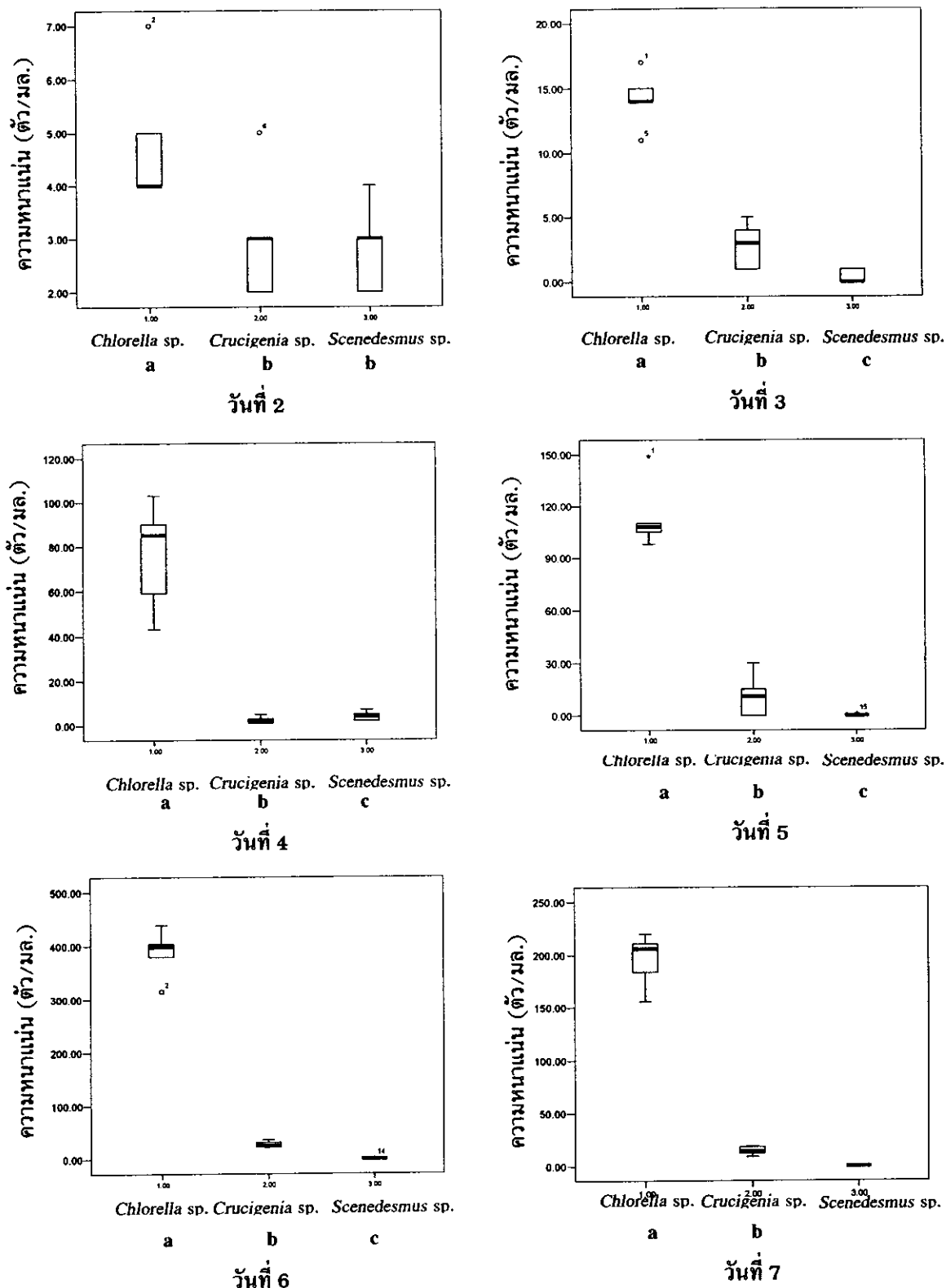
ตารางที่ 23 ปริมาณเฉลี่ย (ตัวต่อมิลลิลิตร) ของ *B. angularis* ที่เลี้ยงด้วยแพลงก์ตอนพืชต่างกัน 3 ชนิด
(ค่าเฉลี่ย±ความคลาดเคลื่อนมาตรฐาน)

อายุของโรคเพอร์ (วัน)	ชนิดของแพลงก์ตอนพืช		
	<i>Chlorella sp.</i>	<i>Crucigenia sp.</i>	<i>Scenedesmus sp.</i>
1	1.2 ^a ±0.2	1 ^a ±0	1 ^a ±0
2	4.8 ^a ±0.58	3.0 ^a ±0.55	2.8 ^a ±0.37
3	14.2 ^a ±0.97	2.8 ^{ab} ±0.8	0.4 ^b ±0.24
4	76.0 ^a ±10.92	2.4 ^{ab} ±0.75	4.0 ^b ±0.95
5	114.0 ^a ±8.98	11.2 ^{ab} ±5.56	0.2 ^b ±0.2
6	387.2 ^a ±20.43	27.4 ^{ab} ±2.66	0.2 ^b ±0.2
7	195.4 ^a ±11.50	14.4 ^a ±1.86	0
8	139.4 ^a ±8.69	2.6 ^a ±0.24	0
9	59.6 ^a ±8.23	0.2 ^a ±0.2	0
10	25.0±4.25	0	0
11	4.6±1.36	0	0

หมายเหตุ ตัวอักษรภาษาอังกฤษที่เหมือนกันแสดงว่าไม่มีความแตกต่างมีนัยสำคัญที่ระดับ 0.05



ภาพที่ 42 ค่าเฉลี่ยการเจริญเติบโตของ *Brachionus angularis* ที่เลี้ยงด้วยแพลงก์ตอนพืชต่างกัน 3 ชนิด



ภาพที่ 43 ความหนาแน่นของ *Brachionus angularis* ที่เลี้ยงด้วยแพลงก์ตอนพืชต่างกัน 3 ชนิด
(ตัวอักษรภาษาอังกฤษที่เหมือนกันแสดงว่าไม่มีความแตกต่างกันอย่างมั่นยำสำคัญที่ 0.05)

5.2.2 การเพาะเลี้ยง *Brachionus caudatus*

5.2.2.1 ศึกษาชีววิทยาของการเจริญเติบโตของ *B. caudatus* ในสภาวะการสืบพันธุ์แบบไม่มีเพศ โดยให้ *Chlorella sp.* มีความหนาแน่น $2.5-5.0 \times 10^4$ เซลล์ต่อมิลลิลิตร เป็นอาหาร เลี้ยงที่อุณหภูมิห้อง (27-32 องศาเซลเซียส) แม้พันธุ์โรคเริ่มให้ไข่ครั้งแรกเมื่ออายุเฉลี่ย 11.8 ชั่วโมง (ความคลาดเคลื่อนมาตรฐาน 0.2 ชั่วโมง) และให้ไข่ครั้งต่อไปเมื่อแม้พันธุ์มีอายุเพิ่มขึ้นหลังจากให้ไข่ครั้งแรกแล้ว โดยเฉลี่ย 2.7 ชั่วโมง (ความคลาดเคลื่อนมาตรฐาน 0.15 ชั่วโมง) แม้พันธุ์โรคจะให้ไข่ครั้งละ 1 ฟอง และตลอดช่วงอายุขัยสามารถให้ลูกเฉลี่ย 18.4 ตัว (ความคลาดเคลื่อนมาตรฐาน 0.83 ตัวตัว) โรคเฟอร์สเปซินมีอายุขัยโดยเฉลี่ย 2.82 วัน (ความคลาดเคลื่อนมาตรฐาน 0.07 วัน)

5.2.2.2 ชนิดของอาหารต่อการเจริญเติบโตของ *Brachionus caudatus*

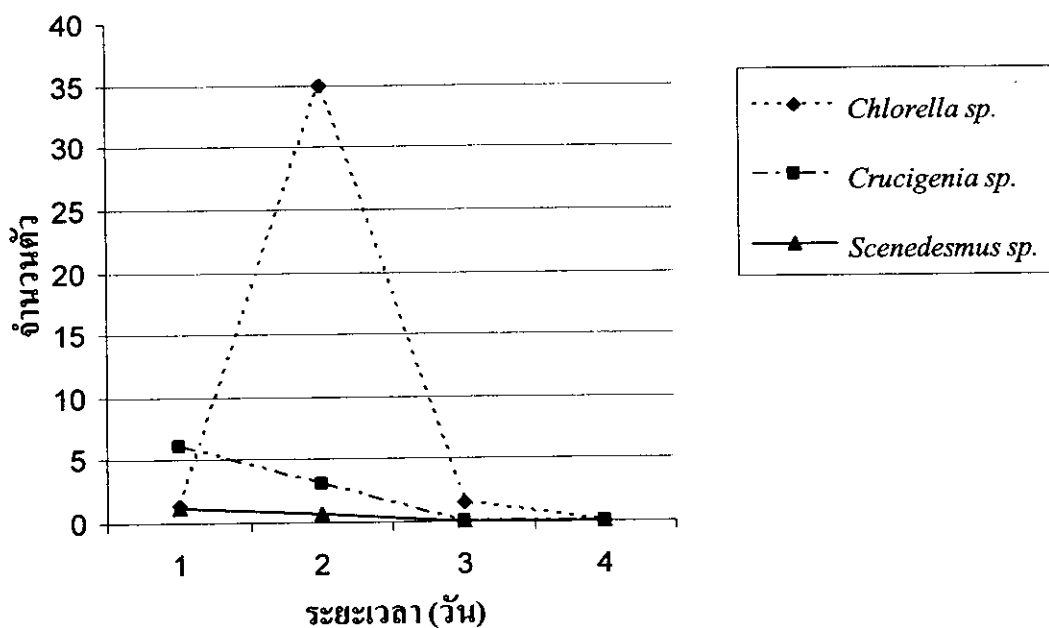
ในการศึกษาชนิดของแพลงก์ตอนพืช 3 ชนิดคือ *Chlorella sp.*, *Crucigenia sp.* และ *Scenedesmus sp.* ต่อการเจริญเติบโตของ *B. caudatus* เลี้ยงที่อุณหภูมิห้อง ผลการศึกษาใช้การทดสอบความแตกต่างระหว่างประชากรหลายกลุ่มด้วย Kruskal Wallis test และเปรียบเทียบเชิงช้อนด้วยวิธี Dunn ได้ผลดังนี้

การเจริญเติบโตของ *B. caudatus* ที่เลี้ยงด้วยแพลงก์ตอนพืชต่างกัน 3 ชนิด พบว่า *Chlorella sp.* ให้ผลการเจริญเติบโตของโรคเฟอร์ชนิดนี้ดีที่สุด พบจำนวนตัวเฉลี่ยสูงสุดในวันที่ 2 ของการเลี้ยงมีค่าเท่ากับ 35.0 ตัว (ความคลาดเคลื่อนมาตรฐาน 3.41 ตัว) (ตารางที่ 24, ภาพที่ 44 และภาพที่ 45) เมื่อทดสอบทางสถิติพบว่า แตกต่างกันอย่างมีนัยสำคัญ ($p<0.05$) กับที่เลี้ยงด้วย *Crucigenia sp.* และ *Scenedesmus sp.*

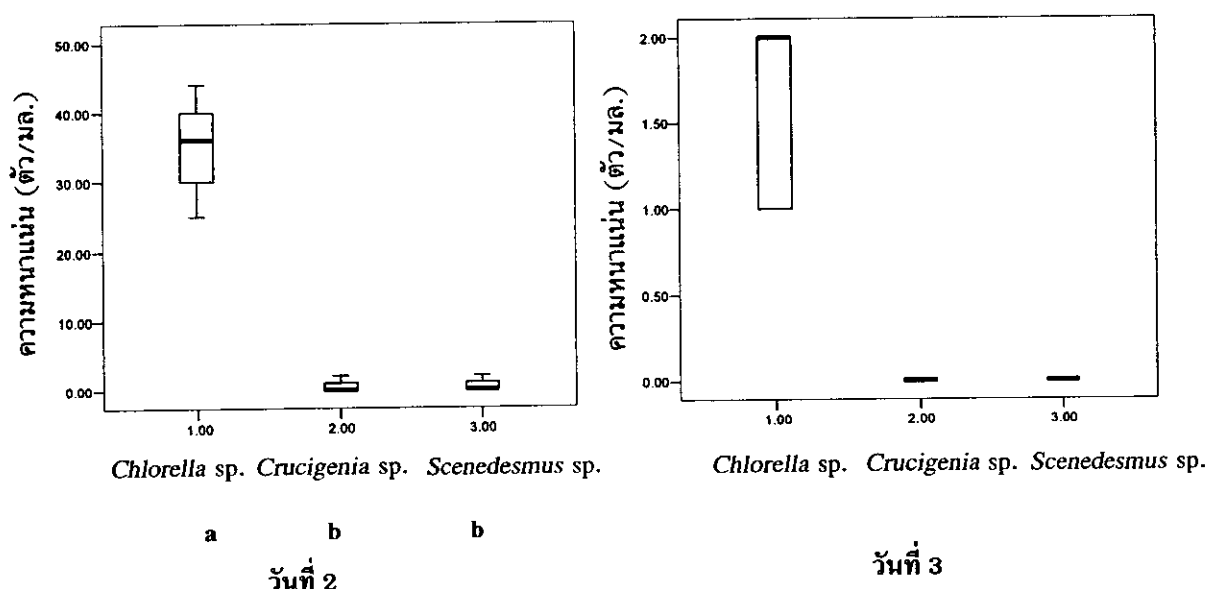
ตารางที่ 24 ปริมาณเฉลี่ย (ตัวต่อมิลลิลิตร) ของ *B. caudatus* ที่เลี้ยงด้วยแพลงก์ตอนพืชต่างกัน 3 ชนิด
(ค่าเฉลี่ย±ความคลาดเคลื่อนมาตรฐาน)

อายุของโรคเฟอร์ (วัน)	ชนิดของแพลงก์ตอนพืช		
	<i>Chlorella sp.</i>	<i>Crucigenia sp.</i>	<i>Scenedesmus sp.</i>
1	$1.2^a \pm 0.2$	$1.2^a \pm 0.2$	$1.2^a \pm 0.2$
2	$35^a \pm 3.41$	$0.6^b \pm 0.4$	$0.6^b \pm 0.4$
3	1.6 ± 0.24	0	0

หมายเหตุ ตัวอักษรภาษาอังกฤษที่เหมือนกันแสดงว่าไม่มีความแตกต่างกันอย่างมีนัยสำคัญที่ระดับ 0.05



ภาพที่ 44 ค่าเฉลี่ยการเจริญเติบโตของ *Brachionus caudatus* ที่เลี้ยงด้วยแพลงก์ตอนพืชต่างกัน 3 ชนิด



ภาพที่ 45 ความหนาแน่นของ *Brachionus caudatus* ที่เลี้ยงด้วยแพลงก์ตอนพืชต่างกัน 3 ชนิด
(ตัวอักษรภาษาอังกฤษที่เหมือนกันแสดงว่าไม่มีความแตกต่างกันอย่างมีนัยสำคัญที่ 0.05)

5.2.3 การวัดขนาดของโรติเฟอร์ที่ได้จากการเพาะเลี้ยง

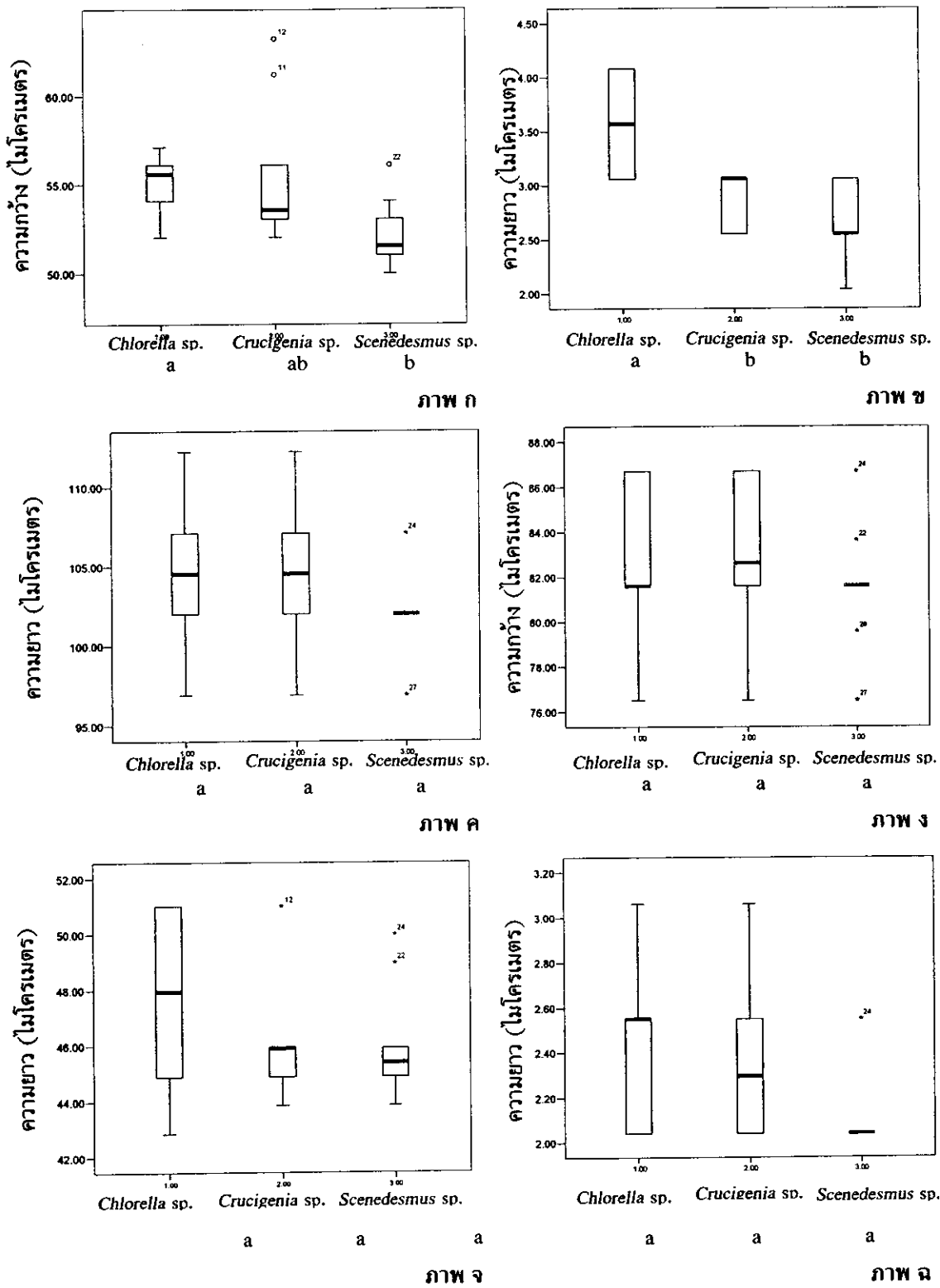
5.2.3.1 *Brachionus angularis*

เมื่อนำโรติเฟอร์จากการเลี้ยงในหัวข้อที่ 5.2.1.2 ที่ศึกษาชนิดของอาหารต่อการเจริญเติบโตของ *B. angularis* โดยนำโรติเฟอร์ในวันที่ 6 ของการเลี้ยง (เนื่องจากมีจำนวนตัวมากพอสำหรับการสุ่มมาวัดขนาด, $n=20$) ทำการวัดขนาดความกว้าง และความยาวของลำตัว ความกว้างและความยาวของไข่ ความยาวของหนามตรงกลางส่วนบน (antero-medial spine) และหนามส่วนท้าย (posterior spine) ของลำตัว พบว่า ขนาดที่วัดได้นั้นไม่แตกต่างกันมากนักในทั้ง 3 ชนิดของอาหารอย่างมีนัยสำคัญ ($p>0.05$) มีเพียงขนาดความกว้างของไข่ และหนามส่วนท้ายของลำตัวที่มีความแตกต่างกันอย่างมีนัยสำคัญ ($p<0.05$) ดังตารางที่ 25, ภาพที่ 46ก และภาพที่ 46ช ตามลำดับ ส่วนขนาดความยาวและความกว้างของลำตัว ความยาวของไข่ และความยาวหนามส่วนบนนั้นไม่แตกต่างกันอย่างมีนัยสำคัญ ($p>0.05$) แสดงไว้ดังภาพที่ 46ค-46ฉ ตามลำดับ

ตารางที่ 25 ขนาดของความกว้างและความยาวของลำตัว ความกว้างและความยาวของไข่ ความยาวของหนามตรงกลางส่วนบน และหนามส่วนท้ายของ *B. angularis* ที่เลี้ยงด้วยแพลงก์ตอนพืชต่างกัน 3 ชนิด (ค่าเฉลี่ย±ความคลาดเคลื่อนมาตรฐาน)

ขนาดของโรติเฟอร์ (ในไมโครเมตร)	ชนิดของแพลงก์ตอนพืช		
	<i>Chlorella</i> sp.	<i>Crucigenia</i> sp.	<i>Scenedesmus</i> sp.
ความกว้างของลำตัว	$82.83^a \pm 1.05$	$83.03^a \pm 1.01$	$81.60^a \pm 0.82$
ความยาวของลำตัว	$105.06^a \pm 1.56$	$104.55^a \pm 1.37$	$102.0^a \pm 0.76$
ความกว้างของไข่	$55.08^a \pm 0.55$	$55.18^a \pm 1.24$	$52.02^b \pm 0.61$
ความยาวของไข่	$47.83^a \pm 1.04$	$46.51^a \pm 0.78$	$46.0^a \pm 0.62$
หนามตรงกลางส่วนบน	$2.50^a \pm 0.12$	$2.35^a \pm 0.11$	$2.14^a \pm 0.07$
หนามส่วนท้าย	$3.52^a \pm 0.14$	$2.86^b \pm 0.08$	$2.65^b \pm 0.13$

หมายเหตุ ตัวอักษรภาษาอังกฤษที่เหมือนกันแสดงว่าไม่มีความแตกต่างกันอย่างมีนัยสำคัญที่ระดับ 0.05



ภาพที่ 46 ขนาดของ *Brachionus angularis* ที่เลี้ยงด้วยแพลงก์ตอนพีชต่างกัน 3 ชนิด

ก: ความกว้างของไข่, ข: ความยาวหนามส่วนท้ายลำตัว, ค: ความยาวลำตัว,

ง: ความกว้างลำตัว, จ: ความยาวไข่ และ ฉ: ความยาวหนามส่วนบนของลำตัว

(ตัวอักษรภาษาอังกฤษที่เหมือนกันแสดงว่าไม่มีความแตกต่างกันอย่างมีนัยสำคัญที่ 0.05)

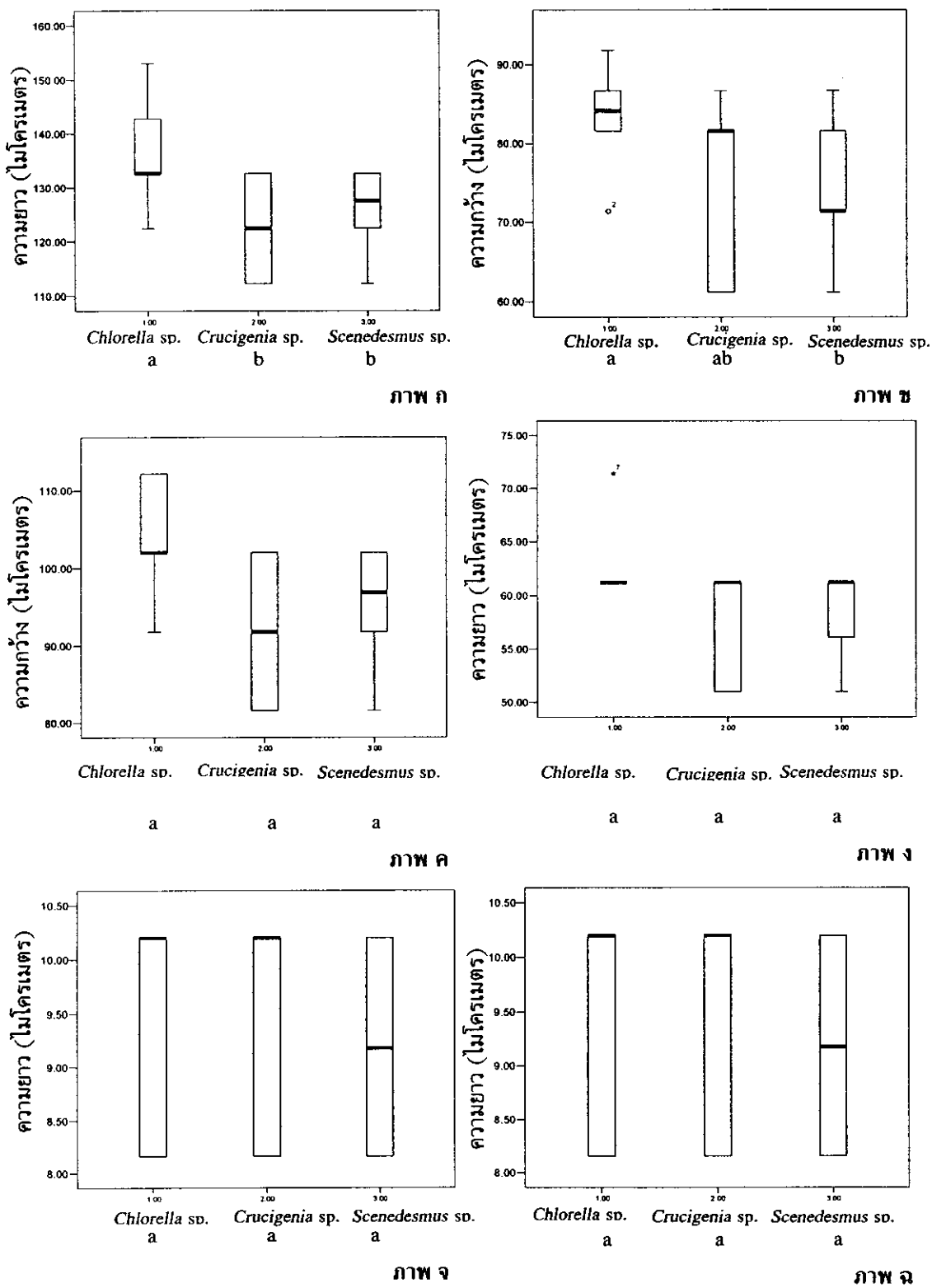
5.2.3.2 *Brachionus caudatus*

เมื่อนำโรติเฟอร์จากการเลี้ยงในหัวข้อที่ 5.2.2.2 ที่ศึกษานิดของอาหารต่อการเจริญเติบโต ของ *B. caudatus* โดยนำโรติเฟอร์ในวันที่ 2 ของการเลี้ยง (เนื่องจากมีจำนวนตัวมากพอสำหรับการนำมาวัดขนาด, $n=20$) ทำการวัดขนาดความกว้าง และความยาวของลำตัว ความกว้างและความยาวของไข่ ความยาวของ หนามด้านข้างส่วนบน (antero-lateral spine) ความยาวของหนามตรงกลางส่วนบน และหนามส่วนท้ายของ ลำตัว พนวจนาดความยาวของลำตัว และความกว้างของไข่เท่านั้นที่มีความแตกต่างกันอย่างมีนัยสำคัญ ($p<0.05$) ตั้งตารางที่ 26, ภาพที่ 47ก และภาพที่ 47ช ตามลำดับ ส่วนขนาดความกว้างของลำตัว ความยาว ของไข่ ความยาวของหนามด้านข้างส่วนบน ความยาวของหนามตรงกลางส่วนบน และหนามส่วนท้ายของลำตัว นั้นไม่แตกต่างกันมากนักในทั้ง 3 ชนิดของอาหารอย่างมีนัยสำคัญ ($p>0.05$) แสดงไว้ดังภาพที่ 47ค-47ฉ และ ภาพที่ 48 ตามลำดับ นอกจากนี้ยังพบว่าลักษณะรูปร่างของโรติเฟอร์แกรกเกิดและแม่พันธุ์ตัวเดิมวัย เริ่มสร้างไข่ จนกระทั่งไข่เจริญเติบโตเป็นลูกนั้นมีลักษณะเช่นเดียวกับ *B. angularis* (ภาพที่ 49)

ตารางที่ 26 ขนาดของความกว้างและความยาวของลำตัว ความกว้างและความยาวของไข่ ความยาวของหนาม ด้านข้างส่วนบน หนามตรงกลางส่วนบน และหนามส่วนท้ายของ *B. caudatus* ที่เลี้ยงด้วย แพลงก์ตอนพืชต่างกัน 3 ชนิด (ค่าเฉลี่ย \pm ความคลาดเคลื่อนมาตรฐาน)

ขนาดของโรติเฟอร์ (ในไมโครเมตร)	ชนิดของแพลงก์ตอนพืช		
	<i>Chlorella</i> sp.	<i>Crucigenia</i> sp.	<i>Scenedesmus</i> sp.
ความกว้างของลำตัว	$103.02^a \pm 2.38$	$92.82^a \pm 2.82$	$95.88^a \pm 2.26$
ความยาวของลำตัว	$135.66^a \pm 3.06$	$123.42^b \pm 2.82$	$126.48^b \pm 2.26$
ความกว้างของไข่	$83.95^a \pm 1.82$	$74.97^{ab} \pm 3.23$	$74.46^b \pm 2.54$
ความยาวของไข่	$62.22^a \pm 1.02$	$57.12^a \pm 1.67$	$58.65^a \pm 1.37$
หนามด้านข้างส่วนบน	$9.59^a \pm 0.31$	$9.59^a \pm 0.31$	$9.18^a \pm 0.34$
หนามตรงกลางส่วนบน	$9.59^a \pm 0.31$	$9.59^a \pm 0.31$	$9.18^a \pm 0.34$
หนามส่วนท้าย	$28.56^a \pm 0.88$	$27.03^a \pm 0.78$	$27.54^a \pm 0.83$

หมายเหตุ ตัวอักษรภาษาอังกฤษที่เหมือนกันแสดงว่าไม่มีความแตกต่างกันอย่างมีนัยสำคัญที่ระดับ 0.05



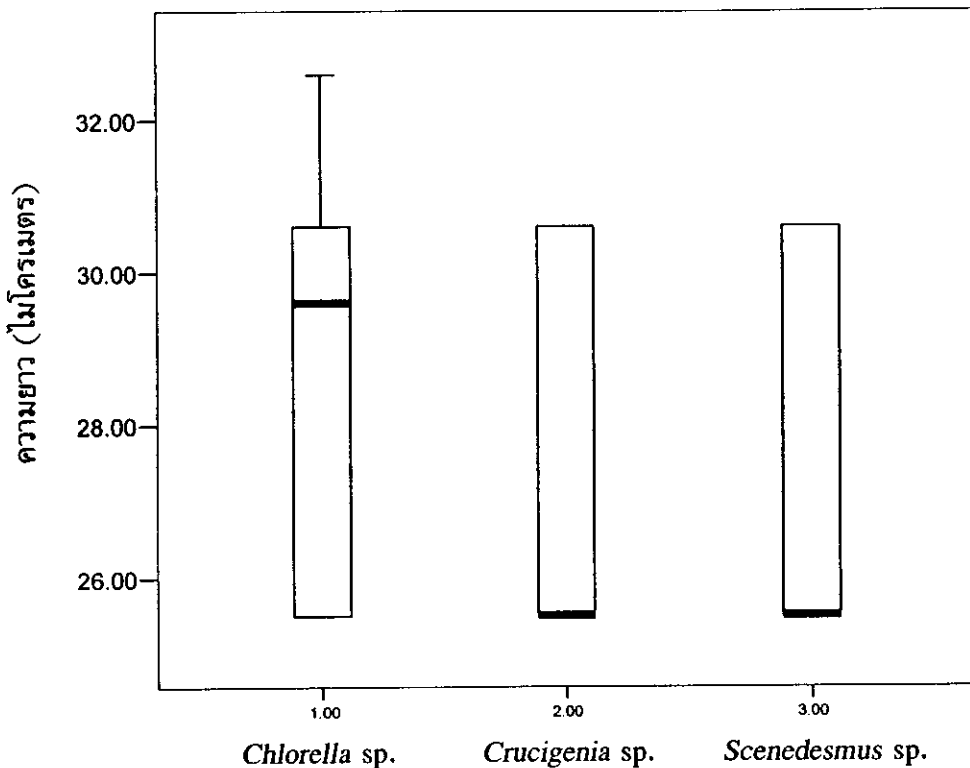
ภาพที่ 47 ขนาดของ *Brachionus caudatus* ที่เลี้ยงด้วยแพลงก์ตอนพืชต่างกัน 3 ชนิด

ก: ความยาวล่าตัว, ข: ความกว้างของไข่, ค: ความกว้างล่าตัว, ง: ความยาวของไข่,

จ: ความยาวหนามด้านข้างส่วนบนของล่าตัว และ ฉ: ความยาวหนามตรงกลางส่วนบนล่าตัว

(ตัวอักษรภาษาอังกฤษที่เห็นอยู่กับแต่ละกราฟแสดงว่าไม่มีความแตกต่างมีนัยสำคัญที่ 0.05)

(ตัวอักษรภาษาอังกฤษที่เหมือนกันแสดงว่าไม่มีความแตกต่างกันอย่างมีนัยสำคัญที่ 0.05)



ภาพที่ 48 ขนาดความยาวหนามด้านข้างส่วนท้ายของล่าตัว *Brachionus caudatus* ที่เลี้ยงด้วยแพลงก์ตอนพืช
ต่างกัน 3 ชนิด

(ตัวอักษรภาษาอังกฤษที่เหมือนกันแสดงว่าไม่มีความแตกต่างกันอย่างมีนัยสำคัญที่ 0.05)

5.3 ระดับความหนาแน่นของชนิดแพลงก์ตอนพืชที่ดีที่สุดต่อการเจริญเติบโตของโรติเฟอร์

จากการศึกษาดังกล่าวข้างต้นจะเห็นได้ว่า *B. angularis* เป็นชนิดที่มีการเจริญเติบโตและให้ผลผลิตตี่ที่สูดในครั้งนี้ และ *Chlorella sp.* เป็นอาหารที่ดีที่สุดเหมาะสมในการนำมาใช้เป็นอาหารในการเพาะเลี้ยงโรติเฟอร์ต่อไป ดังนั้นจึงนำ *Chlorella sp.* มาศึกษาหาระดับความหนาแน่นที่เหมาะสมต่อการเจริญเติบโตของ *B. angularis* โดยแบ่งความหนาแน่นของ *Chlorella sp.* ออกเป็น 5 ระดับ ได้แก่ 2.5×10^4 , 5×10^4 , 1×10^5 , 5×10^5 และ 1×10^6 เชลล์ต่อมิลลิลิตร ผลการศึกษาใช้การทดสอบความแตกต่างระหว่างประชากรหลายกลุ่มด้วย Kruskal Wallis test และเปรียบเทียบเชิงชั้นด้วยวิธี Dunn ได้ผลดังนี้

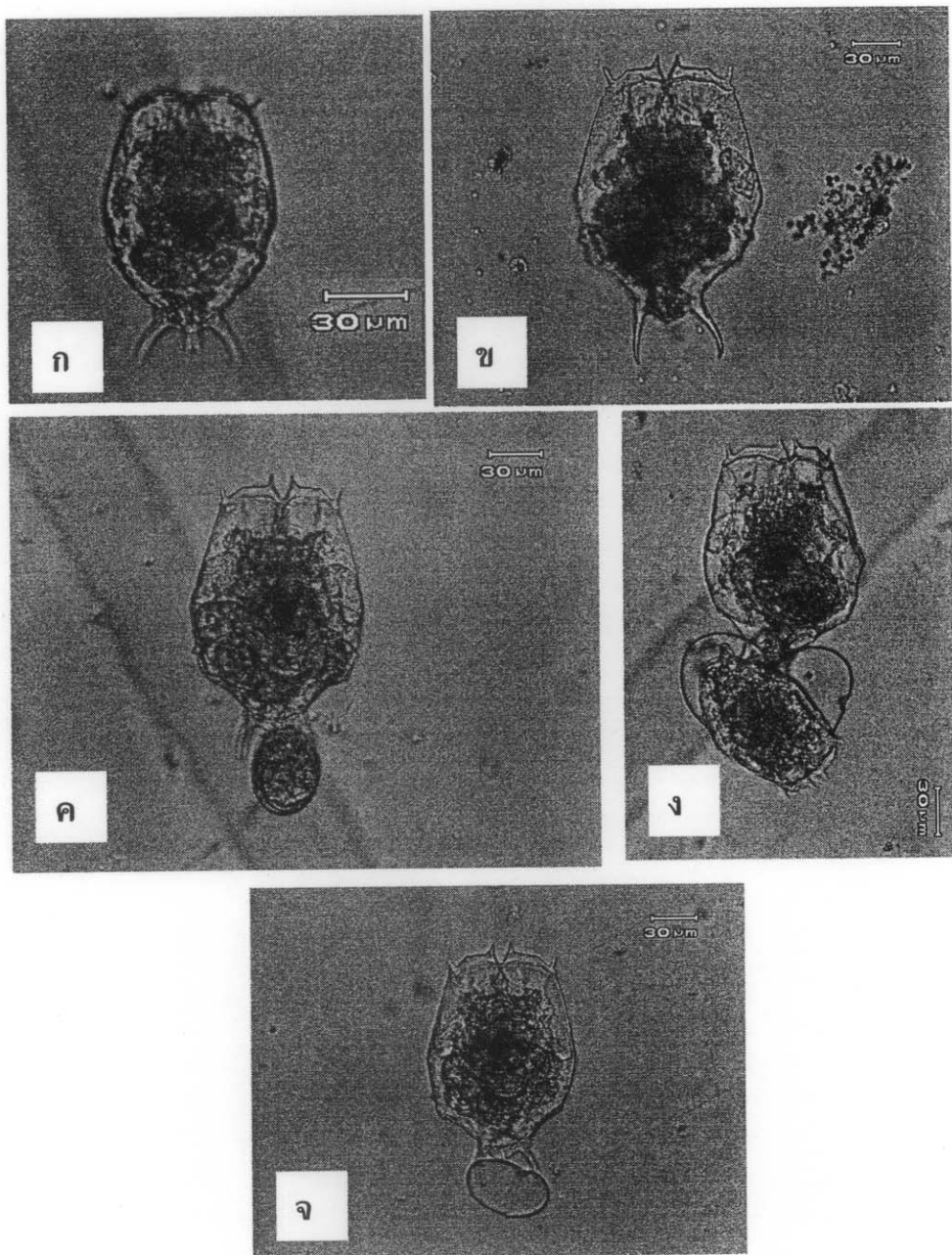
ผลจากการเลี้ยง *B. angularis* เป็นระยะเวลา 11 วัน พบร่วมที่ระดับความหนาแน่นของ *Chlorella sp.* เท่ากับ 5×10^5 เชลล์ต่อมิลลิลิตร ให้ผลการเจริญเติบโตของโรติเฟอร์ชนิดดังกล่าวดีที่สุด โดยโรติเฟอร์มีความหนาแน่นเพิ่มขึ้นทุกวัน ในวันที่ 1-2 ของการเลี้ยง พบร่วมที่ระดับมีการเจริญเติบโตเพิ่มจำนวนขึ้นอย่างต่อเนื่อง คิดเป็น 4.7 เท่าของโรติเฟอร์เริ่มต้น เมื่อเข้าวันที่ 3-4 ของการเลี้ยงจะพบว่ามีการเจริญเติบโตอย่างรวดเร็วซึ่งการเจริญเติบโตดังกล่าวอยู่ในระยะ log phase เป็นช่วงที่มีความหนาแน่นมากที่สุด เห็นได้อย่างชัดเจนว่าในวันที่ 4 ของการศึกษา พบร่องรอยมีความหนาแน่นสูงสุดเฉลี่ยเท่ากับ 306.0 ตัวต่อมิลลิลิตร (ความคลาดเคลื่อนมาตรฐาน 36.95 ตัวต่อมิลลิลิตร) เมื่อเทียบกับความหนาแน่นในระดับอื่น ๆ อย่างมี

นัยสำคัญ ($p<0.05$) คิดเป็น 30.6 เท่าของโรติเฟอร์เริ่มต้น (ตารางที่ 27) เมื่อเปรียบเทียบกับการทดลองของ Sarma and Nandini (2001) พบร่วมความหนาแน่นของ *C. vulgaris* ที่ดีที่สุดในการเลี้ยงโรติเฟอร์คือ 1×10^6 เชลล์ต่อมิลลิลิตร นอกจากนี้มีรายงานการทดลองเลี้ยงโรติเฟอร์ *Filinia terminalis* (Plate) และ *F. cf. pejleri* Hutchinson โดยให้ *Oocystis* sp. เป็นอาหาร พบร่วมความหนาแน่นที่เหมาะสมและให้ผลผลิตโรติเฟอร์ดังกล่าว ดีที่สุดคือ 5×10^4 เชลล์ต่อมิลลิลิตร (Sanoamuan, 1993) ซึ่งจากการรายงานดังกล่าวข้างต้นให้ผลที่ต่างจาก การศึกษาในครั้งนี้ของผู้วิจัย ทั้งนี้อาจเนื่องมาจากการชนิดของสาหร่ายและชนิดของโรติเฟอร์ที่นำมาศึกษา และจาก การศึกษาการเจริญเติบโต ช่วงระยะเวลาที่เหมาะสมในการนำไปใช้ในการอนุบาลสัตว์น้ำวัยอ่อนนั้น ช่วงอายุที่ดีที่สุดคือ 2-4 วัน ให้ผลที่ใกล้เคียงกับการศึกษาของทวี วิพุทธานุมาศ และคณะ (2530) ที่เลี้ยง โรติเฟอร์ *Brachionus calyciflorus* Pallas และพบว่าควรเก็บเกี่ยวผลผลิตโรติเฟอร์ในวันที่ 2-3 ของการเลี้ยง เนื่องจากมีความหนาแน่นของโรติเฟอร์สูงสุด นอกจากนี้ก่อนนำโรติเฟอร์ไปเลี้ยงสัตว์น้ำควรแบ่งบางส่วนไว้เพื่อ ใช้เป็นหัวเชื้อสำหรับเพาะขยายพันธุ์ต่อไป

ตารางที่ 27 การเจริญเติบโตของ *B. angularis* ที่เลี้ยงด้วย *Chlorella* sp. มีความหนาแน่นต่างกัน 5 ระดับ
(ค่าเฉลี่ย±ความคลาดเคลื่อนมาตรฐาน)

วันที่เช็คผล	ระดับความหนาแน่นของ <i>Chlorella</i> sp.				
	2.5×10^4	5.0×10^4	1.0×10^5	5.0×10^5	1.0×10^6
2	$18.0^a \pm 2.49$	$17.4^a \pm 2.01$	$16.2^a \pm 2.39$	$47.4^b \pm 4.79$	$31.8^{ab} \pm 3.93$
3	$27.0^a \pm 4.10$	$25.4^a \pm 4.27$	$49.2^{ab} \pm 4.54$	$116.6^b \pm 10.13$	$32.4^{ab} \pm 4.13$
4	$48.2^{ab} \pm 2.60$	$23.4^a \pm 4.18$	$49.8^{ab} \pm 5.89$	$306.0^b \pm 36.95$	$65.4^{ab} \pm 9.62$
5	$21.6^a \pm 3.34$	$39.0^{ab} \pm 4.92$	$14.8^a \pm 2.56$	$191.2^b \pm 27.78$	$27.2^{ab} \pm 4.16$
6	$9.2^a \pm 0.37$	$8.4^a \pm 0.51$	$11.2^a \pm 2.85$	$109.4^b \pm 9.83$	$19.6^{ab} \pm 3.44$

หมายเหตุ ตัวอักษรภาษาอังกฤษที่เหมือนกันแสดงว่าไม่มีความแตกต่างมีนัยสำคัญที่ระดับ 0.05



ภาพที่ 49 พัฒนาการของ *Brachionus caudatus* ตั้งแต่ระยะแรกเกิดถึงตัวเต็มวัย
 ก: แรกเกิด, ข: ตัวเต็มวัย, ค: เริ่มสร้างถุงไข่, ง: ระยะที่ตัวอ่อนพัฒนาการเต็มที่ และ
 จ: เพิ่งให้กำเนิดตัวลูกและคงเหลือถุงไข่ติดอยู่กับตัวแม่